

本資料は2003年9月3日付で登録区分、
変更する。

[技術情報室]

高速炉燃料リサイクル試験(15)

－ 第10回ホット試験 －

FBR Fuels Reprocessing Experiments at CPF (15)

1987年12月

動力炉・核燃料開発事業団
東海事業所

この資料は、動燃事業団の開発業務を進めるため、特に限られた関係者だけ

本資料の全部または一部を複写・複製・転載する場合は、下記にお問い合わせください。

〒319-1184 茨城県那珂郡東海村大字村松4番地49
核燃料サイクル開発機構
技術展開部 技術協力課

Inquiries about copyright and reproduction should be addressed to:
Technical Cooperation Section,
Technology Management Division,
Japan Nuclear Cycle Development Institute
4-49 Muramatsu, Tokai-mura, Naka-gun, Ibaraki, 319-1184
Japan

© 核燃料サイクル開発機構 (Japan Nuclear Cycle Development Institute)



開示制限
PNC 8410 88-004
1987年12月



高速炉燃料リサイクル試験（15）

—— 第10回ホット試験 ——

FBR Fuels Reprocessing Experiments at CPF (15)

| | | |
|-------|----------|-------------|
| 実施責任者 | 岸本洋一郎 * | 河田東海夫 ** |
| 報告者 | 大内 仁 *** | 山田 雅人 * |
| | 算用子裕孝 * | 鹿志村卓男 **** |
| | 葉賀 徹 * | 大西 清孝 ***** |
| | 安 聰宏 * | 佐藤 学 * |
| | 岩崎伊佐央 * | 田村 一 * |

期間 1986年5月20日～1986年9月24日

目的 高速炉使用済燃料の溶解性及び抽出等に関する基礎データを取得する。

要旨

本報告書は、高レベル放射性物質研究施設(CPF)のA系列において実施した第10回ホット試験の結果をとりまとめたものである。

試験には、高速実験炉「常陽」MK-II，燃焼度 31,700 MWd/t，冷却日数約 1.8 年の燃料ピン 3 本を対象とし再処理試験を実施した。

1. 溶解は初期硝酸濃度 3.5 M，沸点にて 13 時間保持したが溶け残りが完全に溶解することは出来ず同じ MK-II 燃料 (Pu 富化度 29%) でも燃焼度 13,800 MWd/t と 31,700 MWd/t とでは燃焼度の高い方が溶解性が悪い。
2. 小型溶解装置による溶解試験では、酸濃度、温度、U・Pu 濃度、剪断長による溶解速度の変化を求める為に十数回の試験を実施した。その結果、
 - (1) 剪断長の短い方が溶解時間が短いことがわかった。
 - (2) 溶液中の U・Pu 濃度の高い方が溶解時間が短いことがわかった。
3. 共除染・分配試験では、新しいミキサセトラを用いて行なった結果抽出段のテーリングは認められなかった。

* 技術開発部プラント設計開発室
** (現在) 技術開発部、主任研究員兼再処理部計画課、海外出張中
*** (現在) 環境工学開発部減容技術開発室長代理解兼務
**** (現在) 再処理工場化学処理第 2 課
***** (現在) プルトニウム燃料部品質管理課

目 次

| | |
|-------------------------|---|
| 1. まえがき | 1 |
| 2. 試験工程実績及び試験従事者 | 1 |
| 3. 供試燃料 | 1 |
| 4. 試験の方法と結果 | 2 |
| 4.1 剪 断 | 2 |
| 4.1.1 方 法 | 2 |
| 4.1.2 結 果 | 2 |
| 4.2 溶 解 | 2 |
| 4.2.1 方 法 | 2 |
| 4.2.2 結 果 | 3 |
| 4.3 小型溶解装置による溶解試験 | 4 |
| 4.3.1 方 法 | 4 |
| 4.3.2 結 果 | 4 |
| 4.4 不溶解性残渣の洗浄及び回収 | 4 |
| 4.4.1 方 法 | 5 |
| 4.4.2 結 果 | 5 |
| 4.5 調 整 | 6 |
| 4.5.1 方 法 | 6 |
| 4.5.2 結 果 | 6 |
| 4.6 共除染及び分配 | 6 |
| 4.6.1 方 法 | 6 |
| 4.6.2 結 果 | 6 |
| 4.7 精 製 | 6 |
| 4.7.1 方 法 | 6 |
| 4.7.2 結 果 | 6 |
| 4.8 転 換 | 7 |
| 4.8.1 方 法 | 7 |
| 4.8.2 結 果 | 7 |
| 5. 謝 辞 | 8 |

表 リ ス ト
Table list

| | | |
|---------|---|----|
| 表 2.1 | ホット試験スケジュール HOT test schedule | 9 |
| 表 2.2 | ホット試験従事者 Participants list of hot test | 10 |
| 表 3.1 | 供給燃料の概略仕様 Specification of tested fuel | 11 |
| 表 3.2 | 核分裂生成物質量 Elemental constituent of fission products in fuel pin | 12 |
| 表 3.3 | U・Puの同位体重量 Isotopic ratio of U and Pu | 13 |
| 表 3.4 | 試験フロー Flow of hot test | 14 |
| 表 4.1.1 | 剪断条件 Shearing condition | 15 |
| 表 4.1.2 | 剪断記録 Shearing records | 16 |
| 表 4.1.3 | 剪断時のオフガス粉塵の粒径分布 Particle distribution of spent fuel in offgas | 17 |
| 表 4.1.4 | ハル及び燃料重量 Weight of hulls and fuel | 17 |
| 表 4.2.1 | 溶解条件 Dissolving condition | 18 |
| 表 4.2.2 | 溶解槽運転記録(1) Operating records of dissolver (1) | 19 |
| 表 4.2.3 | 溶解槽運転記録(2) Operating records of dissolver (2) | 20 |
| 表 4.2.4 | 溶解槽運転記録(3) Operating records of dissolver (3) | 21 |
| 表 4.2.5 | 溶解液の分析結果 Analytical results of dissolving solution | 22 |
| 表 4.2.6 | 溶解率 Dissolution rate | 23 |

| | | |
|---|----|--|
| 表 4.2.7 溶解槽内の硝酸量 | | |
| HNO ₃ balance during dissolution | 24 | |
| 表 4.2.8 溶解液の密度の変化 | | |
| Density of dissolution solution during dissolution | 25 | |
| 表 4.2.9 溶解槽内のPu(VI)の量 | | |
| Amounts of Pu(VI) in dissolver | 26 | |
| 表 4.2.10 搅拌空気量と溶解時間との関係 | | |
| Dissolving time versus amounts of stirring air | 26 | |
| 表 4.2.11 計算データ | | |
| Calculation data for dissolving solution | 27 | |
| 表 4.3.1 小型溶解装置による溶解試験 | | |
| Dissolving condition at the test with miniature dissolving apparatus | 29 | |
| 表 4.4.1 洗浄条件 | | |
| Rinsing condition | 30 | |
| 表 4.4.2 溶解槽洗浄液の分析結果 | | |
| Analytical results of rinsing solution in dissolver | 31 | |
| 表 4.4.3 残渣常温洗浄サンプル | | |
| Sampling time of rinsing solution for insoluble residue | 32 | |
| 表 4.4.4 残渣洗浄の分析結果 | | |
| Analytical results of rinsing solution for insoluble residue | 33 | |
| 表 4.4.5 残渣常温洗浄における溶出量 | | |
| Dissolving quantities of insoluble residue during rinsing at room temperature (3N, HNO ₃) | 34 | |
| 表 4.4.6 残渣常温洗浄(3N, HNO ₃)におけるU溶出量 | | |
| Dissolving quantities of U insoluble residue during rinsing at room temperature (3N, HNO ₃) | 35 | |
| 表 4.4.7 残渣常温洗浄(3N, HNO ₃)におけるPu溶出量 | | |
| Dissolving quantities of Pu insoluble residue during rinsing at room temperature (3N, HNO ₃) | 36 | |
| 表 4.4.8 残渣常温洗浄(3N, HNO ₃)における ⁹⁵ Zr溶出量 | | |
| Dissolving quantities of ⁹⁵ Zr insoluble residue during rinsing at room temperature (3N, HNO ₃) | 37 | |
| 表 4.4.9 残渣常温洗浄(3N, HNO ₃)における ⁹⁵ Nb溶出量 | | |
| Dissolving quantities of ⁹⁵ Nb insoluble residue during rinsing at room temperature (3N, HNO ₃) | 38 | |
| 表 4.4.10 残渣常温洗浄(3N, HNO ₃)における ¹⁰⁶ Ru溶出量 | | |
| Dissolving quantities of ¹⁰⁶ Ru insoluble residue during rinsing at room temperature (3N, HNO ₃) | 39 | |

| | | |
|-----------|--|----|
| 表 4. 4.11 | 残渣常温洗浄 (3N, HNO ₃) における ¹²⁵ Sb 溶出量 Dissolving quantities of ¹²⁵ Sb insoluble residue during rinsing at room temperature (3N, HNO ₃) | 40 |
| 表 4. 4.12 | 残渣常温洗浄 (3N, HNO ₃) における ¹³⁷ Cs 溶出量 Dissolving quantities of ¹³⁷ Cs insoluble residue during rinsing at room temperature (3N, HNO ₃) | 41 |
| 表 4. 4.13 | 残渣常温洗浄 (3N, HNO ₃) における ¹⁴⁴ Ce - ¹⁴⁴ Pr 溶出量 Dissolving quantities of ¹⁴⁴ Ce - ¹⁴⁴ Pr insoluble residue during rinsing at room temperature (3N, HNO ₃) | 42 |
| 表 4. 4.14 | 残渣重量 Weight of insoluble residue | 43 |
| 表 4. 4.15 | 残渣割合 Rate of insoluble residue in fuel | 43 |
| 表 4. 5.1 | 調整槽運転記録 Operating records at adjustment process | 44 |
| 表 4. 6.1 | 共除染・分配工程フィード液組成 Composition of feed solution at co-decontamination and partition process | 45 |
| 表 4. 6.2 | ミキサ・セトラ運転記録 Operating records of mixer-settler | 46 |
| 表 4. 6.3 | ミキサ・セトラ監視記録 Monitoring records of mixer-settler | 47 |
| 表 4. 6.4 | 共除染・分配工程の分析結果(1) ~ (10) Analytical results of solution in co-decontamination and partition process | 48 |
| 表 4. 6.5 | 共除染・分配工程における除染係数 Decontamination factor in 1st cycle | 58 |
| 表 4. 6.6 | U・Pu ロス率 Loss rate of U and Pu | 58 |
| 表 4. 7.1 | 精製工程フィード液組成 Composition of feed solution in purification process | 59 |
| 表 4. 7.2 | ミキサ・セトラ運転記録(1) ~ (2) Operating records of mixer-settler | 60 |
| 表 4. 7.3 | ミキサ・セトラ監視記録(1) ~ (2) Monitoring records of mixer-settler | 62 |
| 表 4. 7.4 | 精製工程の分析結果 Analytical results of solution in purification process | 64 |
| 表 4. 8.1 | ウラン転換監視記録 Monitoring records of conversion | 65 |

図 リ ス ト

Figure list

| | | |
|---------------------------------------|---|----|
| 図 3.1 燃料集合体の炉内配置 | In-reactor location of subassembly | 66 |
| 図 3.2 燃料集合体のピン配置 | Arrangement of fuel pins in subassembly | 67 |
| 図 4.1.1 燃料ピン | Fuel pin | 68 |
| 図 4.1.2 剪断溶解オフガス処理系統図 | Flow diagram of off-gas treatment process for shearing and dissolving | 69 |
| 図 4.1.3 剪断時の ⁸⁵ Krの放出（1本目） | ⁸⁵ Kr release during shearing (first pin) | 70 |
| 図 4.1.4 剪断時の ⁸⁵ Krの放出（2本目） | ⁸⁵ Kr release during shearing (second pin) | 71 |
| 図 4.1.5 剪断時の ⁸⁵ Krの放出（3本目） | ⁸⁵ Kr release during shearing (third pin) | 72 |
| 図 4.2.1 バスケット充填状態 | Fuel loading condition in dissolver basket | 73 |
| 図 4.2.2 溶解槽運転記録 | Operating records of dissolver | 74 |
| 図 4.2.3 溶解槽運転記録 | Operating records of dissolver | 75 |
| 図 4.2.4 溶解液中のU・Pu及び硝酸濃度 | U・Pu and nitric acid concentration in dissolution solution | 76 |
| 図 4.2.5 溶解液中のγ放射能 | P-activity in dissolution solution | 77 |
| 図 4.2.6 Uの溶解率 (1) | Dissolution rate of U | 78 |
| Puの溶解率 (2) | Dissolution rate of Pu | 78 |
| Zrの溶解率 (3) | Dissolution rate of Zr | 78 |
| Csの溶解率 (4) | Dissolution rate of Cs | 78 |

| | | |
|----------|--|----|
| 図 4.2.7 | Ce の溶解率 (1) | 79 |
| | Dissolution rate of Ce | |
| | Ru の溶解率 (2) | 79 |
| | Dissolution rate of Ru | |
| | Eu の溶解率 (3) | 79 |
| | Dissolution rate of Eu | |
| | Sb の溶解率 (4) | 79 |
| | Dissolution rate of Sb | |
| 図 4.2.8 | 硝酸収支 | |
| | HNO_3 balance during dissolution | 80 |
| 図 4.2.9 | 溶解液の密度の変化 | |
| | Density of dissolution solution during dissolution | 81 |
| 図 4.2.10 | 溶解液中の Pu (VI) の量 | |
| | Amounts of Pu (VI) in dissolver | 82 |
| 図 4.2.11 | 溶解液中の ^{85}Kr の放出 | |
| | ^{85}Kr release during dissolution | 83 |
| 図 4.2.12 | ^{85}Kr 放出率 | |
| | Released rate of ^{85}Kr | 84 |
| 図 4.2.13 | CPF 排気筒からの ^{85}Kr 放出 | |
| | ^{85}Kr release from CPF stack | 85 |
| 図 4.2.14 | 攪拌空気量と溶解時間との関係 | |
| | Dissolving time versus amounts of stirring air | 86 |
| 図 4.2.15 | 溶解中の放出ガス (1) | |
| | Released gas during dissolution | 87 |
| 図 4.2.15 | 溶解中の放出ガス (2) | |
| | Released gas during dissolution | 88 |
| 図 4.2.15 | 溶解中の放出ガス (3) | |
| | Released gas during dissolution | 89 |
| 図 4.2.15 | 溶解中の放出ガス (4) | |
| | Released gas during dissolution | 90 |
| 図 4.2.15 | 溶解中の放出ガス (5) | |
| | Released gas during dissolution | 91 |
| 図 4.2.15 | 溶解中の放出ガス (6) | |
| | Released gas during dissolution | 92 |
| 図 4.3.1 | 小型溶解装置 | |
| | Miniature dissolution apparatus | 92 |

| | |
|---|-----|
| 図 4.3.2 小型溶解装置による溶解試験データ（温度による影響） Result of dissolution test by miniature dissoluer (Temp effect) | 94 |
| 図 4.3.3 小型溶解装置による溶解試験データ（硝酸濃度による影響） Result of dissolution test by miniature dissoluer (effect of HNO ₃ conc) | 95 |
| 図 4.3.4 小型溶解装置による溶解試験データ（U・Pu 濃度による影響） Result of dissolution test by miniature dissoluer (effect of U・Pu conc) | 96 |
| 図 4.3.5 小型溶解装置による溶解試験データ（剪断長 1 cm） Result of dissolution test by miniature dissoluer (shearing length ; 1 cm) | 97 |
| 図 4.3.6 小型溶解装置による溶解試験データ（剪断長 4 cm） Result of dissolution test by miniature dissoluer (shearing length ; 4 cm) | 98 |
| 図 4.4.1 不溶解性残渣の回収フロー Flow diagram for recovery of insoluble residue | 99 |
| 図 4.5.1 調整槽運転記録 Operating records at adjustment process | 100 |
| 図 4.6.1 供除染・分配工程試験条件と結果 Test conditions and results of co-decontamination and partition process | 101 |
| 図 4.6.2 ミキサ・セトラ運転記録(1) Operating records of mixer-settler | 102 |
| 図 4.6.3 ミキサ・セトラ運転記録(2) Operating records of mixer-settler | 103 |
| 図 4.6.4 ミキサ・セトラ界面監視記録 Monitoring records of interfaces in mixer-settler | |
| (1) MS - 1201 | 104 |
| (2) MS - 1202 | 105 |
| (3) MS - 1205 | 106 |
| (4) MS - 1206 | 107 |
| 図 4.7.1 プルトニウム精製工程試験条件と結果 Test conditions and results of Pu purification process | 108 |
| 図 4.7.2 ミキサ・セトラ運転記録 Operating records of mixer-settler | 109 |

| | |
|---|-----------|
| 図 4.7.3 ミキサ・セトラ界面監視記録 | |
| Monitoring records of interfaces in mixer-settler | |
| (1) MS-1351 | 110 |
| (2) MS-1352 | 111 |
| 図 4.8.1 転換工程マイクロ波加熱システム | |
| Microwave heating system at conversion process | 112 |
| 図 4.8.2 U, 転換中のオフガス温度 | |
| Off gas temperature during U conversion | 113 |

1. まえがき

第10回ホット試験は、昭和61年5月20日に燃料ピンを剪断し、同年9月29日ウラン液転換をもつて終了した。

プルトニウム液は、後日別途試験を行う予定であり現在保管中である。

今回の試験は、燃焼度 $31,700 \text{ MWd/t}$ の「常陽」MK-II炉心燃料ピン3本を用いて実施した。

本報告書は、第10回ホット試験で得られたデータをとりまとめたものである。

2. 試験工程実績及び試験従事者

第10回ホット試験の実績表を表2.1に示す。また試験従事者は試験グループと分析グループから成っており従事者リストを表2.2に示す。

3. 供 試 燃 料

供試燃料は、燃焼度 $31,700 \text{ MWd/t}$ の「常陽」MK-II炉心燃料ピン3本であり、ピンが組み込まれていた燃料集合体は、PDF 001である。

集合体の炉内配置及び集合体内でのピン位置を図3.1、図3.2に示す。

燃料ピンの仕様を表3.1にまた核分裂生成物質量を表3.1に示す。表3.3にはPu、Uの同位体重量（計算値）を示す。

燃料製造履歴は表3.1に示したように機械混合後加圧成型した後 $1,620 \sim 1,680^\circ\text{C}$ にて2時間焼結したものである。

表3.4に第10回ホット試験フローシートを示す。

4. 試験の方法と結果

4.1 剪断

4.1.1 方法

剪断条件を表 4.1.1 に示す。また剪断記録を表 4.1.2 に示す。

剪断は 3 本の燃料ピンを使用し、3 本の燃料ピン共条件を変更し行った。放出オフガスについては Na I (Tl) 検出部とする Kr モニタで ^{85}Kr を、また四重極質量分析装置 (Q マス) を用いて質量分析を行う。剪断終了後に剪断片の観察と秤量を行った。

図 4.1.1 に装荷時の燃料ピン (CPF 搬入時は、ラッピングワイヤは除去されている。) を、図 4.1.2 にオフガス系統図を示す。

4.1.2 結果

(1) 剪断片の観察

下部剪断片は燃焼している為上部剪断片より黒い。(被覆管)

カットによる被覆管のつぶれは殆どなく 1 カットに対し約 9 割の断面が観察された。(ミート部)

(2) オフガス分析結果

剪断時の ^{85}Kr の放出を図 4.1.3 ~ 5 に示す。

剪断時に放出された ^{85}Kr は 1 本目、2 本目、3 本目それぞれ 310 mCi, 287 mCi, 337 mCi であったが放出パターンは特に差異は認められなかった。

また、四重極質量分析装置 (Q マス) による放出ガス分析結果は装置故障の為測定を行っていない。

(3) オフガス中粉塵の粒径分布

剪断燃料の 0.03 % がオフガス粉塵分級濾紙にトラップされていた。表 4.1.3 (但し参考値)

(4) 剪断片の燃料重量を表 4.1.4 に示す。

4.2 溶解

4.2.1 方法

溶解試験条件を表 4.2.1 に示す。燃料剪断片 (小型溶解装置による溶解試験にて使用した剪断片及び発生した溶解液含む) を溶解槽に装荷し、初期濃度 3.5 N 硝酸を液張りし、溶解温度沸点にて 13 時間連続運転を行った。

また、攪拌エアー供給に伴う溶解反応をつかむ為に攪拌エアーの供給、停止を 2 回に分けて実施した。

バスケット充填状態を表 4.2.1 に示す。

4.2.2 結 果

(1) 溶解槽運転状態

溶解槽電気ヒータを作動させた後、停止する迄の13時間の溶解液の密度、温度、液位、槽内圧力及びオフガス風量を表4.2.3～4に、これらを図にしたものと图4.2.2に示す。尚图4.2.3には操作盤における監視記録を参考として示す。

(2) 溶解液の分析結果

サンプル液のU・Pu、硝酸及びFPの分析結果一覧表を表4.2.5に示す。この結果を図にしたものと图4.2.4～5に示す。

(3) 溶解率

溶解率は下式によって求められる。下式によって求めた溶解率を表4.2.6に、また⁸⁵Kr放出率との相関関係を图4.2.6～7に示す。(但し溶け残りがある為溶解率は最終的には100%となっておらず⁸⁵Krの積算放出量を100%とし補正した。)

$$\text{溶解率}(\%) = \frac{(\text{プロダクト濃度}) \times (\text{溶解液量}) + \sum (\text{サンプル量} \times \text{プロダクト濃度})}{(\text{初期プロダクト量})} \times 100$$

プロダクト濃度：分析値

溶解液量：監視計器指示値を密度測定値で補正した量

サンプル量：分析の為のサンプル量

初期プロダクト量：最終プロダクト量

1) 溶解槽内の硝酸量

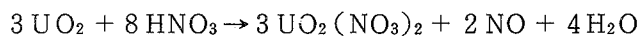
燃料溶解における硝酸収支を表4.2.7に、図にしたものと图4.2.8に示す。尚表4.2.7の各量の定義を以下に示す。

液中硝酸量：溶解液中に未反応分として存在する硝酸量(分析値)

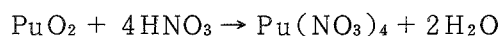
サンプリング硝酸量：サンプリング時に溶解液から抜き出された未反応の硝酸量(分析値)

未反応硝酸量：経過時間における液中硝酸量と蓄積サンプリングの合計量(未反応分、分析値)

U溶解消費量：溶解液中のU(分析値)が、溶解に際し消費された硝酸量(計算値)



Pu溶解消費量：溶解液中のPu(分析値)が、溶解に際し消費された硝酸量(計算値)



溶 解 消 費 量 : U・Pu の溶解によって消費された硝酸量合計

ト タ ル 硝 酸 量 : 経過時間における反応分, 未反応分の硝酸量合計

2) 溶解液密度の変化

溶解液の密度の変化(計算値及び実測値)を表 4.2.8 及び図 4.2.9 に示す。尚これらの計算データを表 4.2.11 に示す。

3) 溶解槽内の Pu の酸化

Pu の酸化を表わす溶解槽内の Pu(VI) の量 ($\text{Pu}^{6+}/\text{Pu Total}$) を表 4.2.9 及び図 4.2.10 に示す。

4) 搅拌空気による槽内温度の変化

搅拌空気と溶解時間との関係を表 4.2.10 及び図 4.2.14 に示す。

5) オフガス分析結果

溶解中における ^{85}Kr の放出及び放出率を図 4.2.11, 図 4.2.12 に示す。また, CPF 排気筒からの ^{85}Kr の放出量を参考として図 4.2.13 に示す。

Q マスの分析による放出ガスの質量数毎のガス質を図 4.2.15(1)~(6) に示す。

4.3 小型溶解

4.3.1 方 法

溶解速度に影響を与える各種の条件を把握するため, 温度, 硝酸濃度, U・Pu 濃度等をパラメータとし計 10 数回の試験を行った。小型溶解条件を表 4.3.1 に示す。

溶解終了は, Kr モニタでバックグラウンドに戻った時点とした。小型溶解装置を図 4.3.1 に示す。

4.3.2 結 果

(1) 温 度 の 影 韻 図 4.3.2 に示す。

硝 酸 濃 度 図 4.3.3 に示す。

U・Pu 濃 度 図 4.3.4 に示す。

剪断長の影響 図 4.3.5 に示す。

4.4 不溶解性残渣の洗浄及び回収

溶解液からの不溶解性残渣の回収は, 下記の工程(1)~(3)によって回収される。

(1) 溶解液及び溶解槽洗浄液の上澄み液をフィルタを通して回収する。(清澄濾過)

(2) 溶解液及び溶解槽洗浄液の沈降部を, 数回の洗浄操作の後, 自然乾燥により回収する。

(ビーカ回収残渣)

(3) 溶解液及び溶解槽洗浄液の上澄み液をフィルタ濾過後, 次工程である調整工程で調整し,

その調整液をさらにフィルタを通して回収する。(仕上げ濾過)

不溶解性残渣の回収フローを図 4.4.1 に示す。

4.4.1 方 法

(1) 溶解槽洗浄

溶解槽及びハル洗浄は 0.2 N 硝酸を 2 ℥ 使用し空気攪拌を行いながら沸点にて 1 時間保持を 2 回繰り返した。洗浄条件を表 4.3.1 に示す。

(2) 清澄濾過

溶解終了後、溶解液は浸漬槽にて材料試験を行いその後、溶解槽洗浄液と共に重力沈降槽に移し替え 1 日放置した。次に上澄み液を多段濾過ユニットを通し、調整槽へ送った。多段濾過ユニットのフィルタは、捕集粒子径 1.0 μm , 0.6 μm , 0.5 μm のガラス纖維フィルタ 3 段で構成されており、濾過中は、濾過ビンを真空ポンプにより真空引きした。

(3) ピーカ回収残渣

溶解液及び溶解槽洗浄液の沈降液は、上澄み液移送後、小型重力沈降槽へ移送し、1 日放置した後上澄み液を抜き出した。この操作を 0.2 N 硝酸で 1 回（第 1 回洗浄）、3.0 N 硝酸で 4 回（第 2 ~ 5 回洗浄）常温洗浄を繰り返しその後自然乾燥させ残渣を回収した。

このときのサンプリング実施要領を表 4.4.3 に示す。

(4) 仕上げ濾過

調整工程で調整された溶解液及び溶解槽洗浄液は、抽出工程へ送る前に再度多段濾過ユニットを通し濾過を行った。多段濾過ユニットフィルタは、捕集粒子径 0.5 μm のガラス纖維フィルタ 3 段で構成されている。

4.4.2 結 果

(1) 溶解槽洗浄

溶解槽洗浄における分析結果を表 4.4.2 に示す。

(2) 残渣洗浄

残渣洗浄における分析結果を表 4.4.4 に示す。また 5 回の各洗浄毎の U・Pu 及び γ 核種の溶出量一覧表を表 4.4.5 に示す。

尚、液の分析結果、液量等により溶出量算出過程を表 4.4.6 ~ 表 4.4.13 に示す。

(3) 回収残渣

清澄濾過、仕上げ濾過時のフィルタ捕集残渣量及びピーカ回収残渣量の重量を表 4.4.14 に示す。燃料総重量に対する回収残渣の残渣重量割合を表 4.4.15 に示す。

この結果から、回収残渣総重量は 9.913 g であり、燃料総重量の 3.04 % であることがわかった。

4.5 調 整

4.5.1 方 法

重力沈降槽及び多段濾過ユニット(1.0 μm , 0.6 μm , 0.5 μm)によって清澄した溶解液及び洗浄液を調整槽で 8.76 ℥ ~ 4.92 ℥ まで蒸発濃縮を行った。その後 NO_x ガス(液状の N₂O₄を気化させエアー・ポンプによって供給する)を供給し Pu(VI) を Pu(IV) への原子価調整を行った。

4.5.2 結 果

濃縮工程の運転記録を表 4.5.1, 図 4.5.1 に示す。

原子価調整の NO_x ガス供給は 2 回にわけ供給した。1 回目は 40 mL, 2 回目は 25 mL, これにより Pu(VI) から Pu(IV) への原子価調整が行われた。

4.6 共除染及び分配試験

本工程は第 1 サイクル分配として行った。2 台のミキサ・セトラをつないで洗浄段数を多くとっている。

4.6.1 方 法

共除染、分配試験のフローを図 4.6.1 に示す。抽出段として 15 段、洗浄段として 17 段、Pu 逆抽出段に 14 段、Pu 洗浄段に 5 段、U 逆抽出段に 16 段とした。共除染フィード液組成を表 4.6.1 に示す。運転時間は約 29 時間であった。

4.6.2 結 果

ポンプ流量記録を表 4.6.2 に貯槽の監視記録を表 4.6.3 に、またミキサ・セトラ観察記録を図 4.6.2 ~ 4 に示す。分析結果を表 4.6.4 (1) ~ (10) に示す。

抽出工程における除染係数を表 4.6.5 に、また抽出工程における U・Pu のロス率を表 4.6.6 に示す。この結果によると抽出工程における除染係数は ⁹⁵Zr で $> 1.89 \times 10^3$, Total r で 9.50 $\times 10^4$ が得られまた、HAW への U・Pu ロス率は、それぞれ < 0.05 %, 0.07 % であった。

4.7 プルトニウム精製試験

分配後のプルトニウムプロダクト液は、その液中の FP の放射能強度により、精製の有無を決めており、本試験においては FP 放射能が 1 mCi 以下であったのでグローブボックス 内のみ精製を行った。

4.7.1 方 法

精製工程に先立ち原子価調整(NO_x ガスを供給し Pu(IV) を Pu(III) へ) 及び酸濃度調整(3N)を行った。運転は、図 4.7.1 のフロー条件でおこなった。

4.7.2 結 果

ホットフィード組成を表 4.7.1 に示す。ポンプ流量記録を表 4.7.2 に貯槽の監視記録を表 4.7.3 に示す。またミキサ・セトラ観察記録を図 4.7.3 に示す。分析結果を表 4.7.4 に示す。

この結果により精製工程における除染係数及びU含有量を求めるとき、次のようになる。

$$DF = \frac{2.0 \times 10^{-1} [\text{mCi}/\ell] / 9.02 [\text{g}/\ell]}{< 1 \times 10^{-3} [\text{mCi}/\ell] / (11.1 + < 0.03) [\text{g}/\ell]} = 247$$

$$\text{U含有量} = \frac{< 0.03 [\text{g}/\ell]}{(11.1 + < 0.03) [\text{g}/\ell]} = 2695 \text{ ppm}$$

4.8 転換

4.8.1 方法

精製工程で精製されたUプロダクト液は、マイクロ波により転換を行った。Puプロダクト液については、Pu電解試験に使用した為転換は行っていない。図4.8.2にマイクロ波システムを示す。

4.8.2 結果

転換中オフガス温度変化パターンを図4.8.1にまた、運転記録を表4.8.1に示す。運転を行っていた時間は、ウラン転換で16時間05分であった。転換によって得られたウラン酸化物粉末は387.56 gであった。単純に酸化物形態で²³⁵UO₂と考えた場合

$$\text{Uメタル量} = 387.56 \times \frac{235}{235 + 32} = 341 \text{ g}$$

となる。

5. 謝 辞

第10回ホット試験はその試験目的を達成して予定期間内で終了した。これは、分析担当の技術開発部分析計装技術開発室、放射線管理担当の安全管理部放射線管理第1課、施設保守運転担当の技術開発部技術課、及びその他関係各部署の方々の御協力によるところが多く改めてお礼申し上げる。

また、本試験に御支援、御協力をいただいた本社核燃部、再処理部、東海再処理工場、大洗FMF、その他の関係各部の関係各位に感謝申し上げる。

表2.1 ホット試験スケジュール
Hot test schedule

| No. | 項目 | 5月 | 6月 | 7月 | 8月 | 9月 | 配付先 |
|-----|---------------|----|----|----|----|----|-----|
| 1 | 燃料ピン剪断 | □ | | | | | |
| 2 | 小型溶解 | □ | | | | | |
| 3 | 浸漬試験 | □ | | | | | |
| 4 | 溶解・清澄・濾過 | □ | | | | | |
| 5 | 洗浄(溶解槽, 残渣) | □ | | | | | |
| 6 | 給液調整(濃縮, 原子炉) | □ | | | | | |
| 7 | 共除染, 分配 | | □ | | | | |
| 8 | ウラン精製 | | □ | | | | |
| 9 | 転換 | | | | | | |
| | | ● | △ | ● | △ | ● | △ |
| | | | | | | | △ |
| | | | | | | | △ |
| | | | | | | | △ |
| | | | | | | | △ |
| | | | | | | | △ |
| | | | | | | | △ |
| | | | | | | | △ |
| | | | | | | | △ |
| | | | | | | | △ |
| | | | | | | | △ |

表2.2 ホット試験従事者
Participants list of hot test

試験グループ

| | |
|---------|---------------------|
| 大内 仁 | 山田 雅人 ¹⁾ |
| 算用子 裕孝 | 鹿志村 卓男 |
| 葉賀 徹 | 大西 清孝 |
| 安聰 宏 | 佐藤 学* |
| 岩崎 伊佐央* | 田村 一* |

分析グループ

| | |
|--------|--------|
| 園部 次男 | 大内 隆雄 |
| 和田 光二 | 鈴木 弘之 |
| 後藤 浩仁 | 石井 清登 |
| 諫訪 豊志雄 | 篠崎 忠宏 |
| 鈴木 真司* | 柴 正憲** |

* 検査開発 K.K

原子力技術 K.K

1) 昭和61年7月から

表 3.1 燃料の概略仕様
Specification of tested fuel

| 項目 | 仕 様 | | 備 考 |
|---------|---|---------------|-----|
| 要 素 № | P F D 0 0 1 | | |
| 燃 焼 度 | 31.700 MWd/t | | |
| 核 物 質 量 | 256.1 (g) | P u 68.6 (g) | |
| | | E U 175.4 (g) | |
| | | D U 12.0 (g) | |
| 放 射 能 | 約 500 Ci | | |
| 冷 却 日 数 | 674 日 | | |
| 炉 停 止 日 | 昭和59年8月11日 | | |
| そ の 他 | ベレットデーター 混合時間(機械混合) ; 4.5 ~ 5.0 hr 成 形 圧 ; 3.9 ~ 4.5 t/cm ² 焼 結 温 度 ; 1620 ~ 1680 °C 焼 結 時 間 ; 2 hr 焼 結 雾 囲 気 ; 5% H ₂ 95% H ₂ 焼 結 密 度 ; 92.5 ~ 92.8% TD P u O ₂ 富化度 ; 29% | | |

表3.2 核分裂生成質量

Elemental constituent of fission
products in fuel pin

PED 001(MK-II)

31,700 MWd/t

1.8 y cooling

Calculation by ORIGEN 79

| Elemnt | g/pin | Nuclide | Ci/pin |
|--------|-----------------------|------------|-----------------------|
| H | 7.35×10^{-6} | H - 3 | 7.12×10 |
| Ge | 7.44×10^{-5} | | |
| As | 2.78×10^{-5} | | |
| Se | 3.79×10^{-3} | | |
| Br | 1.30×10^{-3} | | |
| Kr | 2.59×10^{-2} | Kr - 85 | 6.32×10^{-1} |
| Rb | 2.37×10^{-2} | Sr - 89 | 1.05×10^{-2} |
| Sr | 5.59×10^{-2} | Sr - 90 | 4.70 |
| Y | 2.96×10^{-2} | Y - 90 | 4.70 |
| Zr | 2.60×10^{-1} | Y - 91 | 3.94×10^{-2} |
| Nb | 8.26×10^{-6} | Zr - 95 | 1.45×10^{-1} |
| Mo | 2.83×10^{-1} | Nb - 95 | 3.12×10^{-1} |
| Tc | 7.36×10^{-2} | Tc - 99 | 1.25×10^{-3} |
| Ru | 2.39×10^{-1} | Ru - 103 | 1.27×10^{-3} |
| Rh | 7.62×10^{-2} | Ru - 106 | 2.64×10^1 |
| Pd | 1.51×10^{-1} | Rh - 103 M | 1.28×10^{-3} |
| Ag | 1.63×10^{-2} | Rh - 106 | 2.64×10^1 |
| Cd | 9.45×10^{-3} | Ag - 110 M | 3.04×10^{-3} |
| In | 9.08×10^{-4} | Cd - 113 M | 6.15×10^{-3} |
| Sn | 9.25×10^{-3} | Sn - 123 | 3.66×10^{-2} |
| Sb | 3.25×10^{-3} | Sb - 125 | 1.61 |
| Te | 4.99×10^{-2} | Te - 125 M | 3.24×10^{-1} |
| I | 2.90×10^{-2} | Te - 127 | 3.87×10^{-2} |
| Xe | 3.87×10^{-1} | Te - 127 M | 3.95×10^{-2} |
| Cs | 3.38×10^{-1} | Cs - 134 | 3.55×10^{-1} |
| Ba | 1.21×10^{-1} | Cs - 137 | 9.07 |
| La | 1.05×10^{-1} | Ba - 137 M | 8.58 |
| Ce | 2.01×10^{-1} | Ce - 144 | 2.49×10^1 |
| Pr | 1.02×10^{-1} | Pr - 144 | 2.49×10^1 |
| Nd | 3.16×10^{-1} | Pr - 144 M | 2.98×10^{-1} |
| Pm | 2.04×10^{-2} | Pm - 147 | 1.89×10^1 |
| Sm | 7.47×10^{-2} | Sm - 151 | 3.41×10^{-1} |
| Eu | 9.52×10^{-3} | Eu - 154 | 4.41×10^{-2} |
| Gd | 6.31×10^{-3} | Eu - 155 | 1.10 |
| Tb | 5.66×10^{-4} | | |
| Dy | 3.29×10^{-4} | | |
| Ho | 1.33×10^{-5} | | |
| Er | 2.87×10^{-6} | | |
| Total | 3.03 | Total | 1.54×10^2 |

表3.3 U・Pu の 同位体重量
Isotopic ratio of U and Pu (3 pins)

Calculation by ORIGEN

| | Nuclide | before Irradiation (g) | after Irradiation (g) |
|---------------------|----------|-----------------------------------|----------------------------------|
| Core | U - 234 | — | — |
| | U - 235 | 21.9 | 18.81 |
| | U - 236 | — | 0.66 |
| | U - 238 | 159 | 155.70 |
| Insulator Pellet | U - 234 | — | — |
| | U - 235 | — | — |
| | U - 236 | — | — |
| | U - 238 | 12 | 12 |
| Core + Insulator | U | 192.9 | 187.17 |
| Core | Pu - 238 | — | — |
| | Pu - 239 | 54.6 | 50.10 |
| | Pu - 240 | 15.0 | 15.78 |
| | Pu - 241 | 2.4 | 2.11 |
| | Pu - 242 | 0.6 | 0.63 |
| Insulator Pellet | Pu - 238 | — | — |
| | Pu - 239 | — | — |
| | Pu - 240 | — | — |
| | Pu - 241 | — | — |
| | Pu - 242 | — | — |
| Core | Pu | 70.6 | 68.6 |

表 3.4 試験フロー

Flow of hot test

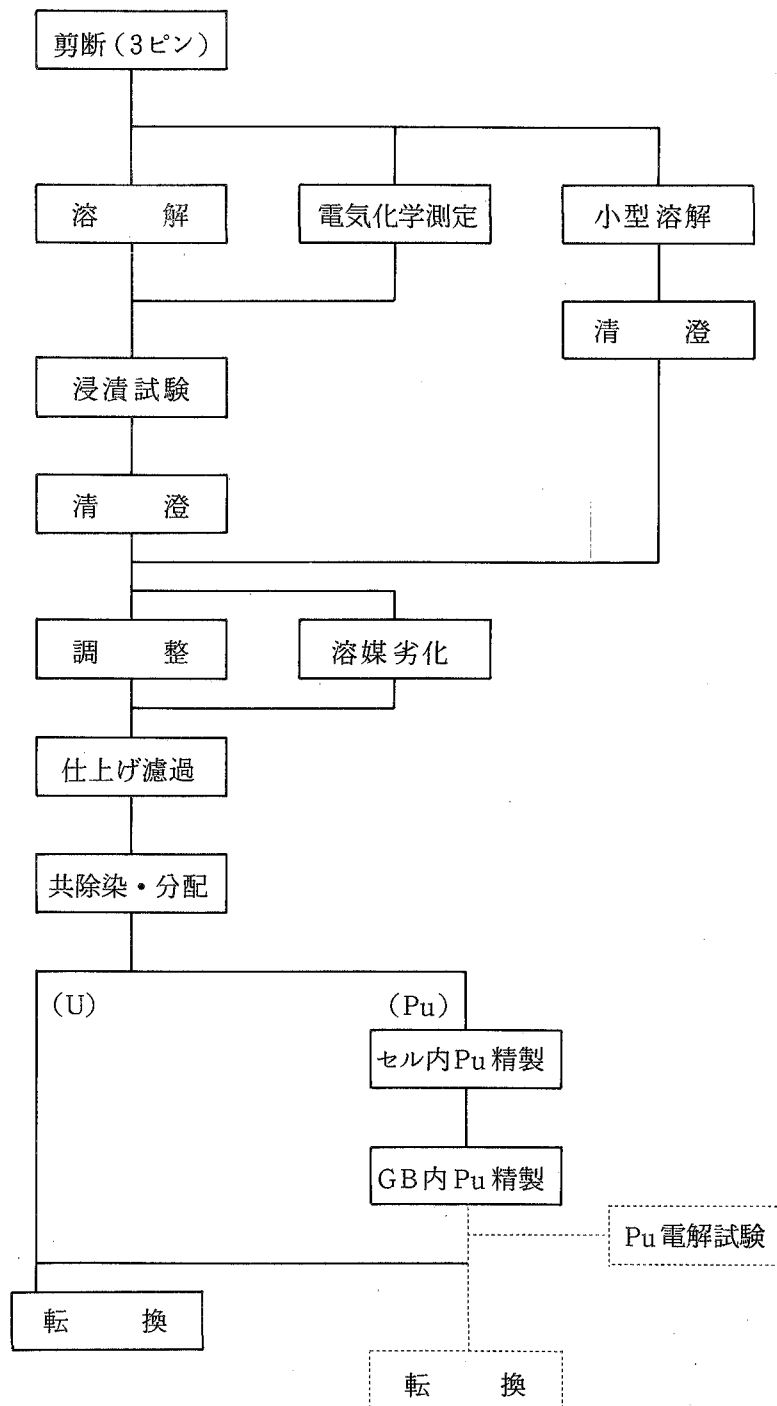


表 4.1.1 剪断条件

Shearing condition

| | | | |
|----------|---|-------------|-------------|
| 剪断年月日 | 昭和61年5月20日 | | |
| 下部先端No. | 00073 | 00108 | 00057 |
| 剪断長さ | 1cm, 3cm, 4cm | 3cm | 3cm |
| 剪断方向 | 下部先端側から | 上部先端側から | 下部先端側から |
| 剪断オフガス流量 | 10~20 ℓ/min | 10~20 ℓ/min | 10~20 ℓ/min |
| 測定対象 | クリプトンモニター ; ^{85}Kr , 他FPガス Qマス ; H, HT, ^{84}Kr , ^{85}Kr , ^{132}Xe , ^{133}Xe , 他 H-3, C-14トラップ γ スペクトル測定 重量測定 | | |

表4.1.2 せん断記録
Shearing records

| 操作項目 | | 時刻 | 備考 |
|------------------|----------|--------|---------------------|
| 1. ピン目剪断 | | | 下部先端 No.00073 |
| 下部先端より剪断 | | | |
| 剪断長 3cm | 3カット | 10:30~ | |
| バスケット交換 | | | |
| 剪断長 3cm | 13カット | 10:34~ | 小型溶解用剪断片回収 |
| 剪断長 1cm | 2カット | 10:40~ | 小型溶解用剪断片回収 |
| 剪断長 4cm | 2カット | 10:45~ | 小型溶解用剪断片回収 |
| バスケット交換 | | | |
| 剪断長 3cm (反射体まで) | 3カット | 10:52~ | |
| 下部剪断終了 | 計 23 カット | 10:53 | |
| 上部先端より剪断 | | | |
| 剪断長 3cm | 14カット | 11:03~ | 14カットはプレナムスリープまでの長さ |
| 30秒毎に剪断(供給)を繰り返す | | 11:09 | |
| 上部剪断終了 | 計 14 カット | | |
| 2. ピン目剪断 | | | 下部先端 No.00108 |
| 上部先端より剪断 | | | |
| 剪断長 3cm (反射体まで) | 14 カット | 13:30~ | |
| 30秒毎に剪断(供給)を繰り返す | | 13:39 | クリプトン放出が微量に発生しつづける |
| 剪断長 3cm (反射体まで) | 6 カット | 14:00~ | 引続きカット |
| 上部剪断終了 | 計 20 カット | 14:02 | |
| 下部先端より剪断 | | | |
| 剪断長 3cm (反射体まで) | 23 カット | 14:20~ | |
| 30秒毎に剪断(供給)を繰り返す | | | |
| 下部剪断終了 | 計 23 カット | 14:34 | |
| 3. ピン目剪断 | | | 下部先端 No.00057 |
| 下部先端より剪断 | | | |
| 剪断長 3cm (反射体まで) | 21 カット | 15:00~ | |
| 30秒毎に剪断(供給)を繰り返す | | | |
| 下部剪断終了 | 計 21 カット | 15:10 | |
| 上部先端より剪断 | | | |
| 剪断長 3cm (反射体まで) | 20 カット | 15:30~ | |
| 30秒毎に剪断(供給)を繰り返す | | | |
| 上部剪断終了 | 計 20 カット | 15:09 | |

表 4.1.3 せん断時のオフガス粉塵の粒径分布
Particle distribution of spent fuel in offgas

| 表示 No. | 粒 径 (μm) | A 剪 断 前 (g) | B 剪 断 後 (g) | B - A 粉塵重量 (g) |
|--------|-----------------------|----------------|----------------|-------------------|
| 1 | 11 以上 | 3.215 | 3.216 | (0.001) |
| 2 | 11 ~ 7 | 3.203 | 3.220 | 0.017 |
| 3 | 7 ~ 4.7 | 3.175 | 3.175 | (0.000) |
| 4 | 4.7 ~ 3.3 | 3.185 | 3.203 | 0.018 |
| 5 | 3.3 ~ 2.1 | 3.168 | 3.185 | 0.017 |
| 6 | 2.1 ~ 1.1 | 3.197 | 3.215 | 0.018 |
| 7 | 1.1 ~ 0.65 | 3.196 | 3.213 | 0.017 |
| 8 | 0.65 ~ 0.43 | 3.210 | 3.209 | (-.001) |
| 9 | 0.43 以下 | 3.236 | 3.234 | (-.002) |
| 合 計 | | 28.785 | 28.870 | 0.085* |

* 剪断燃料の 0.03 %に相当

CA-5 セル内天秤を使用
天秤型式メトラー PC-180
重量は 3 回測定平均値

表 4.1.4 ハル及び燃料重量
Weight of hull and fuel

| | |
|---------------|-------|
| 剪 斷 片 重 量 (g) | 505.9 |
| ハ ル 重 量* (g) | 180.2 |
| 燃 料 総 重 量 (g) | 325.7 |

* 溶解後自然乾燥させた重量

CA-2 セル内天秤使用
天秤型式 長 PDP-5000s

表4.2.1 溶解条件
Dissolving condition

| 項目 | 条件 | 備考 |
|----------|---|--------------------|
| 試験日(対象) | 6月27日 | |
| 硝酸濃度 | 3.5 mol/l | 終了時 2.8 mol/l |
| 液量 | 3.7 l | 終了時 3.3 l |
| 温度 | 沸点 | |
| 保持時間 | 10 hr | |
| 溶解終了点の目安 | 密度 1.2 ~ 1.26 g/cm ³ Krモニタ 0.3 ~ 0.4 cps | 密度ほぼ一定 バックグラウンド |
| 測定対象 | Pu濃度 (0 ~ 20.8 g/l) U濃度 (0 ~ 54.5 g/l) 硝酸濃度 (3.5 ~ 2.8 M) Pu(VI)濃度 (0 ~ 32 g/l) FP濃度 (0 ~ 380 Ci/l) ⁸⁵ Kr等FPガス H-3, C-14トラップ | |

表4.2.2 溶解槽運転記録 (1)
Operating records of dissolver

| 経過時間 (h) | 時 刻 | 溶解槽(VE-1201) | | | | | ヒータ(EH-1201) | | | 備 考 |
|-------------|---------|---------------------------|--------------|----------|-------------------------|-----------|--------------|----------|----------|------------|
| | | 密 度 g/cm^3 (TEMP) | 压 力 mPa | 液 位 % | 液 量 ℓ (TEMP) | 温 度 °C | 温 度 °C | 出 力 % | 電 流 A | |
| 0 : 00 | 10 : 10 | 1.145 | -245 | 37.3 | | 24.58 | 24.9 | 0.88 | 30 | ヒーターガス No. |
| 0 : 30 | 10 : 40 | 1.134 | -244 | 37.4 | | 42.16 | 59.7.4 | 60 | | |
| 1 : 00 | 11 : 10 | 1.098 | -245 | 37.3 | | 90.94 | 705.4 | 60 | | |
| 1 : 30 | 11 : 40 | 1.093 | -246 | 36.8 | | 100.2 | 391.8 | 0 | | |
| 2 : 00 | 12 : 10 | 1.104 | -245 | 36.6 | | 97.61 | 415.7 | 18 | | |
| 3 : 00 | 13 : 10 | 1.108 | -245 | 36.8 | | 97.40 | 415.9 | 17 | | |
| 4 : 00 | 14 : 10 | 1.038 | -209 | 35.7 | | 96.89 | 750.2 | 50 | | |
| 5 : 00 | 15 : 10 | 1.118 | -244 | 35.7 | | 97.66 | 360.5 | 5 | | |
| 6 : 00 | 16 : 10 | 1.126 | -229 | 35.4 | | 96.18 | 452.0 | 35 | | |
| 7 : 00 | 17 : 10 | 1.118 | -230 | 35.4 | | 102.3 | 500.2 | 21 | | |
| 8 : 00 | 18 : 10 | 1.113 | -228 | 35.0 | | 101.0 | 480.6 | 21 | | |
| 9 : 00 | 19 : 10 | 1.072 | -210 | 34.7 | | 97.22 | 750.7 | 90 | | |

表 4. 2. 3 溶解槽運転記録 (2)
Operating records of dissolution tank (2)

表 4.2.4 溶解槽運転記録 (3)
Operating records of dissolver

| 時刻 | TW-1401 | | | | TW-1401 | | | | TW-1402 | | | | A/B | | オフガス量 風度 (Nm ³ /hr) | PVC- 開度 (%) |
|------------|--------------|--------------|---------------------|-----------|--------------|--------------|---------------------|-----------|--------------|----------------|----------------------|----------------------|-----|--|--------------------------------------|-------------------|
| | 圧力 (mmAq) | 差力 (mmAq) | 冷水出入口 温温 (°C) | 液位 (%) | 圧力 (mmAq) | 差圧 (mmAq) | 冷水出入口 温温 (°C) | 液位 (%) | 差圧 (mmAq) | 出口圧力 (mmAq) | オフガス 入口温度 (°C) | オフガス 出口温度 (°C) | | | | |
| 10:10 -246 | 0 | 13.6 | 58.6 | -236 | 2 | 13.4 | 67.8 | 64 | -350 | 77.9 | 70.6 | 70.6 | | | | |
| 12:10 -245 | 0 | 13.8 | 58.6 | -236 | 2 | 14.1 | 67.7 | 65 | -351 | 82.4 | 74.8 | 74.8 | | | | |
| 14:10 -214 | 0 | 14.5 | 58.5 | -205 | 2 | 14.7 | 67.6 | 75 | -337 | 82.8 | 75.1 | 75.1 | | | | |
| 16:40 -230 | 0 | 14.7 | 58.5 | -221 | 2 | 15.1 | 67.6 | 70 | -344 | 83.4 | 75.4 | 75.4 | | | | |
| 18:10 -230 | 0 | 14.8 | 58.4 | -221 | 2 | 15.1 | 67.5 | 70 | -344 | 83.7 | 75.5 | 75.5 | | | | |
| 20:10 -216 | 0 | 14.6 | 58.4 | -208 | 2 | 14.9 | 67.6 | 74 | -337 | 83.7 | 74.5 | 74.5 | | | | |
| 22:10 -232 | 0 | 14.7 | 58.4 | -222 | 2 | 15.1 | 67.3 | 69 | -344 | 83.5 | 74.5 | 74.5 | | | | |
| 23:10 -230 | 0 | 14.6 | 58.4 | -221 | 2 | 14.9 | 67.4 | 69 | -344 | 83.5 | 74.6 | 74.6 | | | | |
| | | | | | | | | | | | | | | | | |
| | | | | | | | | | | | | | | | | |
| | | | | | | | | | | | | | | | | |
| | | | | | | | | | | | | | | | | |
| | | | | | | | | | | | | | | | | |

表4.2.5 溶解液の分析結果
Analytical results of dissolving solution

| サンプル名 | 湿式分析 (μ/ℓ , $\text{II}^+/\text{mol}/\ell$) | | | | | | | | | | 放射能分析 (mci/ ℓ) | | | | | | | その他 | | | | |
|--------------|---|---------|--------|-------|-----------------|-----|-----|----------------------------|----------------------|---------------------|----------------------|---------------------|----------------------|---------------------|----------------------|----------------------|---------------------|----------------------|----------------------|----------------------|---------------------|--|
| | U | Pu | Pu III | Pu IV | II ⁺ | HAN | HDZ | ⁹⁵ Zr | ⁹⁶ Nb | ¹⁰³ Ru | ¹⁰⁶ Ru | ¹²⁵ Sb | ¹³⁴ Cs | ¹³⁷ Cs | ¹⁴⁴ Ce | ¹⁴⁴ Pr | ¹⁵⁴ Eu | ¹⁵⁶ Eu | Total γ | 備考 | | |
| D 00 - 10 | 15.2 | 6.41 | | | 3.82 | | | 2.5×10 | 3.0×10 | <1 | 1.2×10 ³ | 1.6×10 ² | 1.4×10 ² | 2.3×10 ³ | 5.9×10 ³ | 5.9×10 ³ | 1.3×10 | 2.0×10 ² | 1.6×10 ⁴ | | | |
| D 01 | 14.2 | 6.29 | | | 3.39 | | | 2.1×10 | 2.8×10 | <1 | 1.1×10 ³ | 1.7×10 ² | 1.4×10 ² | 2.3×10 ³ | 5.7×10 ³ | 5.7×10 ³ | 1.5×10 | 1.9×10 ² | 1.5×10 ⁴ | | | |
| D 02 | 16.9 | 6.59 | | | 3.37 | | | 2.4×10 | 3.1×10 | <1 | 1.1×10 ³ | 1.8×10 ² | 1.7×10 ² | 2.7×10 ³ | 6.2×10 ³ | 6.2×10 ³ | 1.7×10 | 1.8×10 ² | 1.7×10 ⁴ | | | |
| D 03 | 21.7 | 8.11 | <0.2 | 3.33 | | | | 3.3×10 | 4.6×10 | <1 | 1.8×10 ³ | 2.6×10 ² | 2.3×10 ² | 3.7×10 ³ | 7.6×10 ³ | 7.6×10 ³ | 2.5×10 | 2.8×10 ² | 2.2×10 ⁴ | | | |
| D 04 | 22.8 | 9.17 | <0.2 | 3.35 | | | | 3.7×10 | 4.8×10 | <1 | 1.6×10 ³ | 2.8×10 ² | 2.5×10 ² | 3.9×10 ³ | 8.2×10 ³ | 8.2×10 ³ | 1.7×10 | 3.0×10 ² | 2.3×10 ⁴ | | | |
| D 05 | 30.3 | 11.5 | <0.2 | 3.24 | | | | 4.7×10 | 5.8×10 | <1 | 1.7×10 ³ | 3.5×10 ² | 4.5×10 ³ | 5.0×10 ³ | 1.0×10 ⁴ | 1.0×10 ⁴ | 2.4×10 | 3.2×10 ² | 2.7×10 ⁴ | | | |
| D 06 | 32.8 | 13.7 | 3.02 | 3.29 | | | | 4.9×10 | 6.2×10 | <1 | 2.0×10 ³ | 3.5×10 ² | 3.1×10 ² | 5.0×10 ³ | 1.2×10 ⁴ | 1.2×10 ⁴ | 3.1×10 | 4.8×10 ² | 3.1×10 ⁴ | | | |
| D 07 | 36.5 | 13.9 | 1.86 | 3.23 | | | | 5.1×10 | 6.5×10 | <1 | 2.1×10 ³ | 3.5×10 ² | 5.1×10 ³ | 1.2×10 ⁴ | 1.2×10 ⁴ | 1.2×10 ⁴ | 3.3×10 | 4.7×10 ² | 3.3×10 ⁴ | | | |
| D 08 | 40.7 | 15.7 | 2.37 | 3.22 | | | | 6.2×10 | 6.6×10 | <1 | 2.5×10 ³ | 3.5×10 | 3.4×10 ² | 5.4×10 ³ | 1.4×10 ⁴ | 1.4×10 ⁴ | 4.0×10 | 5.1×10 ² | 3.6×10 ⁴ | | | |
| D 09 | 38.5 | 16.3 | 3.41 | 3.19 | | | | 6.2×10 | 6.1×10 | <1 | 2.5×10 ³ | 3.3×10 | 3.4×10 ² | 5.4×10 ³ | 1.4×10 ⁴ | 1.4×10 ⁴ | 3.7×10 | 5.6×10 ² | 3.6×10 ⁴ | | | |
| D 10 | 40.7 | 16.7 | 12.2 | 3.24 | | | | ^{H³} | 2.6×10 ⁻¹ | 6.0×10 | 6.2×10 | <1 | 2.7×10 ³ | 3.4×10 ² | 3.5×10 ² | 5.7×10 ³ | 1.4×10 ⁴ | 1.4×10 ⁴ | 3.5×10 | 5.5×10 ² | 3.8×10 ⁴ | |
| D 11 | 40.0 | 16.8 | 12.9 | 3.08 | | | | $\rho(\text{g}/\text{cc})$ | 1.211 | 6.5×10 | 6.2×10 | <1 | 2.9×10 ³ | 3.7×10 ² | 3.5×10 ² | 5.6×10 ³ | 1.4×10 ⁴ | 1.4×10 ⁴ | 3.9×10 | 5.7×10 ² | 3.8×10 ⁴ | |
| | | | | | | | | (mCi/ ℓ) | | | | | | | | | | | | | | |
| TW-1401-1-10 | <0.03 | <0.05 m | | | 0.01 | | | 1.6×10 ⁻³ | <1×10 ⁻³ | <1×10 ⁻³ | 2.9×10 ⁻³ | <1×10 ⁻³ | 2.0×10 ⁻³ | <1×10 ⁻³ | 1.1×10 ⁻² | 1.1×10 ⁻² | <1×10 ⁻³ | 2.4×10 ⁻³ | 4.8×10 ⁻² | | | |
| TW-1401-2-10 | <0.03 | <0.05 m | | | 0.01 | | | <1×10 ⁻³ | " | " | 2.8×10 ⁻³ | " | " | " | 1.7×10 ⁻² | " | " | " | 2.8×10 ⁻³ | 4.6×10 ⁻² | | |
| プロット記号 | ● Aq | ▲ Aq | ○ org | △ org | | | | | | ○ | ○ | □ | △ | ⊗ | ■ | □ | ▲ | ● | ■ | ● | | |

表4.2.6 溶解率
Dissolution rate

(単位; %)

| 時間 | U | Pu | Zr - 95 | Cs - 137 | Ce - 144 | Ru - 106 | Eu - 155 | Sb - 125 |
|-------|-------------------|------------------|----------------------|------------------------|------------------------|-----------------------|-----------------------|----------|
| 0.0 | 0 | 0 | 0 | 0 | 0 | 0 | 0 | 0 |
| 0.5 | 0 | 0 | 0 | 0.75 | 0 | 0 | 0 | 6.30 |
| 1.0 | 8.41 | 2.62 | 0 | 14.54 | 5.00 | 0 | 0 | 11.70 |
| 1.5 | 29.10 | 18.16 | 22.20 | 47.33 | 23.43 | 39.77 | 23.94 | 53.21 |
| 2.0 | 33.84 | 29.34 | 33.17 | 53.82 | 31.52 | 26.32 | 29.78 | 63.54 |
| 3.5 | 66.97 | 53.97 | 60.72 | 73.69 | 56.04 | 32.78 | 35.63 | 100.12 |
| 4.0 | 73.13 | 72.36 | 61.70 | 84.71 | 77.78 | 47.99 | 78.12 | 94.00 |
| 5.5 | 86.19 | 75.93 | 68.45 | 89.66 | 79.49 | 55.70 | 76.74 | 111.11 |
| 7.0 | 106.16 | 92.29 | 95.59 | 97.14 | 103.48 | 78.97 | 86.36 | 93.87 |
| 8.0 | 97.41 | 98.72 | 96.02 | 97.59 | 103.96 | 79.37 | 100.75 | 84.43 |
| 11.0 | 102.02 | 98.24 | 86.67 | 102.19 | 99.15 | 87.24 | 93.86 | 84.86 |
| 13.0 | 100.00 | 100.00 | 100.00 | 100.00 | 100.00 | 100.00 | 100.00 | 100.00 |
| Total | 131.1 <i>g</i> | 54.9 <i>g</i> | 212.36 <i>mCi</i> | 18415.59 <i>mCi</i> | 45913.08 <i>mCi</i> | 9461.58 <i>mCi</i> | 1860.11 <i>mCi</i> | 1219.34 |

補正値 Pu の溶解終了時間 13 時間目を 100 % としその他を補正した。

表 4.2.7 溶解槽内の硝酸量
 HNO_3 balance during dissolution

| 経過時間 (h) | 液中硝酸量 (mol) | サンプル中硝酸量 (mol) | 未反応硝酸量 (mol) | U溶解消費量 (mol) | Pu溶解消費量 (mol) | トータル硝酸量 (mol) |
|-------------|----------------|-------------------|-----------------|-----------------|------------------|------------------|
| 0 | 11.927 | 0.074 | 12.002 | 0.604 | 0.380 | 12.988 |
| 0.5 | 12.002 | 0.148 | 12.151 | 0.570 | 0.377 | 13.099 |
| 1.0 | 11.853 | 0.223 | 12.077 | 0.677 | 0.395 | 13.149 |
| 1.5 | 11.484 | 0.309 | 11.794 | 0.856 | 0.478 | 13.129 |
| 2.0 | 11.459 | 0.383 | 11.842 | 0.897 | 0.538 | 13.278 |
| 3.5 | 10.999 | 0.454 | 11.454 | 1.183 | 0.671 | 13.309 |
| 4.0 | 10.729 | 0.520 | 11.250 | 1.123 | 0.770 | 13.257 |
| 5.5 | 10.578 | 0.591 | 11.163 | 1.349 | 0.789 | 13.309 |
| 7.0 | 10.352 | 0.655 | 11.008 | 1.522 | 0.877 | 13.408 |
| 8.0 | 10.218 | 0.719 | 10.938 | 1.446 | 0.912 | 13.297 |
| 11.0 | 10.036 | 0.784 | 10.820 | 1.486 | 0.910 | 13.217 |
| 13.0 | 9.519 | 0.852 | 10.371 | 1.468 | 0.914 | 12.760 |

表4.2.3 溶解液密度の変化
Density of dissolution solution
during dissolution

| 経過時間 | 密 度 (g/cm^3) | |
|------|------------------|-------|
| | 計算値* | 実測値** |
| 0 | 1.148 | 1.145 |
| 0.5 | 1.140 | 1.134 |
| 1.0 | 1.122 | 1.098 |
| 1.5 | 1.124 | 1.093 |
| 2.0 | 1.129 | 1.104 |
| 3.5 | 1.138 | — |
| 4.0 | 1.146 | 1.038 |
| 5.5 | 1.145 | — |
| 7.0 | 1.153 | 1.118 |
| 8.0 | 1.151 | 1.113 |
| 11.0 | 1.156 | 1.073 |
| 13.0 | 1.149 | 1.114 |

* 計算式 $\rho_{25} = 1.028 + 0.001256 \cdot U [g/\ell] + 0.02748 \cdot H^+ [mol/\ell]$

補正式 $\rho_t = \rho_{25} (1.0125 - 0.0005t) - 0.0036 + 0.000145t$

ただし $\rho_t : t^\circ\text{C}$ の時の溶解液密度

** 溶解液攪拌用空気 ($0.5 m^3/\text{hr}$) を流してある状態での測定値。

表 4.2.9 溶解液中の Pu(VI) の量
 Amounts of Pu(VI) valency in dissolution solution

| 経過時間 | Total Pu (g/l) | Pu ⁶⁺ (g/l) | Pu ⁶⁺ /Total Pu (%) |
|------|-------------------|---------------------------|-----------------------------------|
| 0 | 6.41 | — | — |
| 0.5 | 6.29 | — | — |
| 1.0 | 6.59 | — | — |
| 1.5 | 8.11 | <0.2 | <2.47 |
| 2.0 | 9.17 | <0.2 | <2.18 |
| 3.5 | 11.5 | <0.2 | <1.74 |
| 4.0 | 13.7 | <0.2 | <1.45 |
| 5.5 | 13.9 | 1.86 | 13.38 |
| 7.0 | 15.7 | 2.37 | 15.10 |
| 8.0 | 16.3 | 3.41 | 20.92 |
| 11.0 | 16.7 | 12.2 | 73.05 |
| 13.0 | 16.8 | 12.9 | 76.79 |

注) <0.2 は検出限界以下を表わす。

表 4.2.10 搅拌空気量と溶解時間との関係
 Dissolving time versus amounts of stirring air

| 搅拌空気流量 (l/min) | パージ流量 (l/min) | 溶解時間 (h) |
|-------------------|------------------|-------------|
| 0 | 0 | 0 ~ 3.5 |
| 0.5 | 0.5 | 3.5 ~ 4.5 |
| 0 | 0.5 | 4.5 ~ 8.5 |
| 0.5 | 0.5 | 8.5 ~ 11.5 |
| 0 | 0.5 | 11.5 ~ 13.0 |

表4.2.11 計算データ
Calculation data for dissolving solution

液位計算 10 run

| 時間 | 密 度 (25°C) | 密 度 (TEMP) | 液 位 (%) | 液 量 (TEMP) | 液 量 (25°C) | 温 度 | サンプル 液 量 |
|-----|---------------|---------------|------------|---------------|---------------|--------|-------------|
| 0 | 1.14802456 | 1.14822974 | 37.3 | 3.52835204 | 3.52898266 | 24.58 | 0.022 |
| 0.5 | 1.14689264 | 1.13956550 | 37.4 | 3.56332652 | 3.54056154 | 42.16 | 0.022 |
| 1 | 1.15011104 | 1.12177817 | 37.3 | 3.60633951 | 3.51749773 | 90.94 | 0.022 |
| 1.5 | 1.15694976 | 1.12436011 | 36.8 | 3.54875946 | 3.44879589 | 100.24 | 0.026 |
| 2 | 1.16021232 | 1.12864426 | 36.6 | 3.51628100 | 3.42060699 | 97.61 | 0.022 |
| 3.5 | 1.169536 | 1.13774818 | 36.6 | 3.48991315 | 3.39505782 | 97.34 | 0.022 |
| 4 | 1.1768132 | 1.14552925 | 35.4 | 3.35038318 | 3.26131791 | 95.61 | 0.02 |
| 5.5 | 1.1788068 | 1.14665699 | 35.6 | 3.36684049 | 3.27501605 | 97.4 | 0.022 |
| 7 | 1.187324 | 1.15297700 | 35.2 | 3.31074072 | 3.21496737 | 101.61 | 0.02 |
| 8 | 1.18449 | 1.15128469 | 35 | 3.29582589 | 3.20343263 | 99.3 | 0.02 |
| 11 | 1.1891296 | 1.15575643 | 34 | 3.18702286 | 3.09757840 | 99.29 | 0.02 |
| 13 | 1.1839792 | 1.14871884 | 33.8 | 3.18569412 | 3.09082023 | 103.94 | 0.022 |

U・Pu・硝酸 10 run

| 時間 | U (g/l) | サンプル中 | Total (g) | Pu (g/l) | サンプル中 | Total (g) | 硝 酸 (M) | 硝 酸 (mol) | サンプル中 | +サンプル中 | Uで消費 | Puで消費 | Total (mol) |
|-----|------------|--------|--------------|-------------|---------|--------------|------------|--------------|---------|------------|------------|------------|----------------|
| 0 | 15.2 | 0.3344 | 53.9749365 | 6.41 | 0.14102 | 22.7617988 | 3.38 | 11.9279614 | 0.07436 | 12.0023214 | 0.60476119 | 0.38095060 | 12.9880332 |
| 0.5 | 14.2 | 0.3124 | 50.9227739 | 6.29 | 0.13838 | 22.5495321 | 3.39 | 12.0025036 | 0.14894 | 12.1514436 | 0.57056329 | 0.37739802 | 13.0994049 |
| 1 | 16.9 | 0.3718 | 60.4643117 | 6.59 | 0.14498 | 23.6046900 | 3.37 | 11.8539673 | 0.22308 | 12.0770473 | 0.67747127 | 0.39505757 | 13.1495762 |
| 1.5 | 21.7 | 0.5642 | 76.4216709 | 8.11 | 0.21086 | 28.6049747 | 3.33 | 11.4844903 | 0.30966 | 11.7941503 | 0.85626522 | 0.47874434 | 13.1291599 |
| 2 | 22.8 | 0.5016 | 80.0742395 | 9.17 | 0.20174 | 32.2039461 | 3.35 | 11.4590334 | 0.38336 | 11.8423934 | 0.89719035 | 0.53897817 | 13.2785619 |
| 3.5 | 30.3 | 0.6666 | 105.621252 | 11.5 | 0.253 | 40.1331449 | 3.24 | 10.9999873 | 0.45464 | 11.4546273 | 1.18343139 | 0.67168443 | 13.3097431 |
| 4 | 32.8 | 0.656 | 110.378227 | 13.7 | 0.274 | 46.0440353 | 3.29 | 10.7297359 | 0.52044 | 11.2501759 | 1.23673083 | 0.77061147 | 13.2575182 |
| 5.5 | 35.5 | 0.781 | 120.451069 | 13.9 | 0.3058 | 47.1925031 | 3.23 | 10.5783018 | 0.5915 | 11.1698018 | 1.34959182 | 0.78983268 | 13.3092263 |
| 7 | 40.7 | 0.814 | 135.851171 | 15.7 | 0.314 | 52.4587677 | 3.22 | 10.3521949 | 0.6559 | 11.0080949 | 1.52214198 | 0.87797100 | 13.4082079 |
| 8 | 38.5 | 0.77 | 129.104156 | 16.3 | 0.326 | 54.5257318 | 3.19 | 10.2189500 | 0.7197 | 10.9386500 | 1.44654516 | 0.91256455 | 13.2977598 |
| 11 | 40.7 | 0.814 | 132.657441 | 16.7 | 0.334 | 54.3733393 | 3.24 | 10.0361540 | 0.7845 | 10.8216540 | 1.48635788 | 0.91001404 | 13.2170259 |
| 13 | 40 | 0.88 | 131.098809 | 16.8 | 0.3696 | 54.9391598 | 3.08 | 9.51972630 | 0.85226 | 10.3719863 | 1.46889422 | 0.91948384 | 12.7603643 |

FP 10 run

| 時間 | Zr 濃度 | サンプル (mCi) | ⁹⁵ Zr (mCi) | Cs 濃度 | サンプル (mCi) | ¹³⁷ Cs (mCi) | Ce 濃度 | サンプル (mCi) | ¹⁴⁴ Ce (mCi) | Ru濃度 | サンプル (mCi) | ¹⁰⁶ Ru (mCi) | Eu濃度 | サンプル (mCi) | ¹⁵⁵ Eu (mCi) | Sb濃度 | サンプル (mCi) | ¹²⁵ Sb (mCi) |
|-----|-------|---------------|---------------------------|-------|---------------|----------------------------|-------|---------------|----------------------------|------|---------------|----------------------------|------|---------------|----------------------------|------|---------------|----------------------------|
| 0 | 25 | 0.55 | 88.7745666 | 2300 | 50.6 | 8167.26013 | 5900 | 129.8 | 20950.7977 | 1200 | 26.4 | 4261.17920 | 200 | 4.4 | 710.196533 | 160 | 3.52 | 568.157226 |
| 0.5 | 21 | 0.462 | 75.3637924 | 2300 | 50.6 | 8244.49155 | 5700 | 125.4 | 20436.4007 | 1100 | 24.2 | 3945.21769 | 190 | 4.18 | 681.286693 | 170 | 3.74 | 609.155462 |
| 1 | 24 | 0.528 | 85.9599456 | 2700 | 59.4 | 9657.84388 | 6200 | 136.4 | 22200.0859 | 1100 | 24.2 | 3944.04750 | 180 | 3.96 | 645.689592 | 180 | 3.96 | 644.369592 |
| 1.5 | 33 | 0.858 | 116.208264 | 3700 | 96.2 | 13017.3448 | 7600 | 197.6 | 26800.0488 | 1800 | 46.8 | 6329.43261 | 280 | 7.28 | 985.482850 | 260 | 6.76 | 914.666932 |
| 2 | 37 | 0.814 | 129.774458 | 3900 | 85.8 | 13682.9672 | 8200 | 180.4 | 28818.5773 | 1600 | 35.2 | 5629.77119 | 300 | 6.6 | 1052.60209 | 280 | 6.16 | 981.909959 |
| 3.5 | 47 | 0.034 | 163.813717 | 4500 | 99 | 15719.3602 | 10000 | 220 | 34940.1782 | 1700 | 37.4 | 5965.79830 | 320 | 7.04 | 1119.87850 | 350 | 7.7 | 1220.11023 |
| 4 | 49 | 0.98 | 165.030577 | 5000 | 100 | 16848.1895 | 12000 | 240 | 40365.4149 | 2000 | 40 | 6756.83582 | 480 | 9.6 | 1608.49259 | 350 | 7 | 1180.30126 |
| 5.5 | 51 | 0.122 | 173.373818 | 5100 | 112.2 | 17356.3818 | 12000 | 264 | 40793.7926 | 2100 | 46.2 | 7157.93371 | 470 | 10.34 | 1592.65754 | 380 | 8.36 | 1291.70610 |
| 7 | 62 | 1.24 | 206.915976 | 5400 | 108 | 18122.6237 | 14000 | 280 | 46783.1431 | 2500 | 50 | 8367.81842 | 510 | 10.2 | 1703.23335 | 350 | 7 | 1179.43857 |
| 8 | 62 | 1.24 | 207.440823 | 5400 | 108 | 18168.3362 | 14000 | 280 | 46901.6568 | 2500 | 50 | 8388.98157 | 560 | 11.2 | 1868.72227 | 330 | 6.6 | 1117.93276 |
| 11 | 60 | 1.2 | 195.882704 | 5700 | 114 | 18639.9969 | 14000 | 280 | 45699.6976 | 2700 | 54 | 8797.86169 | 550 | 11 | 1789.46812 | 340 | 6.8 | 1120.77665 |
| 13 | 65 | 1.43 | 212.361314 | 5600 | 123.2 | 18415.5932 | 14000 | 308 | 45913.0832 | 2900 | 63.8 | 9461.57866 | 570 | 12.54 | 1860.10753 | 370 | 8.14 | 1219.34348 |

表 4.3.1 小型溶解条件
Dissolving condition at the test with
miniature dissolving apparatus

| No. | 使用量 | 温度 (g/ℓ) | | | 液量 (mℓ) | 温度 (℃) | 搅拌液量 (ℓ/min) |
|-------|-------------------------|-------------------|-------------------|--------------------|----------------------------|-----------|-----------------|
| | | U | Pu | H ⁺ (M) | | | |
| 10-1 | 剪断片 1片 3cm 6.222g | 0 59.4 | 0 21.1 | 3.50 5.14 | 0.2 M 75 Conc 25 100 | BP | 0.0 |
| 10-2 | 剪断片 1片 3cm 6.244g | 0 30.9 | 0 11.3 | 3.50 2.92 | 0.2 M 75 Conc 25 100 | 100 | 0.4 |
| 10-3 | 剪断片 1片 3cm 6.091g | 0 27.2 | 0 9.53 | 3.50 3.17 | 0.2 M 75 Conc 25 100 | 90 | 0.4 |
| 10-4 | 剪断片 1片 3cm 5.893g | 0 36.8 | 0 14.2 | 5.00 5.56 | 0.2 M 64 Conc 36 100 | 90 | 0.4 |
| 10-5 | 剪断片 1片 3cm 6.172g | 0 29.9 | 0 12.1 | 2.50 2.39 | 0.2 M 83 Conc 17 100 | 100 | 0.4 |
| 10-6 | 剪断片 1片 3cm 6.193g | 0 30.7 | 0 11.9 | 5.00 4.21 | 0.2 M 64 Conc 36 100 | 100 | 0.4 |
| 10-7 | 剪断片 1片 3cm 6.082g | 0 35.4 | 0 13.7 | 8.00 8.23 | 8 M 100 | 100 | 0.4 |
| 10-8 | 剪断片 1片 1cm 2.02g | 0 10.4 | 0 3.9 | 3.50 3.27 | 0.2 M 75 Conc 25 100 | 100 | 0.4 |
| 10-9 | 剪断片 1片 4cm 8.422g | 0 40.0 | 0 15.7 | 5.00 4.10 | 0.2 M 64 Conc 36 100 | 100 | 0.4 |
| 10-10 | 剪断片 1片 3cm 6.212g | 40.0 63.0 | 15.7 23.3 | 3.50 2.85 | 100 | 100 | 0.44 |
| 10-11 | 剪断片 1片 cm 6.172g | 63.0 74.0 | 23.3 30.0 | 3.50 2.92 | 100 | 100 | 0.4 |
| 10-12 | 剪断片 粉末 35-70 | 0 21.5 | 0 8.0 | 3.50 3.36 | 0.2 M 75 Conc 25 100 | 100 | 0.4 |
| 10-13 | 剪断片 粉末 149-297 | 0 15.3 | 0 5.2 | 3.50 3.13 | 0.2 M 75 Conc 25 100 | 100 | 0.4 |
| 10-14 | 剪断片 1片 3cm 6.015g | 0 22.1 | 0 9.7 | 3.50 7.65 | Conc 75 25 100 | 100 | 0.4 |

表4.4.1 洗浄条件
Rinsing condition

| 項目 | | 条件 | 備考 |
|--------------|------------------|--|---------------------------|
| 移送方法 | | 減圧又はポンプ移送 | |
| 清澄方法 | | 重力沈降, ガラス纖維フィルター | 0.5, 0.6, 1 μm |
| 洗 净 I | 液 量 方 法 | 硝酸濃度 0.2 N 2.0 ℥ 沸点1時間保持 | 空気攪拌 |
| 洗 净 II | 液 量 方 法 | 硝酸濃度 0.2 N 2.0 ℥ 沸点1時間保持 | 空気攪拌 |
| 測定対象 | | 洗浄効果 (Pu・U・FP・重量) ハル (Pu・U・FP・重量) フィルター (Pu・U・FP・重量) | 不溶解性残査 |

表 4.4.2 溶解槽洗浄液の分析結果
Analytical results of rinsing solution in dissolver

| サンプル名称 | 湿式分析 (g/ℓ , $\text{II}^+ : \text{mol}/\ell$) | | | | | | 放射能分析 (mci/ℓ) | | | | | | | | | | その他 | | 備考 | |
|------------|--|--------|--------|------|-----------------|-----|-----------------------------|------------------|------------------|-------------------|---------------------|-------------------|-------------------|-------------------|---------------------|---------------------|-------------------|-------------------|---------------------|--|
| | U | Pu | Pu III | Pu V | II ⁺ | HAN | HDZ | ⁹⁵ Zr | ⁹⁵ Nb | ¹⁰³ Ru | ¹⁰⁶ Ru | ¹²⁵ Sb | ¹³⁴ Cs | ¹³⁷ Cs | ¹⁴⁴ Ce | ¹⁴⁴ Pr | ¹⁵⁴ Eu | ¹⁵⁵ Eu | Total r | |
| DW1 A - 10 | 0.44 | 0.31 | | | 0.55 | | | <1 | 1.1 | <1 | 2.1×10 ² | 1.5×10 | 3.7 | 6.1×10 | 1.5×10 ² | 1.5×10 ² | <1 | 6.0 | 6.1×10 ² | |
| DW2 A - 10 | <0.03 | 6.83 m | | | 0.21 | | | <1 | 3.3 | <1 | 5.8×10 ² | 4.6×10 | 1.6 | 2.6×10 | 7.1×10 | 7.1×10 | <1 | 1.8 | 8.1×10 ² | |
| | | | | | | | | | | | | | | | | | | | | |
| | | | | | | | | | | | | | | | | | | | | |
| | | | | | | | | | | | | | | | | | | | | |
| | | | | | | | | | | | | | | | | | | | | |
| | | | | | | | | | | | | | | | | | | | | |
| | | | | | | | | | | | | | | | | | | | | |
| | | | | | | | | | | | | | | | | | | | | |
| | | | | | | | | | | | | | | | | | | | | |
| | | | | | | | | | | | | | | | | | | | | |
| | | | | | | | | | | | | | | | | | | | | |
| | | | | | | | | | | | | | | | | | | | | |
| プロット記号 | ● Aq | ▲ Aq | | | | | | | ○ | ● | □ | △ | ⊗ | ■ | □ | ▲ | ● | □ | ● | |
| | ○ org | △ org | | | | | | | | | | | | | | | | | | |

表 4.4.3 残渣常温洗浄サンプル

Sampling time of rinsing solution for
insoluble residue

| 洗浄方法 | 洗浄保管日数 | 洗浄液濃度M | サンプル採取量 | 採取日 | サンプルNo |
|------|--------|------------------------|---------|-------|---------|
| 常温洗浄 | 0 | HNO ₃ 0.2 M | 20 ml | 8月5日 | SW01-10 |
| 常温洗浄 | 1 | HNO ₃ 3 M | 23 ml | 8月6日 | SW02-10 |
| 常温洗浄 | 1 | HNO ₃ 3 M | 18 ml | 8月7日 | SW03-10 |
| 常温洗浄 | 1 | HNO ₃ 3 M | 21 ml | 8月8日 | SW04-10 |
| 常温洗浄 | 3 | HNO ₃ 3 M | 20 ml | 8月11日 | SW05-10 |
| 常温洗浄 | 1 | 純水 | 20 ml | 8月12日 | SW06-10 |

表4.4.4 残渣洗浄の分析結果

卷之二

表 4.4.5 残渣常温洗浄における溶出量

Dissolving quantities of during rinsing insoluble
residue at room temperature (3N HNO₃)

| 核種 洗浄回数 | 1 (1 day) | 2 (1 day) | 3 (1 day) | 4 (1 day) | 5 (3 days) |
|-------------------------------------|--------------------|--------------------|--------------------|--------------------|--------------------|
| U (mg) | 210.2 | (- 31) | (- 2) | 210.2 | |
| Pu (mg) | 98.7 | (- 8) | 1.98 | 2.26 | 3.96 |
| ⁹⁵ Zr (mCi) | — | — | — | — | — |
| ⁹⁵ Nb | 1.43×10^2 | 2.45×10^2 | 2.02×10^2 | 1.58×10^2 | 7.66×10 |
| ¹⁰³ Ru | — | — | — | — | — |
| ¹⁰⁶ Ru | 2.57×10^4 | 1.42×10^3 | 2.04×10^4 | — | 2.28×10^3 |
| ¹²⁵ Sb | 3.43×10^3 | 1.47×10^4 | 1.04×10^4 | 7.0×10^3 | 4.69×10^3 |
| ¹³⁴ Cs | 1.57×10^3 | — | — | — | — |
| ¹³⁷ Cs | 2.72×10^4 | — | — | — | — |
| ¹⁴⁴ Ce ¹⁴⁴ Pr | 6.58×10^4 | 1.08×10^4 | — | — | — |
| ¹⁵⁴ Eu | 1.86×10^2 | — | — | — | — |
| ¹⁵⁵ Eu | 2.57×10^3 | — | — | — | — |
| Total γ | 1.27×10^5 | 2.72×10^4 | 3.09×10^4 | 7.15×10^3 | 7.04×10^3 |

表 4.4.6 残渣常温 (3N HNO₃) におけるUの溶出量
 Dissolving quantities of U insoluble residue during
 rinsing at room temperature (3N, HNO₃)

| No. | 洗浄日数 | 洗浄液量 (ml) | 濃度 (g/l) | 含有量 (mg) | 洗浄液 | | | 溶出量 (mg) | 日割 |
|-----|------|--------------|-------------|-------------|-------------|-------------|-------------|-------------|-----|
| | | | | | 残液量 (ml) | 濃度 (g/l) | 含有量 (mg) | | |
| 1 | 1 | 143 | 1.47 | 210.2 | — | — | — | 210.2 | 210 |
| 2 | 1 | 110 | 0.12 | 13.2 | 30 | 0.47 | 44.1 | (-31) | -31 |
| 3 | 1 | 120 | <0.03 | — | 20 | 0.12 | 2.4 | (-2) | -2 |
| 4 | 1 | 100 | <0.03 | — | 20 | <0.03 | — | | |
| 5 | 3 | 100 | <0.03 | — | 10 | <0.03 | — | | |
| 乾燥前 | | — | — | — | 12 | <0.03 | — | | |

表 4.4.7 残渣常温(3N HNO₃)におけるPuの溶出量
 Dissolving quantities of Pu insoluble residue during
 rinsing at room temperature (3N, HNO₃)

| No. | 洗浄日数 | 洗浄液量 (mℓ) | 濃度 (g/ℓ) | 含有量 (mg) | 洗淨残液 | | 溶出量 (mg) | 日割 |
|-----|------|--------------|-------------|-------------|-------------|-------------|-------------|-------|
| | | | | | 残液量 (mℓ) | 濃度 (g/ℓ) | | |
| 1 | 1 | 143 | 0.69 | 98.67 | — | — | — | 98.67 |
| 2 | 1 | 110 | 0.118 | 12.98 | 30 | 0.69 | 20.70 | 7.72 |
| 3 | 1 | 120 | 0.0362 | 4.34 | 20 | 0.118 | 2.36 | 1.98 |
| 4 | 1 | 100 | 0.023 | 2.30 | 20 | 0.0362 | 0.72 | 2.26 |
| 5 | 3 | 100 | 0.0419 | 4.19 | 10 | 0.023 | 0.23 | 3.96 |
| 乾燥前 | — | | | | 12 | 0.0419 | 0.50 | |

表4.4.8 残渣常温(3N HNO₃)における⁹⁵Zrの溶出量
 Dissolving quantities of ⁹⁵Zr insoluble residue during
 rinsing at room temperature (3N, HNO₃)

| No. | 洗浄日数 | 洗浄液量 (mℓ) | 濃度 (mCi/l) | 含有量 (mCi) | 洗浄残液 | | | 溶出量 (mCi) | 日割 |
|-----|------|--------------|---------------|--------------|-------------|---------------|--------------|--------------|----|
| | | | | | 残液量 (mℓ) | 濃度 (mCi/l) | 含有量 (mCi) | | |
| 1 | 1 | 143 | <1 | — | — | — | — | — | — |
| 2 | 1 | 110 | <1 | — | 30 | <1 | — | — | — |
| 3 | 1 | 120 | <1 | — | 20 | <1 | — | — | — |
| 4 | 1 | 100 | <1 | — | 20 | <1 | — | — | — |
| 5 | 3 | 100 | — | — | 10 | <1 | — | — | — |
| 乾燥前 | | — | — | — | 12 | — | — | — | — |

表 4.4.9 残渣常温 (3N HNO₃) における⁹⁵Nb の溶出量
 Dissolving quantities of ⁹⁵Nb insoluble residue during
 rinsing at room temperature (3N, HNO₃)

| No. | 洗浄日数 | 洗浄液量 (mℓ) | 濃度 (mCi/ℓ) | 含有量 (mCi) | 洗浄残液 | | 溶出量 (mCi) | 日割 |
|-----|------|--------------|---------------|------------------------|-------------|---------------|--------------|------------------------|
| | | | | | 残液量 (mℓ) | 濃度 (mCi/ℓ) | | |
| 1 | 1 | 143 | 1.0 | 1.43 × 10 ² | — | — | — | — |
| 2 | 1 | 110 | 2.5 | 2.75 × 10 ² | 30 | 1.0 | 30 | 2.45 × 10 ² |
| 3 | 1 | 120 | 2.1 | 2.52 × 10 ² | 20 | 2.5 | 50 | 2.02 × 10 ² |
| 4 | 1 | 100 | 2.0 | 2.0 × 10 ² | 20 | 2.1 | 42 | 1.58 × 10 ² |
| 5 | 3 | 100 | 2.5 | 2.5 × 10 ² | 10 | 2.0 | 20 | 7.66 × 10 |
| 乾燥前 | — | — | — | — | 12 | — | — | — |

表 4.4.10 残渣常温(3N HNO₃)における¹⁰⁶Ru溶出量
 Dissolving quantities of ¹⁰⁶Ru insoluble residue during
 rinsing at room temperature (3N, HNO₃)

| No. | 洗浄日数 | 洗浄液量 (mℓ) | 濃度 (mCi/ℓ) | 含有量 (mCi) | 洗浄残液 | | 溶出量 (mCi) | 割合 |
|-----|------|--------------|-----------------------|-------------------------|-------------|-----------------------|------------------------|---|
| | | | | | 残液量 (mℓ) | 濃度 (mCi/ℓ) | | |
| 1 | 1 | 143 | 1.8 × 10 ² | 2.574 × 10 ⁴ | — | — | — | — |
| 2 | 1 | 110 | 6.2 × 10 ² | 6.82 × 10 ³ | 30 | 1.8 × 10 ³ | 5.4 × 10 ³ | 1.42 × 10 ³ |
| 3 | 1 | 120 | 1.8 × 10 ² | 2.16 × 10 ⁴ | 20 | 6.2 × 10 ³ | 1.24 × 10 ³ | 2.036 × 10 ⁴ |
| 4 | 1 | 100 | 3.5 × 10 | 3.5 × 10 ³ | 20 | 1.8 × 10 ³ | 3.6 × 10 ³ | (-1 × 10 ³) (-1 × 10 ³) |
| 5 | 3 | 100 | 7.2 × 10 | 7.2 × 10 ³ | 10 | 3.5 × 10 ² | 3.5 × 10 ² | 6.85 × 10 ³ |
| 乾燥前 | | — | — | — | 12 | — | — | 2.28 × 10 ³ |

表 4.4.11 残渣常温(3N HNO₃)における¹²⁵Sb 溶出量
 Dissolving quantities of ¹²⁵Sb insoluble residue during
 rinsing at room temperature (3N, HNO₃)

| No. | 洗浄日数 | 洗浄液量 (mℓ) | 濃度 (mCi/l) | 含有量 (mCi) | 洗浄残液 | | 溶出量 (mCi) | 割合 |
|-----|------|--------------|-----------------------|-------------------------|-------------|-----------------------|-----------------------|-------------------------|
| | | | | | 残液量 (mℓ) | 濃度 (mCi/l) | | |
| 1 | 1 | 143 | 2.4 × 10 | 3.432 × 10 ³ | — | — | — | — |
| 2 | 1 | 110 | 1.4 × 10 ² | 1.54 × 10 ⁴ | 30 | 2.4 × 10 | 7.2 × 10 ² | 1.468 × 10 ⁴ |
| 3 | 1 | 120 | 1.1 × 10 ² | 1.32 × 10 ⁴ | 20 | 1.4 × 10 ² | 2.8 × 10 ³ | 1.04 × 10 ⁴ |
| 4 | 1 | 100 | 9.2 × 10 | 9.2 × 10 ³ | 20 | 1.1 × 10 ² | 2.2 × 10 ³ | 7.0 × 10 ³ |
| 5 | 3 | 100 | 1.5 × 10 ² | 1.5 × 10 ⁴ | 10 | 9.2 × 10 | 9.2 × 10 ² | 1.408 × 10 ⁴ |
| 乾燥前 | — | — | — | — | 12 | — | — | 4.69 × 10 ³ |

表 4.4.12 残渣常温(3N HNO₃)における¹³⁷Cs溶出量
 Dissolving quantities of ¹²⁵Sb insoluble residue during
 rinsing at room temperature (3N, HNO₃)

| No. | 洗浄日数 | 洗浄液量 (mℓ) | 濃度 (mCi/ℓ) | 含有量 (mCi) | 洗浄液 | | | 溶出量 (mCi) | 割合 |
|-----|------|--------------|-------------------|---------------------|-------------|-------------------|-------------------|-----------------------|-----------------------|
| | | | | | 残液量 (mℓ) | 濃度 (mCi/ℓ) | 含有量 (mCi) | | |
| 1 | 1 | 143 | 1.9×10^2 | 2.717×10^4 | — | — | — | — | — |
| 2 | 1 | 110 | 1.2×10 | 1.32×10^3 | 30 | 1.9×10^3 | 5.7×10^3 | (-4.38×10^3) | (-4.38×10^3) |
| 3 | 1 | 120 | 1.8 | 2.16×10^2 | 20 | 1.2×10 | 2.4×10^2 | (-0.24×10^2) | (-0.24×10^2) |
| 4 | 1 | 100 | <1 | — | 20 | 1.8 | 3.6×10 | — | — |
| 5 | 3 | 100 | <1 | — | 10 | <1 | — | — | — |
| 乾燥前 | | — | — | — | 12 | — | — | — | — |

表4.4.13 残渣常温(3N HNO₃)における¹⁴⁴Ce, ¹⁴⁴Pr溶出量
 Dissolving quantities of ¹⁴⁴Ce - ¹⁴⁴Pr insoluble residue during
 rinsing at room temperature (3N, HNO₃)

| No. | 洗浄日数 | 洗浄液量 (mℓ) | 濃度 (mCi/ℓ) | 含有量 (mCi) | 洗淨残液 | | | 溶出量 (mCi) | 割合 |
|-----|------|--------------|-----------------------|-------------------------|-------------|-----------------------|------------------------|----------------------------|----------------------------|
| | | | | | 残液量 (mℓ) | 濃度 (mCi/ℓ) | 含有量 (mCi) | | |
| 1 | 1 | 143 | 4.6 × 10 ² | 6.578 × 10 ⁴ | — | — | — | — | — |
| 2 | 1 | 110 | 2.7 × 10 | 2.97 × 10 ³ | 30 | 4.6 × 10 ² | 1.38 × 10 ⁴ | 1.083 × 10 ⁴ | 1.083 × 10 ⁴ |
| 3 | 1 | 120 | 4.8 | 5.76 × 10 ² | 20 | 2.7 × 10 | 5.4 × 10 ² | (-0.36 × 10 ²) | (-0.36 × 10 ²) |
| 4 | 1 | 100 | 1.1 | 1.1 × 10 ² | 20 | 4.8 | 9.6 × 10 | (-14) | (-14) |
| 5 | 3 | 100 | <1 | — | 10 | 1.1 | — | — | — |
| 乾燥前 | | — | | | 20 | | | | |

表 4.4.14 残渣重量

Weight of insoluble residue

(g)

| | | 濾過後濾紙 | 濾過前濾紙 | 残渣量 |
|--------|--------------------------|---|-------|-------|
| 調整前濾過 | 上段 ($1.0 \mu\text{m}$) | 0.974 | 0.718 | 0.256 |
| | 中段 ($0.6 \mu\text{m}$) | 0.634 | 0.617 | 0.017 |
| | 下段 ($0.5 \mu\text{m}$) | 0.325 | 0.305 | 0.020 |
| | 合 計 | ① | | 0.293 |
| 仕上げ濾過 | 上段 ($0.6 \mu\text{m}$) | 3.741 | 0.619 | 3.122 |
| | 上段 ($0.6 \mu\text{m}$) | 3.308 | 0.620 | 2.689 |
| | 中段 ($0.5 \mu\text{m}$) | 2.000 | 0.304 | 1.696 |
| | 下段 ($0.5 \mu\text{m}$) | 1.800 | 0.307 | 1.493 |
| | 合 計 | ② | | 9.000 |
| 沈降残渣重量 | | ③ | | 0.62 |
| 残渣総重量 | | $\textcircled{1} + \textcircled{2} + \textcircled{3} = 9.913$ | | |

表 4.4.15 残渣割合

Rate of insoluble residue in fuel

| | 燃料総重量 | 残渣重量 | 残渣割合 (%) |
|-------|-------|-------|----------|
| 溶解液濾過 | 325.7 | 9.293 | 2.85 |
| 沈降残渣 | 325.7 | 0.62 | 0.19 |
| 合 計 | 325.7 | 9.913 | 3.04 |

〔濃縮経過のAP盤による監視〕

表4.5.1 調整槽運転記録
Operating records at adjustment process

| 経過時間 (min) | 時 刻 | 調 整 槽 (VE-1204) | | | | ヒータ (EH-1202) | | | | オ フ ガ ス | | VE-1202 液 量 ℓ | 備 考 |
|---------------|-------|-----------------|-------------|----------|----------|---------------|----------|----------|----------|-------------|------|---------------------|------------------|
| | | 密 度 g/cc | 圧 力 mmAq | 液 位 % | 液 量 ℓ | 温 度 ℃ | 温 度 ℃ | 出 力 % | 電 流 A | 压 力 mmAq | 風 量 | | |
| 0 | 9:55 | 1.096 | -187 | 34.6 | | 35 | 89 | | | 32 | 33 | 6 | |
| 58 | 10:55 | 1.072 | -187 | 34.5 | | 71.20 | 604.9 | 60 | | -300 | 5.00 | 20.03 | ヒータON 9.57 |
| 118 | 11:55 | 1.055 | -186 | 34.2 | | 99.33 | 646.0 | 70 | | -299 | 5.00 | 20.13 | |
| 178 | 12:55 | 1.082 | -171 | 31.5 | | 96.86 | 669.8 | 80 | | -299 | 5.00 | 20.06 | |
| 238 | 13:55 | 1.081 | -169 | 28.5 | | 97.47 | 676.8 | 80 | | -300 | 5.10 | 21.30 | 搅拌エア-ON 12:15 |
| 298 | 14:55 | 1.118 | -169 | 25.3 | | 98.27 | 677.7 | 80 | | -300 | 5.10 | 22.65 | |
| 358 | 15:55 | 1.128 | -169 | 22.3 | | 99.00 | 670.0 | 80 | | -299 | 5.10 | 24.12 | |
| 388 | 16:25 | 1.093 | -169 | 20.8 | | 99.57 | 670.4 | 0 | | -298 | 5.10 | 26.24 | 搅拌停止 ヒータOFF |
| 423 | 17:00 | 1.095 | -187 | 20.6 | | 97.22 | 261.0 | 0 | | -299 | 4.90 | 26.31 | |

表 4.6.1 共除染・分配工程フィード液組成
Composition of feed solution at co-decontamination

| 組 成 | 濃 度 | |
|---------------------------------------|-------------------------|-------|
| U | 88.15 | g/l |
| Pu | 7.29 | g/l |
| HNO ₃ | 2.82 | mol |
| ⁹⁵ Zr | 6.755 | mCi/l |
| ⁹⁵ Nb | 7.002 | mCi/l |
| ¹⁰⁶ Ru | 1.338 × 10 ³ | mCi/l |
| ¹²⁵ Sb | 1.455 × 10 ² | mCi/l |
| ¹³⁴ Cs | 1.802 × 10 ² | mCi/l |
| ¹³⁷ Cs | 2.901 × 10 ³ | mCi/l |
| ¹⁴⁴ Ce - ¹⁴⁴ Pr | 6.009 × 10 ³ | mCi/l |
| ¹⁵⁴ Eu | 1.999 × 10 | mCi/l |
| ¹⁵⁵ Eu | 2.354 × 10 ² | mCi/l |
| Total - r | 1.685 × 10 ⁴ | mCi/l |

表 4.6.2 ミキサ・セトラ運転記録
Operating records of mixer-settler

61年 7月 28日

| 時 刻 | 1AF 供給 Pu-1233 ml/hr | 1AX 供給 Pu-1624 ml/hr | 1AD 供給 Pu-1621 ml/hr | 1AS 供給 Pu-1607 ml/hr | 1CX 供給 Pu-1626 ml/hr | 1CS 供給 Pu-1615 ml/hr | 1CN 供給 Pu-1235 ml/hr | 1BX 供給 Pu-1613 ml/hr | 備 考 |
|-------|----------------------------|----------------------------|----------------------------|----------------------------|----------------------------|----------------------------|----------------------------|----------------------------|-----------------|
| | 120.0 | 155.0 | 30.0 | 55.0 | 65.0 | 100.0 | 18.0 | 270.0 | 規定流量 |
| 11:10 | — | 155.2 | 38.6 | 54.5 | 65.1 | 220.0 | 450 | 323.1 | |
| 12:35 | — | 155.8 | 30.2 | 54.5 | 64.6 | 110.7 | 420 | 265.3 | |
| 13:30 | — | 155.8 | 30.1 | 54.7 | 64.9 | 110.7 | 402 | 265.3 | |
| 14:30 | — | 155.8 | 30.1 | 54.5 | 64.6 | 110.7 | 385 ₁₇ | 269.5 | 14.31 フィード開始 |
| 15:30 | 140 | 155.2 | 30.2 | 54.5 | 64.6 | 110.7 | 369 ₁₆ | 269.5 | |
| 16:30 | 160 | 155.2 | 30.4 | 54.7 | 64.6 | 110.7 | 348 ₂₁ | 269.5 | |
| 17:30 | 100 | 155.8 | 30.4 | 54.7 | 64.6 | 110.7 | 324 ₂₄ | 269.5 | |
| 18:30 | 150 | 154.5 | 30.8 | 54.5 | 64.6 | 110.7 | 310 ₁₄ | 269.5 | |
| 19:30 | 150 | 155.2 | 27.0 | 54.5 | 64.9 | 109.0 | 285 ₂₅ | 269.5 | |
| 20:30 | 200 | 155.2 | 30.0 | 54.5 | 64.9 | 105.0 | 260 ₂₅ | 269.5 | |
| 21:30 | 100 | 155.8 | 28 | 54.5 | 64.9 | 108 | 240 ₂₀ | 269.5 | |
| 22:30 | 180 | 155.8 | 28 | 54.7 | 64.9 | 111 | 220 ₂₀ | 269.5 | |
| 23:30 | 120 | 155.8 | 30.0 | 54.5 | 64.5 | 110 | 200 ₂₀ | 271.0 | |
| 0:30 | 100 | 155.2 | 30.0 | 54.5 | 65.1 | 112.5 | 185 ₁₅ | 270.4 | |
| 1:30 | 200 | 155.8 | 30.0 | 54.5 | 65.1 | 112.5 | 160 ₂₅ | 271.0 | |
| 2:30 | 100 | 155.8 | 30.0 | 54.5 | 65.1 | 110.7 | 140 ₂₀ | 271.0 | |
| 4:30 | 150 | 154.5 | 30 | 54.7 | 64.9 | 110.7 | 100 ₂₀ | 269.5 | |
| 5:30 | 100 | 154.5 | 30 | 54.5 | 65.1 | 111.6 | 80 ₂₀ | 269.5 | |
| 6:30 | 200 | 155.2 | 30 | 54.5 | 65.4 | 110.7 | 60 ₂₀ | 269.5 | |
| 7:30 | 100 | 155.2 | 30 | 54.5 | 65.1 | 110.7 | 45 ₁₅ | 238.9 | |
| 8:30 | 120 | 155.8 | 30 | 54.3 | 65.4 | 111.6 | 530 ₁₀ | 269.5 | |
| 9:30 | 160 | 154.5 | 27.4 | 54.5 | 65.4 | 111.6 | 510 ₂₀ | 269.5 | |
| 10:30 | 140 | 155.2 | 27.3 | 54.7 | 65.4 | 112.5 | 483 ₂₇ | 289.6 | 9:55 270 → 290へ |
| 11:30 | 20 | 155.2 | 27.3 | 54.7 | 65.7 | 110.7 | 462 ₂₁ | 291.3 | |
| 12:30 | 70 | 155.8 | 27.3 | 54.7 | 65.7 | 110.7 | 440 ₂₂ | 289.6 | |
| 13:30 | 140 | 155.2 | 27.3 | 54.7 | 65.7 | 111.6 | 420 ₂₀ | 289.6 | |
| 14:30 | 130 | 155.2 | 27.3 | 54.7 | 65.7 | 110.7 | 403 ₁₇ | 289.6 | |
| 15:30 | 150 | 155.2 | 27.3 | 54.7 | 65.7 | 111.6 | 380 ₂₃ | 291.3 | |
| 16:30 | 160 | 155.2 | 27.2 | 54.7 | 65.7 | 111.6 | 364 ₁₆ | 289.6 | |

61年 7月 29日

| 時 刻 | 1AF 供給 Pu-1233 ml/hr | 1AX 供給 Pu-1624 ml/hr | 1AD 供給 Pu-1621 ml/hr | 1AS 供給 Pu-1607 ml/hr | 1CX 供給 Pu-1626 ml/hr | 1CS 供給 Pu-1615 ml/hr | 1CN 供給 Pu-1235 ml/hr | 1BX 供給 Pu-1613 ml/hr | 備 考 |
|-------|----------------------------|----------------------------|----------------------------|----------------------------|----------------------------|----------------------------|----------------------------|----------------------------|------|
| | 120.0 | 155.0 | 30.0 | 55.0 | 65.0 | 100.0 | 18.0 | 270.0 | 規定流量 |
| 17:30 | 130 | 155.8 | 27.2 | 54.7 | 65.7 | 111 | 340 ₂₄ | 291.3 | |
| 18:30 | 110 | 155.8 | 27.5 | 54.5 | 66.0 | | 323 ₁₇ | 289.7 | |

表 4.6.3 ミキサ・セトラ監視記録
Monitoring records of mixer-settler

61年7月28日

| 時刻 | 濾過ビン | | 1AW 抽残液槽 VE-1205 | | 1A 廃溶媒槽 VE-1206 | | 1CPu 逆抽液槽 ポリタンク | | 1BU 逆抽液槽 ポリタンク | | 1B 廃溶媒槽 VE-1215 | | 備 考 |
|-------|---------|---------|---------------------|---------|--------------------|---------|--------------------|---------|-------------------|---------|--------------------|---------|--------------|
| | 液位 % | 液量 ℓ | 液位 % | 液量 ℓ | 液位 % | 液量 ℓ | 液位 % | 液量 ℓ | 液位 % | 液量 ℓ | 液位 % | 液量 ℓ | |
| | | | 7 | | 9 | | | | | | 18 | | データロガー No. |
| 12:30 | | | 51.9 | 10.28 | 7.3 | 0.80 | | | | | 7.3 | - | |
| 13:30 | | | 52.4 | 10.39 | 7.2 | 0.79 | | | | | 7.3 | - | |
| 14:30 | | 3.80 | 53.2 | 10.57 | 7.2 | 0.79 | - | - | - | - | 7.3 | - | 14:31 フィード開始 |
| 15:30 | | 3.66 | 54.3 | 10.79 | 7.2 | 0.79 | - | - | - | - | 9.0 | 0.9 | |
| 16:30 | | 3.50 | 55.2 | 10.98 | 7.2 | 0.78 | - | - | - | - | 9.5 | 1.26 | |
| 17:30 | | 3.40 | 55.93 | 11.2 | 7.24 | 0.8 | - | 0.35 | - | 0.4 | 9.91 | 1.5 | |
| 18:30 | | 3.25 | 56.63 | 11.3 | 7.26 | 0.8 | - | 0.45 | - | 0.7 | 10.37 | 1.8 | |
| 19:30 | | 3.10 | 57.39 | 11.5 | 7.25 | 0.8 | - | 0.55 | - | 1.0 | 10.85 | 2.1 | |
| 20:30 | | 2.90 | 58.19 | 11.6 | 7.80 | 1.0 | - | 0.70 | - | 1.1 | 11.18 | 2.3 | |
| 21:30 | | 2.8 | 58.98 | 11.8 | 7.92 | 1.0 | - | 0.82 | - | 1.45 | 11.32 | 2.4 | |
| 22:30 | | 2.62 | 59.86 | 12.0 | 8.04 | 1.1 | - | 0.95 | - | 1.8 | 11.51 | 2.5 | |
| 23:30 | | 2.50 | 60.51 | 12.1 | 8.13 | 1.1 | | 1.05 | | 2.0 | 12.08 | 2.9 | |
| 0:30 | | 2.40 | 61.18 | 12.3 | 8.16 | 1.1 | | 1.18 | | 2.2 | 12.43 | 3.1 | |
| 1:30 | | 2.20 | 62.07 | 12.5 | 8.27 | 1.2 | | 1.30 | | 2.6 | 12.91 | 3.4 | |
| 2:30 | | 2.10 | 62.74 | 12.6 | 8.36 | 1.2 | | 1.4 | | 2.8 | 13.28 | 3.6 | |
| 4:30 | | 1.8 | 63.96 | 12.9 | 8.52 | 1.3 | | 1.7 | | 3.3 | 14.14 | 4.1 | |
| 5:30 | | 1.7 | 64.50 | 13.0 | 8.58 | 1.3 | | 1.8 | | 3.6 | 14.58 | 4.4 | |
| 6:30 | | 1.5 | 65.03 | 13.1 | 8.66 | 1.3 | | 1.9 | | 3.8 | 15.00 | 4.6 | |
| 7:30 | | 1.4 | 65.57 | 13.2 | 8.74 | 1.3 | | 2.05 | | 4.0 | 15.40 | 4.9 | |
| 8:30 | | 1.28 | 66.22 | 13.4 | 8.83 | 1.4 | | 2.2 | | 4.38 | 15.80 | 5.1 | |
| 9:30 | | 1.12 | 67.29 | 13.6 | 8.87 | 1.4 | | 2.38 | | 4.7 | 16.34 | 5.5 | |
| 10:30 | | 0.98 | 68.7 | 13.9 | 9.00 | 1.4 | | 2.49 | | 4.95 | 16.7 | 5.66 | |
| 11:30 | | 0.96 | 69.9 | 14.2 | 9.0 | 1.4 | | 2.63 | | 5.22 | 17.1 | 5.95 | |
| 12:30 | | 0.89 | 69.9 | 14.2 | 9.0 | 1.4 | | 2.77 | | 5.50 | 17.1 | 5.96 | 1BU ポリタン交換 |
| 13:30 | | 0.75 | 71.2 | 14.5 | 9.1 | 1.5 | | 2.90 | | 0.20 | 17.8 | 6.35 | |
| 14:30 | | 0.62 | 71.7 | 14.6 | 9.2 | 1.5 | | 3.05 | | 0.61 | 18.3 | 6.64 | |
| 15:30 | | 0.47 | 71.6 | 14.55 | 9.3 | 1.55 | | 3.19 | | 2.95 | 18.6 | 6.88 | |
| 16:30 | | 0.31 | 71.6 | 14.55 | 9.4 | 1.57 | | 3.32 | | 1.20 | 18.9 | 7.03 | |

61年7月29日

| 時刻 | 濾過ビン | | 1AW 抽残液槽 VE-1205 | | 1A 廃溶媒槽 VE-1206 | | 1CPu 逆抽液槽 ポリタンク | | 1BU 逆抽液槽 ポリタンク | | 1B 廃溶媒槽 VE-1215 | | 備 考 |
|-------|---------|---------|---------------------|---------|--------------------|---------|--------------------|---------|-------------------|---------|--------------------|---------|------------|
| | 液位 % | 液量 ℓ | 液位 % | 液量 ℓ | 液位 % | 液量 ℓ | 液位 % | 液量 ℓ | 液位 % | 液量 ℓ | 液位 % | 液量 ℓ | |
| | | | 7 | | 9 | | | | | | 18 | | データロガー No. |
| 17:30 | | 0.18 | 72.52 | | 9.5 | | - | 3.45 | - | 1.5 | 18.9 | 7.034 | |
| 18:30 | | 0.07 | 73.12 | | 9.5 | | - | 3.54 | - | 1.8 | 19.7 | | |
| 19:10 | | 0 | 73.48 | | 9.5 | | - | 3.65 | - | 1.09 | 19.9 | | フィード供給 |

表4.6.4 共除染・分配工程の分析結果(1)

Analytical results of solution in co decontamination

| サンプル名 | 選式分析 ($\#/\ell$, $\Pi^+ : \text{mol}/\ell$) | | | | | | 放射能分析 (mci/ℓ) | | | | | | その他 | | | | | | | | |
|--------------|--|--------------------------|--------|-------|-----------------|-----|-----------------------------|------------------------|-------------------------|-------------------------|-------------------------|-------------------------|-------------------------|-------------------------|-------------------------|-------------------------|------------------------|-------------------------|-------------------------|-------------------------|----|
| | U | Pu | Pu III | Pu IV | II ⁺ | HAN | HDZ | ⁹⁵ Zr | ⁹⁵ Nb | ¹⁰³ Ru | ¹⁰⁶ Ru | ¹²⁵ Sb | ¹³⁴ Cs | ¹³⁷ Cs | ¹⁴⁴ Ce | ¹⁴⁴ Pr | ¹⁵⁴ Eu | ¹⁵⁵ Eu | Total r | ³ H | 参考 |
| 1 AW0 A -10 | <0.03 | 0.3 $\times 10^{-3}$ | | 2.37 | | | | <1 | <1 | | <1 | | | <1 | <1 | <1 | <1 | <1 | <1 | <1 | |
| 1 AW1 A | <0.03 | 0.71 $\times 10^{-3}$ | | 2.49 | | | | <1 | 1.3 | | 2.4 $\times 10^2$ | 3.5 $\times 10$ | 4.3 $\times 10$ | 7.0 $\times 10^2$ | 1.6 $\times 10^3$ | 1.6 $\times 10^3$ | 3.0 | 4.3 $\times 10$ | 4.3 $\times 10^3$ | | |
| 1 AW2 A | <0.03 | 2.12 $\times 10^{-3}$ | | 2.74 | | | | 3.5 | 3.8 | | 7.7 $\times 10^2$ | 8.9 $\times 10$ | 1.1 $\times 10^2$ | 1.8 $\times 10^3$ | 4.5 $\times 10^3$ | 4.5 $\times 10^3$ | 1.1 $\times 10$ | 1.5 $\times 10^2$ | 1.2 $\times 10^4$ | | |
| 1 AW3 A | <0.03 | 2.36 $\times 10^{-3}$ | | 2.65 | | | | 3.1 | 5.4 | | 9.3 $\times 10^2$ | 1.2 $\times 10^2$ | 1.3 $\times 10^2$ | 2.2 $\times 10^3$ | 5.3 $\times 10^3$ | 5.3 $\times 10^3$ | 1.4 $\times 10$ | 1.8 $\times 10^2$ | 1.4 $\times 10^4$ | | |
| 1 AW4 A | <0.03 | 2.67 $\times 10^{-3}$ | | 2.75 | | | | 5.2 | 5.7 | | 9.7 $\times 10^2$ | 1.2 $\times 10^2$ | 1.3 $\times 10^2$ | 2.2 $\times 10^3$ | 5.5 $\times 10^3$ | 5.5 $\times 10^3$ | 1.3 $\times 10$ | 2.0 $\times 10^2$ | 2.0 $\times 10^4$ | | |
| 1 AW5 A | <0.03 | 30.5 $\times 10^{-3}$ | | 2.67 | | | | 1.4 | 1.7 | | 3.3 $\times 10^2$ | 3.2 $\times 10$ | 3.7 $\times 10$ | 6.2 $\times 10^2$ | 1.6 $\times 10^3$ | 1.6 $\times 10^3$ | 5.0 | 5.4 $\times 10$ | 4.2 $\times 10^3$ | | |
| 1 AW6 A | <0.03 | 3.29 $\times 10^{-3}$ | | 2.70 | | | | 4.2 | 4.4 | | 1.0 $\times 10^3$ | 1.2 $\times 10^2$ | 1.4 $\times 10^2$ | 2.3 $\times 10^3$ | 5.7 $\times 10^3$ | 5.7 $\times 10^3$ | 1.1 $\times 10$ | 2.1 $\times 10^2$ | 1.5 $\times 10^4$ | 3.2 $\times 10^{-2}$ | |
| 1 CPu1 A -10 | <0.03 | 0.75 | | 1.95 | | | | <1 | 1.7 $\times 10^{-3}$ | <1 $\times 10^{-3}$ | 3.3 $\times 10^{-2}$ | 1.7 $\times 10^{-3}$ | 1.3 $\times 10^{-3}$ | 2.3 $\times 10^{-3}$ | 6.6 $\times 10^{-2}$ | 6.6 $\times 10^{-2}$ | <1 $\times 10^{-3}$ | <1 $\times 10^{-3}$ | 1.9 $\times 10^{-1}$ | | |
| 1 CPu2 A | <0.03 | 1.38 | | 1.45 | | | | <1 $\times 10^{-3}$ | <1 $\times 10^{-3}$ | 2.1 $\times 10^{-3}$ | 2.2 $\times 10^{-2}$ | 3.4 $\times 10^{-3}$ | 4.3 $\times 10^{-3}$ | 1.7 $\times 10^{-2}$ | 1.7 $\times 10^{-2}$ | <1 $\times 10^{-3}$ | <1 $\times 10^{-3}$ | 1.0 $\times 10^{-1}$ | | | |
| 1 CPu3 A | 7.00 | 8.70 | | 1.71 | | | | <1 $\times 10^{-3}$ | 1.4 $\times 10^{-3}$ | <1 $\times 10^{-3}$ | 2.0 $\times 10^{-2}$ | 1.5 $\times 10^{-3}$ | <1 $\times 10^{-3}$ | 1.1 $\times 10^{-3}$ | 7.1 $\times 10^{-2}$ | 7.1 $\times 10^{-2}$ | <1 $\times 10^{-3}$ | <1 $\times 10^{-3}$ | 1.8 $\times 10^{-1}$ | | |
| 1 CPu4 A | 9.27 | 7.20 | | 1.40 | | | | <1 $\times 10^{-3}$ | 1.0 $\times 10^{-3}$ | <1 $\times 10^{-3}$ | 2.4 $\times 10^{-2}$ | 1.2 $\times 10^{-3}$ | 1.6 $\times 10^{-3}$ | 1.4 $\times 10^{-3}$ | 2.9 $\times 10^{-2}$ | 2.9 $\times 10^{-2}$ | <1 $\times 10^{-3}$ | <1 $\times 10^{-3}$ | 9.9 $\times 10^{-1}$ | | |
| アロット記号 | ● Aq | ▲ Aq | ○ org | △ org | | | | | | | | | | | | | | | | | |

表4.6.4 共除染・分配工程の分析結果(2)

| サンプル名称 | 湿式分析 (d/ℓ , $\text{II}^+ : \text{mol}/\ell$) | | | | | | | | | | 放射能分析 (mci/ℓ) | | | | | | | | | | その他備考 | |
|------------------|--|-----------------------------|--------|-------|-----------------|-----|-----|--------------------------|--------------------------|--------------------------|-----------------------------|--------------------------|--------------------------|--------------------------|--------------------------|--------|--------|--------|-----------|--------------|--------------------------|-------------------------|
| | U | Pu | Pu III | Pu IV | II ⁺ | HAN | HDZ | DBP | 95 Nb | 103 Ru | 106 Ru | 125 Sb | 134 Cs | 137 Cs | 144 Ce | 144 Pr | 184 Eu | 186 Eu | Total r | ^3H | | |
| 1BU1A-10 | 0.15 | 0.70 $\times 10^{-3}$ | 0.06 | | | | | <1 $\times 10^{-3}$ | <1 $\times 10^{-3}$ | 4.6 $\times 10^{-3}$ | <1 $\times 10^{-3}$ | 8.0 $\times 10^{-3}$ | 7.9 $\times 10^{-3}$ | 7.9 $\times 10^{-3}$ | | | | | | | <1 $\times 10^{-3}$ | 2.9 $\times 10^{-2}$ |
| 1BU2A | 4.02 | <0.05 $\times 10^{-3}$ | 0.08 | | | | | <1 $\times 10^{-3}$ | <1 $\times 10^{-3}$ | <1 $\times 10^{-3}$ | <1 $\times 10^{-3}$ | 4.0 $\times 10^{-3}$ | 4.4 $\times 10^{-3}$ | 4.4 $\times 10^{-3}$ | | | | | | | <1 $\times 10^{-3}$ | 1.3 $\times 10^{-2}$ |
| 1BU3A | 38.3 | <0.05 $\times 10^{-3}$ | 0.11 | | | | | <1 $\times 10^{-3}$ | <1 $\times 10^{-3}$ | <1 $\times 10^{-3}$ | <1 $\times 10^{-3}$ | 4.5 $\times 10^{-3}$ | 3.5 $\times 10^{-3}$ | 3.5 $\times 10^{-3}$ | | | | | | | <1 $\times 10^{-3}$ | 1.2 $\times 10^{-2}$ |
| 1BU4A | 26.6 | <0.05 $\times 10^{-3}$ | 0.10 | | | | | <1 $\times 10^{-3}$ | <1 $\times 10^{-3}$ | 4.1 $\times 10^{-3}$ | <1 $\times 10^{-3}$ | 1.0 $\times 10^{-3}$ | 1.6 $\times 10^{-2}$ | 1.3 $\times 10^{-2}$ | | | | | | | <1 $\times 10^{-3}$ | 4.7 $\times 10^{-2}$ |
| | | | | | | | | | | | | | | | | | | | | | | |
| 1BW1 ϕ - 10 | <0.03 | 0.54 $\times 10^{-3}$ | <0.01 | | | | | 104 ppm | <1 $\times 10^{-3}$ | <1 $\times 10^{-3}$ | 7.6 $\times 10^{-3}$ | <1 $\times 10^{-3}$ | 1.9 $\times 10^{-3}$ | 3.0 $\times 10^{-2}$ | 3.0 $\times 10^{-2}$ | | | | | | <1 $\times 10^{-3}$ | 1.6 $\times 10^{-3}$ |
| 1BW2 ϕ | <0.03 | 0.34 $\times 10^{-3}$ | <0.01 | | | | | 102 ppm | <1 $\times 10^{-3}$ | <1 $\times 10^{-3}$ | 7.3 $\times 10^{-3}$ | <1 $\times 10^{-3}$ | 3.4 $\times 10^{-3}$ | 3.2 $\times 10^{-2}$ | 3.2 $\times 10^{-2}$ | | | | | | <1 $\times 10^{-3}$ | 7.5 $\times 10^{-2}$ |
| 1BW3 ϕ | <0.03 | 0.39 $\times 10^{-3}$ | <0.01 | | | | | 119 ppm | <1 $\times 10^{-3}$ | <1 $\times 10^{-3}$ | 7.0 $\times 10^{-3}$ | <1 $\times 10^{-3}$ | <1 $\times 10^{-3}$ | <1 $\times 10^{-3}$ | <1 $\times 10^{-3}$ | | | | | | <1 $\times 10^{-3}$ | 8.3 $\times 10^{-3}$ |
| | | | | | | | | | | | | | | | | | | | | | | |
| プロット記号 | ● Aq | ▲ Aq | ○ org | △ org | | | | | | | | | | | | | | | | | ■ □ △ ⊗ ▲ ◻ ◉ ◆ ● | |

表4.6.4 共除染・分配工程の分析結果(3)

| サンプル名称 | 湿式分析 (g/ℓ , $\text{II}^+ : \text{mol}/\ell$) | | | | | | 放射能分析 (mci/ ℓ) | | | | | | その他 | | 備考 | | | | | | |
|--------------|---|----------------------------|--------|-------|------|-------|----------------------|-----|------------------|------------------|-------------------|-----------------------|-----------------------|-----------------------|-----------------------|-----------------------|-----------------------|-----------|-----------------------|-----------------------|--|
| | U | Pu | Pu III | Pu IV | Pu V | Pu VI | HAN | HDZ | ^{96}Zr | ^{95}Nb | ^{103}Ru | ^{106}Ru | ^{125}Sb | ^{134}Cs | ^{144}Ce | ^{144}Pr | ^{155}Eu | Total r | | | |
| 1A 04 A - 10 | | | | | | | | | < 1 | 1.7 | < 1 | 8.0 × 10 ² | 1.1 × 10 ² | 1.3 × 10 ² | 2.2 × 10 ³ | 4.8 × 10 ³ | 4.8 × 10 ³ | 1.3 × 10 | 2.0 × 10 ² | 1.3 × 10 ⁴ | |
| 1A 05 A | < 0.03 | 0.16 × 10 ⁻³ | | | 3.08 | | | | | | | | | | | | | | | | |
| 1A 06 A | < 0.03 | 0.54 × 10 ⁻³ | | | 3.12 | | | | | | | | | | | | | | | | |
| 1A 07 A | | | | | | | | | 1.9 | 1.8 | < 1 | 9.3 × 10 ² | 1.2 × 10 ² | 1.2 × 10 ² | 2.1 × 10 ³ | 4.7 × 10 ³ | 4.7 × 10 ³ | 1.4 × 10 | 2.0 × 10 ² | 1.3 × 10 ⁴ | |
| 1A 08 A | < 0.03 | 0.54 × 10 ⁻³ | | | 3.14 | | | | | | | | | | | | | | | | |
| 1A 09 A | < 0.03 | 0.70 × 10 ⁻³ | | | 3.11 | | | | | | | | | | | | | | | | |
| 1A 10 A | | | | | | | | | 3.8 | 2.8 | < 1 | 9.3 × 10 ² | 1.1 × 10 ² | 1.2 × 10 ² | 2.0 × 10 ³ | 4.5 × 10 ³ | 4.5 × 10 ³ | 1.1 × 10 | 1.8 × 10 ² | 1.2 × 10 ⁴ | |
| 1A 11 A | < 0.03 | 4.42 × 10 ⁻³ | | | 3.12 | | | | | | | | | | | | | | | | |
| 1A 12 A | < 0.03 | 8.08 × 10 ⁻³ | | | 3.12 | | | | | | | | | | | | | | | | |
| 1A 13 A | | | | | | | | | 1.7 | 2.9 | < 1 | 8.7 × 10 ² | 1.1 × 10 ² | 1.2 × 10 ² | 2.0 × 10 ³ | 4.5 × 10 ³ | 4.5 × 10 ³ | 1.4 × 10 | 1.9 × 10 ² | 1.2 × 10 ⁴ | |
| 1A 15 A | < 0.03 | 0.41 | | | 3.17 | | | | | | | | | | | | | | | | |
| 1A 16 A | | | | | | | | | < 1 | 1.6 | < 1 | 8.8 × 10 ² | 9.9 × 10 | 1.2 × 10 ² | 2.1 × 10 ³ | 4.7 × 10 ³ | 4.7 × 10 ³ | 1.5 × 10 | 2.0 × 10 ² | 1.3 × 10 ⁴ | |
| 1A 18 A | 11.5 | 0.59 | | | 3.15 | | | | | | | | | | | | | | | | |
| 1A 19 A | | | | | | | | | < 1 | < 1 | < 1 | 5.6 × 10 | < 1 | < 1 | 8.1 | 2.9 × 10 | 2.9 × 10 | < 1 | 2.9 | 1.3 × 10 ² | |
| 1A 20 A | 23.3 | 9.36 | | | 2.67 | | | | | | | | | | | | | | | | |
| プロット記号 | ● Aq | ▲ Aq | ○ org | △ org | ■ Aq | □ org | ○ | ○ | △ | ⊗ | ■ | □ | ▲ | ○ | □ | ● | | | | | |

表4.6.4 共除染・分配工程の分析結果(4)

| サンプル名称 | 湿式分析 (g/ℓ , $\text{II}^+ : \text{mol}\ell/\ell$) | | | | | | | | | | 放射能分析 (mci/ ℓ) | | | | | | | その他備考 | | | |
|-----------|---|-------|--------|-------|-----------------|-------|-----|-------------------------|--------------------------|-------------------------|--------------------------|--------------------------|--------------------------|--------------------------|--------------------------|--------------------------|--------------------------|-------------------------|--------------------------|---|---|
| | U | Pu | Pu III | Pu IV | II ⁺ | HAN | HDZ | ⁹⁵ Zr | ⁹⁵ Nb | ¹⁰³ Ru | ¹⁰⁶ Ru | ¹²⁵ Sb | ¹³⁷ Cs | ¹⁴⁴ Ce | ¹⁴⁴ Pr | ¹⁵⁴ Eu | ¹⁵⁶ Eu | Total r | | | |
| 1A 21A-10 | | | | | | | | <1 | <1 | <1 | 1.6×10 | <1 | <1 | <1 | <1 | <1 | <1 | 1.7×10 | | | |
| 1A 23A | | | | | | | | | | | | | | | | | | | | | |
| 1A 24A | 25.3 | 7.36* | | 2.63 | | | | <1 ×10 ⁻³ | 4.1 ×10 ⁻³ | <1 ×10 ⁻³ | 8.3 ×10 ⁻¹ | 1.3 ×10 ⁻² | 5.9 ×10 ⁻³ | 1.5 ×10 ⁻¹ | 2.1 ×10 ⁻¹ | 2.1 ×10 ⁻¹ | 2.5 ×10 ⁻³ | <1 ×10 ⁻³ | 1.4 | | |
| 1A 25A | | | | | | | | <1 ×10 ⁻³ | 2.5 ×10 ⁻³ | <1 ×10 ⁻³ | 1.9 ×10 ⁻¹ | 4.6 ×10 ⁻³ | 6.8 ×10 ⁻³ | 2.2 ×10 ⁻¹ | 5.5 ×10 ⁻² | 5.5 ×10 ⁻² | <1 ×10 ⁻³ | <1 ×10 ⁻³ | 5.4 ×10 ⁻¹ | | |
| 1A 27A | | | | | | | | <1 ×10 ⁻³ | 2.1 ×10 ⁻³ | <1 ×10 ⁻³ | 7.8 ×10 ⁻² | 5.0 ×10 ⁻³ | 1.9 ×10 ⁻³ | 6.0 ×10 ⁻² | 3.6 ×10 ⁻² | 3.6 ×10 ⁻² | <1 ×10 ⁻³ | <1 ×10 ⁻³ | 2.2 ×10 ⁻¹ | | |
| 1A 29A | | | | | | | | <1 ×10 ⁻³ | 2.66 | | | | | | | | | | | | |
| 1A 30A | 22.7 | 5.15 | | | | | | <1 ×10 ⁻³ | <1 ×10 ⁻³ | <1 ×10 ⁻³ | 3.1 ×10 ⁻² | 1.9 ×10 ⁻³ | 2.2 ×10 ⁻³ | 7.4 ×10 ⁻² | 4.2 ×10 ⁻³ | 4.2 ×10 ⁻³ | <1 ×10 ⁻³ | <1 ×10 ⁻³ | 1.2 ×10 ⁻¹ | | |
| 1A 31A | | | | | | | | <1 ×10 ⁻³ | <1 ×10 ⁻³ | <1 ×10 ⁻³ | 2.2 ×10 ⁻² | 2.9 ×10 ⁻³ | 1.9 ×10 ⁻³ | 6.3 ×10 ⁻² | 3.5 ×10 ⁻² | 3.5 ×10 ⁻² | <1 ×10 ⁻³ | <1 ×10 ⁻³ | 1.6 ×10 ⁻¹ | | |
| 1A 33A | | | | | | | | | | | | | | | | | | | | | |
| 1A 34A | 174 | 3.19 | | 2.35 | | | | | | | | | | | | | | | | | |
| 1A 35A | | | | | | | | <1 ×10 ⁻³ | <1 ×10 ⁻³ | <1 ×10 ⁻³ | 3.9 ×10 ⁻² | 1.0 ×10 ⁻² | 4.9 ×10 ⁻³ | 2.0 ×10 ⁻¹ | 8.1 ×10 ⁻² | 8.1 ×10 ⁻² | <1 ×10 ⁻³ | <1 ×10 ⁻³ | 4.1 ×10 ⁻¹ | | |
| プロット記号 | ● Aq | ▲ Aq | ■ Aq | ○ org | △ org | □ org | | | | | | | | | | | | ▲ | ■ | ◆ | ● |

表4.6.4 共除染・分配工程の分析結果(5)

| サンプル名称 | 湿式分析 (g/ℓ , $\text{II}^+ : \text{mol}\delta/\ell$) | | | | | | 放射能分析 (mcCi/ ℓ) | | | | | | その他 | | 備考 | | |
|--------------|---|---------------|--------|-------|-----|-----|-----------------------|----------------------|----------------------|----------------------|----------------------|----------------------|----------------------|----------------------|----------------------|-------------------|-----------------|
| | U | Pu | Pu III | Pu IV | HAN | HDZ | ^{95}Nb | ^{103}Ru | ^{106}Ru | ^{125}Sb | ^{134}Cs | ^{144}Ce | ^{144}Pr | ^{154}Eu | ^{156}Eu | Total γ | |
| 1A 04 φ - 10 | | | | | | | < 1 | < 1 | 1.7×10^2 | < 1 | 1.8 | 3.0×10 | 2.8×10^2 | 1.7 | 2.6×10 | 8.0×10^2 | |
| 1A 05 φ | < 0.03 $\times 10^{-3}$ | 0.12 | | 0.63 | | | | | | | | | | | | | |
| 1A 06 φ | < 0.03 $\times 10^{-3}$ | 0.36 | | 0.68 | | | | | | | | | | | | | |
| 1A 07 φ | | | | | | | < 1 | < 1 | 1.4×10^2 | < 1 | < 1 | 2.0×10^2 | 2.0×10^2 | 2.0 | 3.0×10 | 5.7×10^2 | |
| 1A 08 φ | < 0.03 $\times 10^{-3}$ | 1.24 | | 0.71 | | | | | | | | | | | | | |
| 1A 09 φ | < 0.03 $\times 10^{-3}$ | 1.88 | | 0.67 | | | | | | | | | | | | | |
| 1A 10 φ | | | | | | | < 1 | < 1 | 1.3×10^2 | < 1 | < 1 | 1.9×10^2 | 1.9×10^2 | 1.9 | 2.8×10 | 5.4×10^2 | |
| 1A 11 φ | < 0.03 $\times 10^{-3}$ | 11.0 | | 0.69 | | | | | | | | | | | | | |
| 1A 12 φ | < 0.03 $\times 10^{-3}$ | 23.4 | | 0.70 | | | | | | | | | | | | | |
| 1A 13 φ | | | | | | | < 1 | < 1 | 1.2×10^2 | < 1 | < 1 | 1.7×10^2 | 1.7×10^2 | 1.8 | 2.6×10 | 4.8×10^2 | |
| 1A 15 φ | 0.14 | 1.00 | | 0.67 | | | | | | | | | | | | | |
| 1A 16 φ | | | | | | | < 1 | < 1 | 1.3×10^2 | < 1 | < 1 | 1.3×10^2 | 1.3×10^2 | 1.3 | 2.0×10 | 4.1×10^2 | |
| 1A 18 φ | 68.1 | 9.67 | | 0.28 | | | | | | | | | | | | | |
| 1A 19 φ | | | | | | | 2.2×10^{-1} | 2.7×10^{-1} | $< 1 \times 10^{-1}$ | 5.7×10^{-2} | 1.6×10^{-2} | 2.9×10^{-2} | 6.5×10^{-4} | 6.5×10^{-4} | 1.2×10^{-1} | 1.4 | 2.9×10 |
| 1A 20 φ | 83.8 | | | 0.23 | | | | | | | | | | | | | |
| プロット記号 | ● Aq ○ org | ▲ Aq △ org | | | ○ | ● | □ | △ | ⊗ | ■ | □ | ▲ | ● | ■ | ● | | |

表4.6.4 共除染・分配工程の分析結果(6)

| サンプル名称 | 選式分析 (g/ℓ , $\text{II}^+ : \text{mol}/\ell$) | | | | | | | | | | 放射能分析 (mci/ℓ) | | | | | | その他備考 | | |
|--------------|--|------|--------|-------|-----------------|-----|-----|----------------------|----------------------|---------------------|-----------------------------|---------------------|----------------------|----------------------|----------------------|---------------------|---------------------|----------------------|--|
| | U | Pu | Pu III | Pu IV | II ⁺ | HAN | HDZ | ⁹⁵ Zr | ⁹⁵ Nb | ¹⁰³ Ru | ¹⁰⁶ Ru | ¹²⁵ Sb | ¹³⁷ Cs | ¹³⁷ Cs | ¹⁴⁴ Pr | ¹⁵⁴ Eu | ¹⁵⁵ Eu | Total r | |
| 1A 21 φ - 10 | | | | | | | | 1.5×10^{-3} | 3.2×10^{-3} | $<1 \times 10^{-3}$ | 9.3×10^{-1} | $<1 \times 10^{-3}$ | 2.8×10^{-3} | $<1 \times 10^{-3}$ | $<1 \times 10^{-3}$ | $<1 \times 10^{-3}$ | $<1 \times 10^{-3}$ | 9.4 $\times 10^{-1}$ | |
| 1A 23 φ | | | | | | | | $<1 \times 10^{-3}$ | 1.2×10^{-3} | $<1 \times 10^{-3}$ | 9.7×10^{-2} | $<1 \times 10^{-3}$ | 2.7×10^{-3} | $<1 \times 10^{-3}$ | $<1 \times 10^{-3}$ | $<1 \times 10^{-3}$ | $<1 \times 10^{-3}$ | 1.1 $\times 10^{-1}$ | |
| 1A 24 φ | 84.3 | 9.29 | | | 0.21 | | | | | | | | | | | | | | |
| 1A 25 φ | | | | | | | | $<1 \times 10^{-3}$ | 1.4×10^{-3} | $<1 \times 10^{-3}$ | 4.8×10^{-2} | $<1 \times 10^{-3}$ | 4.0×10^{-3} | $<1 \times 10^{-3}$ | $<1 \times 10^{-3}$ | $<1 \times 10^{-3}$ | $<1 \times 10^{-3}$ | 5.3 $\times 10^{-2}$ | |
| 1A 27 φ | | | | | | | | $<1 \times 10^{-3}$ | 1.1×10^{-3} | $<1 \times 10^{-3}$ | 1.7×10^{-2} | $<1 \times 10^{-3}$ | $<1 \times 10^{-3}$ | $<1 \times 10^{-3}$ | $<1 \times 10^{-3}$ | $<1 \times 10^{-3}$ | $<1 \times 10^{-3}$ | 1.9 $\times 10^{-2}$ | |
| 1A 29 φ | | | | | | | | $<1 \times 10^{-3}$ | $<1 \times 10^{-3}$ | $<1 \times 10^{-3}$ | 1.2×10^{-2} | $<1 \times 10^{-3}$ | 1.2×10^{-3} | 1.2×10^{-3} | 1.4×10^{-2} | $<1 \times 10^{-3}$ | $<1 \times 10^{-3}$ | 4.2 $\times 10^{-2}$ | |
| 1A 30 φ | 86.5 | 7.25 | | | 0.22 | | | | | | | | | | | | | | |
| 1A 31 φ | | | | | | | | $<1 \times 10^{-3}$ | $<1 \times 10^{-3}$ | $<1 \times 10^{-3}$ | 2.4×10^{-2} | $<1 \times 10^{-3}$ | 1.5×10^{-3} | 4.3×10^{-2} | 8.4×10^{-2} | $<1 \times 10^{-3}$ | $<1 \times 10^{-3}$ | 2.4 $\times 10^{-1}$ | |
| 1A 33 φ | | | | | | | | $<1 \times 10^{-3}$ | $<1 \times 10^{-3}$ | $<1 \times 10^{-3}$ | 1.4×10^{-2} | $<1 \times 10^{-3}$ | 1.1×10^{-3} | 5.2×10^{-3} | 6.3×10^{-2} | $<1 \times 10^{-3}$ | $<1 \times 10^{-3}$ | 1.5 $\times 10^{-1}$ | |
| 1A 34 φ | 81.8 | 6.11 | | | 0.23 | | | | | | | | | | | | | | |
| 1A 35 φ | | | | | | | | $<1 \times 10^{-3}$ | $<1 \times 10^{-3}$ | $<1 \times 10^{-3}$ | 1.3×10^{-2} | $<1 \times 10^{-3}$ | 1.9×10^{-3} | 2.9×10^{-2} | 2.9×10^{-2} | $<1 \times 10^{-3}$ | $<1 \times 10^{-3}$ | 9.1 $\times 10^{-2}$ | |
| プロット記号 | ● Aq | ▲ Aq | ○ org | △ org | | | | | | | | | | | | ▲ | ◆ | ■ | |

表 4.6.4 共除染・分配工程の分析結果(7)

| サンプル名称 | 湿式分析 (g/ℓ , H^+ , mol/ℓ) | | | | | | | | | | 放射能分析 (mCi/ℓ) | | | | | | その他備考 | |
|----------|---|--------------------------|--------|-------|-----------------|-----|-----|--------------------------|--------------------------|--------------------------|-----------------------------|--------------------------|---------------------------|---------------------------|---------------------------|--------------------------|---------------------------|---------------------------|
| | U | Pu | Pu III | Pu IV | II ⁺ | HAN | HDZ | ⁹⁵ Zr | ⁹⁵ Nb | ¹⁰³ Ru | ¹⁰⁶ Ru | ¹²⁵ Sb | ¹³⁴ Cs | ¹³⁷ Cs | ¹⁴⁴ Ce | ¹⁴⁴ Pr | ¹⁵⁶ Eu | Total τ |
| 1B1 A-10 | 35.7 | 0.17 $\times 10^{-3}$ | | | 0.05 | | | | | | | | | | | | | |
| 1B2 A | | | | | | | | <1 $\times 10^{-3}$ | <1 $\times 10^{-3}$ | <1 $\times 10^{-3}$ | 7.3 $\times 10^{-3}$ | <1 $\times 10^{-3}$ | 1.1 $\times 10^{-3}$ | 1.4 $\times 10^{-2}$ | 1.5 $\times 10^{-2}$ | <1 $\times 10^{-3}$ | 1.1 $\times 10^{-3}$ | 5.4 $\times 10^{-2}$ |
| 1B5 A | | | | | | | | <1 $\times 10^{-3}$ | <1 $\times 10^{-3}$ | <1 $\times 10^{-3}$ | 5.6 $\times 10^{-3}$ | <1 $\times 10^{-3}$ | 1.1 $\times 10^{-3}$ | 1.6 $\times 10^{-2}$ | <1 $\times 10^{-2}$ | <1 $\times 10^{-3}$ | 5.0 $\times 10^{-2}$ | |
| 1B6 A | 0.55 $\times 10^{-3}$ | | | | 0.05 | | | | | | | | | | | | | |
| 1B10 A | | | | | | | | <1 $\times 10^{-3}$ | <1 $\times 10^{-3}$ | <1 $\times 10^{-3}$ | 4.7 $\times 10^{-3}$ | <1 $\times 10^{-3}$ | 8.7 $\times 10^{-3}$ | 5.4 $\times 10^{-3}$ | 5.4 $\times 10^{-3}$ | <1 $\times 10^{-3}$ | <1 $\times 10^{-3}$ | 2.5 $\times 10^{-2}$ |
| 1B11A | <0.03 $\times 10^{-3}$ | | | | 0.05 | | | | | | | | | | | | | |
| 1B15 A | | | | | | | | <1 $\times 10^{-3}$ | <1 $\times 10^{-3}$ | <1 $\times 10^{-3}$ | 3.2 $\times 10^{-3}$ | <1 $\times 10^{-3}$ | 7.5 $\times 10^{-3}$ | 5.2 $\times 10^{-3}$ | 5.2 $\times 10^{-3}$ | <1 $\times 10^{-3}$ | <1 $\times 10^{-3}$ | 2.2 $\times 10^{-2}$ |
| 1B16 A | <0.03 $\times 10^{-3}$ | 0.16 $\times 10^{-3}$ | | | 0.05 | | | | | | | | | | | | | |
| プロット記号 | ● Aq | ▲ Aq | ■ Aq | ○ org | △ org | | | | | | | | | | | | ◆ | ● |

表4.6.4 共除染・分配工程の分析結果(8)

| サンプル名称 | 湿式分析 (g/ℓ , $\text{II}^+ : \text{mol}/\ell$) | | | | | | | | | | | | 放射能分析 (mci/ ℓ) | | | | | | | その他備考 | |
|----------|--|---------------------------|-------|-------|-----------------|-----|-----|-------------------------|-------------------------|--------------------------|-------------------------|-------------------------|--------------------------|--------------------------|--------------------------|-------------------------|-------------------------|-------------------------|--------------------------|-------|---|
| | U | Pu | PuIII | PuIV | II ⁺ | HAN | HDZ | ⁹⁵ Zr | ⁹⁵ Nb | ¹⁰³ Ru | ¹⁰⁶ Ru | ¹²⁵ Sb | ¹³⁴ Cs | ¹³⁷ Cs | ¹⁴⁴ Ce | ¹⁴⁴ Pr | ¹⁵⁴ Eu | ¹⁶⁶ Dy | Total r | | |
| 1B1 φ-10 | 25.1 | 0.18 ×10 ⁻³ | | 0.07 | | | | | | | | | | | | | | | | | |
| 1B2 φ | | | | | | | | <1 ×10 ⁻³ | <1 ×10 ⁻³ | 6.6 ×10 ⁻³ | <1 ×10 ⁻³ | <1 ×10 ⁻³ | 8.6 ×10 ⁻³ | 7.2 ×10 ⁻³ | 7.2 ×10 ⁻³ | <1 ×10 ⁻³ | <1 ×10 ⁻³ | <1 ×10 ⁻³ | 3.1 ×10 ⁻² | | |
| 1B5 φ | | | | | | | | <1 ×10 ⁻³ | <1 ×10 ⁻³ | 8.0 ×10 ⁻³ | <1 ×10 ⁻³ | <1 ×10 ⁻³ | 5.9 ×10 ⁻³ | 5.9 ×10 ⁻³ | 5.9 ×10 ⁻³ | <1 ×10 ⁻³ | <1 ×10 ⁻³ | <1 ×10 ⁻³ | 2.6 ×10 ⁻² | | |
| 1B6 φ | 0.16 | 試料なし | | <0.01 | | | | | | | | | | | | | | | | | |
| 1B10 φ | | | | | | | | <1 ×10 ⁻³ | <1 ×10 ⁻³ | 1.0 ×10 ⁻³ | <1 ×10 ⁻³ | <1 ×10 ⁻³ | 7.6 ×10 ⁻³ | 4.2 ×10 ⁻³ | 4.2 ×10 ⁻³ | <1 ×10 ⁻³ | <1 ×10 ⁻³ | <1 ×10 ⁻³ | 2.8 ×10 ⁻² | | |
| 1B11 φ | <0.03 | 試料なし | | <0.01 | | | | | | | | | | | | | | | | | |
| 1B15 φ | | | | | | | | <1 ×10 ⁻³ | <1 ×10 ⁻³ | 1.0 ×10 ⁻² | <1 ×10 ⁻³ | <1 ×10 ⁻³ | 6.9 ×10 ⁻³ | 5.6 ×10 ⁻³ | 5.6 ×10 ⁻³ | <1 ×10 ⁻³ | <1 ×10 ⁻³ | <1 ×10 ⁻³ | 3.0 ×10 ⁻² | | |
| 1B16 φ | <0.03 | 試料なし | | <0.01 | | | | | | | | | | | | | | | | | |
| プロット記号 | | | | | | | | | | | | | | | | | | | | | |
| | ● Aq | ▲ Aq | ○ org | △ org | | | | | | | | | | | | | ⊗ | ■ | □ | ▲ | ● |

表4.6.4 共除染・分配工程の分析結果(9)

| サンプル名称 | 湿式分析 (g/ℓ , $\text{II}^+ : \text{mol}/\ell$) | | | | | | | | | | 放射能分析 (mci/ ℓ) | | | | | | その他備考 | | |
|-----------|--|------------------------|--------|-------|-----------------|-----|-----|---------------------|----------------------|----------------------|----------------------|----------------------|----------------------|----------------------|----------------------|----------------------|---------------------|----------------------|----------------------|
| | U | Pu | Pu III | Pu IV | II ⁺ | HAN | HDZ | ⁹⁵ Nb | ¹⁰³ Ru | ¹⁰⁶ Ru | ¹²⁵ Sb | ¹³⁴ Cs | ¹³⁷ Cs | ¹⁴⁴ Ce | ¹⁴⁴ Pr | ¹⁵⁴ Eu | ¹⁵⁵ Eu | Total r | |
| 1C 1 A-10 | 7.47 | 8.82 | | | 1.89 | | | | | | | | | | | | | | |
| 1C 2 A | | | | | | | | $<1 \times 10^{-3}$ | $<1 \times 10^{-3}$ | 2.3×10^{-2} | 2.0×10^{-3} | 1.0×10^{-3} | 1.9×10^{-2} | 2.8×10^{-2} | 2.8×10^{-2} | $<1 \times 10^{-3}$ | $<1 \times 10^{-3}$ | 1.0×10^{-1} | |
| 1C 3 A | 65.8 | 9.98 | | | 1.31 | | | | | | | | | | | | | | |
| 1C 4 A | | | | | | | | $<1 \times 10^{-3}$ | 1.1×10^{-3} | 2.5×10^{-2} | 2.4×10^{-3} | $<1 \times 10^{-3}$ | 1.7×10^{-2} | 3.7×10^{-2} | 3.7×10^{-2} | $<1 \times 10^{-3}$ | $<1 \times 10^{-3}$ | 1.2×10^{-1} | |
| 1C 6 A | 70.0 | 8.72 | | | 0.40 | | | | | | | | | | | | | | |
| 1C 7 A | | | | | | | | $<1 \times 10^{-3}$ | 2.4×10^{-3} | $<1 \times 10^{-3}$ | 3.3×10^{-2} | 2.7×10^{-2} | $<1 \times 10^{-3}$ | 8.1×10^{-3} | 6.3×10^{-3} | 6.3×10^{-3} | $<1 \times 10^{-3}$ | $<1 \times 10^{-3}$ | 8.4×10^{-2} |
| 1C 10 A | 68.4 | 1.6×10^{-3} | | | 0.13 | | | | | | | | | | | | | | |
| 1C 11 A | | | | | | | | $<1 \times 10^{-3}$ | $<1 \times 10^{-3}$ | 9.4×10^{-3} | 2.9×10^{-3} | $<1 \times 10^{-3}$ | 4.8×10^{-3} | 5.9×10^{-3} | 5.9×10^{-3} | $<1 \times 10^{-3}$ | $<1 \times 10^{-3}$ | 3.0×10^{-2} | |
| 1C 14 A | 55.2 | $<0.05 \times 10^{-3}$ | | | 0.15 | | | | | | | | | | | | | | |
| 1C 18 A | | | | | | | | $<1 \times 10^{-3}$ | $<1 \times 10^{-3}$ | 6.4×10^{-3} | 1.5×10^{-3} | $<1 \times 10^{-3}$ | 4.3×10^{-3} | 2.4×10^{-3} | 2.4×10^{-3} | $<1 \times 10^{-3}$ | $<1 \times 10^{-3}$ | 1.8×10^{-2} | |
| 1C 19 A | 19.8 | 0.11×10^{-3} | | | 0.16 | | | | | | | | | | | | | | |
| プロット記号 | ● Aq | ▲ Aq | ■ Aq | ○ org | △ org | ○ | ● | □ | △ | ⊗ | ■ | □ | ▲ | ● | □ | ● | | | |

表 4.6.4 共除染・分配工程の分析結果 [10]

| サンプル名称 | 湿式分析 (g/ℓ , $\text{II}^+ : \text{mol}/\ell$) | | | | | | 放射能分析 (mci/ ℓ) | | | | | | その他 | | | 備考 | | |
|------------|---|-----------------------|--------|-------|-----------------|-----|----------------------|---------------------|---------------------|----------------------|----------------------|----------------------|----------------------|----------------------|---------------------|----------------------|----------------------|-----------|
| | U | Pu | Pu III | Pu IV | II ⁺ | HAN | HDZ | ⁹⁵ Nb | ¹⁰³ Ru | ¹⁰⁶ Ru | ¹²⁵ Sb | ¹³⁴ Cs | ¹³⁷ Cs | ¹⁴⁴ Ce | ¹⁴⁴ Pr | ¹⁵⁴ Eu | ¹⁵⁵ Eu | Total r |
| 1C 1 φ -10 | 81.8 | 1.17 | | | 0.25 | | | | | | | | | | | | | |
| 1C 2 φ | | | | | | | | $<1 \times 10^{-3}$ | $<1 \times 10^{-3}$ | 4.7×10^{-3} | $<1 \times 10^{-3}$ | 3.6×10^{-3} | 4.4×10^{-3} | $<1 \times 10^{-3}$ | $<1 \times 10^{-3}$ | $<1 \times 10^{-3}$ | 1.8×10^{-2} | |
| 1C 3 φ | 11.4 | 0.45 | | | 0.07 | | | | | | | | | | | | | |
| 1C 4 φ | | | | | | | | $<1 \times 10^{-3}$ | $<1 \times 10^{-3}$ | 5.4×10^{-3} | $<1 \times 10^{-3}$ | 5.9×10^{-3} | 1.1×10^{-2} | $<1 \times 10^{-2}$ | $<1 \times 10^{-3}$ | $<1 \times 10^{-3}$ | 3.4×10^{-2} | |
| 1C 6 φ | 11.5 | 0.33 | | | 0.03 | | | | | | | | | | | | | |
| 1C 7 φ | | | | | | | | $<1 \times 10^{-3}$ | $<1 \times 10^{-3}$ | 1.0×10^{-2} | 1.5×10^{-3} | $<1 \times 10^{-3}$ | 4.7×10^{-3} | 6.0×10^{-3} | $<1 \times 10^{-3}$ | $<1 \times 10^{-3}$ | 2.9×10^{-2} | |
| 1C 10 φ | 97.6 | 0.22×10^{-3} | | | 0.02 | | | | | | | | | | | | | |
| 1C 11 φ | | | | | | | | $<1 \times 10^{-3}$ | $<1 \times 10^{-3}$ | 8.3×10^{-3} | $<1 \times 10^{-3}$ | 4.0×10^{-3} | 1.0×10^{-2} | $<1 \times 10^{-2}$ | $<1 \times 10^{-3}$ | 1.8×10^{-3} | 3.5×10^{-2} | |
| 1C 14 φ | 83.7 | 0.32×10^{-3} | | | 0.03 | | | | | | | | | | | | | |
| 1C 18 φ | | | | | | | | | | | | | | | | | | |
| 1C 19 φ | 40.5 | 0.63×10^{-3} | | | 0.08 | | | | | | | | | | | | | |
| プロット記号 | ● Aq | ▲ Aq | ■ Aq | ○ org | △ org | | | ○ | ● | □ | △ | ⊗ | ■ | □ | ▲ | ● | ● | |

表 4.6.5 共除染・分配工程における除染係数
Decontamination factor in 1st cycle

| 元 素 | [FP] 1AF (mCi/ℓ) | [FP] 1BU (mCi/ℓ) | 除 染 係 数 (DF) |
|-------------------|---------------------|----------------------|----------------------|
| ⁹⁵ Zr | 6.76 | < 1×10^{-3} | $> 1.89 \times 10^3$ |
| ⁹⁵ Nd | 7.00 | < 1×10^{-3} | $> 1.95 \times 10^3$ |
| ¹⁰⁶ Ru | 1.3×10^3 | 4.1×10^{-3} | 8.85×10^4 |
| ¹³⁷ Cs | 2.9×10^3 | 1.6×10^{-2} | 5.05×10^4 |
| Total - r | 1.6×10^4 | 4.7×10^{-2} | 9.50×10^4 |

$$[U + Pu] \quad 1AF = 95.44 \text{ g/ℓ}$$

$$[U + Pu] \quad 1BU = 26.65 \text{ g/ℓ}$$

表 4.6.6 U・Pu ロス率
Loss rate of U and Pu

| | Pu | U |
|---------------------------------------|------|--------|
| Loss into aqueous Phase (1 AW) (%) | 0.07 | < 0.05 |
| Loss into organic Phase (1 BW) (%) | 0.01 | < 0.06 |

表 4.7.1 精製工程 フィード液組成
 Composition of feed solution in
 purification process

| 組 成 | 濃 度 | |
|---------------------------------------|----------------------|-------|
| U | 4.33 | g/l |
| Pu | 4.69 | g/l |
| HNO ₃ | 3.1 | mo l |
| ⁹⁵ Zr | $< 1 \times 10^{-3}$ | mCi/l |
| ⁹⁵ Nd | $< 1 \times 10^{-3}$ | mCi/l |
| ¹⁰⁶ Ru | 1.4×10^{-1} | mCi/l |
| ¹²⁵ Sb | 1.6×10^{-3} | mCi/l |
| ¹³⁴ Cs | 1.8×10^{-3} | mCi/l |
| ¹³⁷ Cs | 6.2×10^{-2} | mCi/l |
| ¹⁴⁴ Ce - ¹⁴⁴ Pr | 2.5×10^{-2} | mCi/l |
| ¹⁵⁴ Eu | $< 1 \times 10^{-3}$ | mCi/l |
| ¹⁵⁵ Eu | $< 1 \times 10^{-3}$ | mCi/l |
| Total - r | 2.0×10^{-1} | mCi/l |

表 4.7.2 ミキサ・セトラ運転記録 (1)
Operating records of mixer-settler

[Pu 精製工程 ポンプ流量監視記録]

61年9月1日

| 時刻 | 5AX供給 Pu-1638 ml/hr | 5AS供給 Pu-1632 ml/hr | 5BX供給 Pu-1639 ml/hr | 5BN供給 Pu-1631 ml/hr | 5BS供給 Pu-1634 ml/hr | 5AF供給 Pu-1351 ml/hr | 備考 |
|-------|---------------------------|---------------------------|---------------------------|---------------------------|---------------------------|---------------------------|---------------|
| 9/1 | 110 | 30 | 60 | 18 | 120 | 320 | ←規定流量 |
| 10:30 | 110 | 31.15 | 60.3 | 19.1 | 119.3 | 248 | フィード開始 10:30 |
| 11:30 | 110 | 33.16 | 60.0 | 19.0 | 119.3 | — | フィード停止 11:50 |
| 13:15 | 109.6 | 30.23 | 60.0 | 19.0 | 120.7 | 275 | フィード開始 13:15 |
| 14:15 | 109.1 | 31.98 | 60.0 | 18.6 | 119.3 | — | |
| 15:15 | 110.0 | 32.12 | 60.0 | 18.7 | 118.7 | — | |
| 16:15 | 109.6 | 33.47 | 59.3 | 18.7 | 120.7 | — | フィード終了 16:55 |
| 9/2 | — | — | — | — | — | — | |
| 9:40 | 106.3 | 31.15 | 57.1 | 18.8 | 113.1 | 321 | フィード開始 9:40 |
| 10:40 | 108.6 | 30.75 | 48.6 | 18.8 | 122.0 | — | |
| 11:40 | 109.6 | 31.98 | 66.3 | 18.8 | 120.7 | — | フィード停止 11:40 |
| 13:30 | 109.6 | 31.29 | 77.1 | 18.7 | 123.4 | 321 | フィード開始 13:30 |
| 14:30 | 109.6 | 28.67 | 61 | 18.8 | 122.7 | — | |
| 15:30 | 109.6 | 32.12 | 59.0 | 18.8 | 126.3 | — | |
| 16:30 | 109.6 | 32.71 | 60.3 | 18.8 | 124.8 | — | フィード停止 |
| 9/3 | — | — | — | — | — | — | |
| 9:55 | 106.3 | 26.75 | 57.4 | 18.7 | 105.9 | 324 | 9:40 フィードスタート |
| 10:40 | 114.0 | 30.62 | 62.4 | 18.8 | 116.7 | — | |
| 11:40 | 112.5 | 32.86 | 63.9 | 18.8 | 124.1 | — | フィード停止 |
| 13:30 | 112.5 | 29.01 | 49.5 | 18.7 | 132.5 | 324 | フィードスタート |
| 14:30 | 113.0 | 29.73 | 58.4 | 18.7 | 127.8 | — | |
| 15:30 | 112.5 | 28.67 | 57.8 | 18.8 | 127.1 | — | |
| 16:30 | 112.5 | 29.73 | 57.4 | 18.8 | 127.1 | — | 停止 |
| | | | | | | | |
| | | | | | | | |
| | | | | | | | |
| | | | | | | | |
| | | | | | | | |

表 4.7.2 ミキサ・セトラ運転記録 (2)
Operating records of mixer-settler

[Pu 精製工程 ポンプ流量監視記録]

61年9月4日

表 4.7.3 ミキサ・セトラ監視記録 (1)
Monitoring records of mixer-settler

[Pu 精製工程 槽液位監視記録]

61年9月1日

| 時 刻 | 5AW 調整槽 VE-1351 | | 5AW 抽残液槽 VE-1352 | | 5BP 逆抽液槽 ポリタン | | 5BW 廃溶媒槽 ポリタン | | 備 考 |
|-------|--------------------|----------|---------------------|----------|------------------|----------|------------------|----------|---------------|
| | 液 位 mm | 液 量 ℓ | 液 位 mm | 液 量 ℓ | 液 位 mm | 液 量 ℓ | 液 位 mm | 液 量 ℓ | |
| 9/1 | | | | | | | | | |
| 10:30 | 212 | 5.97 | 72 | | | 0 | | 0 | フィード開始 10:30 |
| 11:30 | 203 | 5.70 | 73 | | | 0.1 | | 0.2 | フィード停止 11:50 |
| 13:15 | 200 | 5.61 | 73 | | | 0.15 | | 0.25 | フィード開始 13:15 |
| 14:15 | 190 | 5.30 | 73 | | | 0.25 | | 0.4 | |
| 15:15 | 178 | 4.94 | 78 | | | 0.4 | | 0.55 | |
| 16:15 | 167 | 4.61 | 85 | 3.42 | | 0.5 | | 0.75 | |
| 16:55 | 160 | 4.39 | 90 | 3.65 | | 0.6 | | 0.9 | フィード停止 16:55 |
| 9/2 | | | | | | | | | |
| 9:35 | 160 | 4.39 | 90 | 3.65 | | 0.6 | | 0.9 | フィード開始 9:40 |
| 10:40 | 150 | 4.09 | 95 | 3.89 | | 0.75 | | 1.0 | |
| 11:40 | 140 | 3.79 | 103 | 4.27 | | 0.9 | | 1.2 | フィード停止 11:40 |
| 13:30 | 140 | 3.79 | 103 | 4.27 | | 0.9 | | 1.2 | フィード開始 13:30 |
| 14:30 | 130 | 3.48 | 110 | 4.61 | | 1.05 | | 1.3 | |
| 15:30 | 118 | 3.12 | 119 | 5.04 | | 1.25 | | 1.5 | |
| 16:30 | 108 | 2.82 | 127 | 5.42 | | 1.40 | | 1.7 | フィード停止 |
| 9/3 | | | | | | | | | |
| 9:55 | 105 | 2.72 | 127 | 5.42 | | 1.4 | | 1.7 | 9:40 フィードスタート |
| 10:40 | 95 | 2.42 | 132 | 5.65 | | 1.5 | | 1.8 | |
| 11:40 | 85 | 2.11 | 140 | 6.04 | | 1.6 | | 2.05 | フィード停止 |
| 13:30 | 85 | 2.11 | 140 | 6.04 | | 1.6 | | 2.05 | フィードスタート |
| 14:30 | 76 | 1.85 | 150 | 6.52 | | 1.8 | | 2.2 | |
| 15:30 | 70 | 1.52 | 155 | 6.75 | | 1.95 | | 2.3 | |
| 16:30 | 70 | 1.2 | 162 | 7.09 | | | | | |
| | | | | | | 20.5 | | 2.45 | 停 止 |

表4.7.3 ミキサ・セトラ監視記録 (2)
Monitoring records of mixer-settler

[Pu 精製工程 槽液位監視記錄]

61年9月4日

表4.7.4 精製工程の分析結果
Analytical results of solution
in purification process

| サンプル名 | 湿式分析 ($\text{g}/\ell, \text{II}^+ : \text{mol}/\ell$) | | | | | | | | | | 放射能分析 (mci/ ℓ) | | | | | | | | その他備考 | | | | | |
|---------------|---|-----------------|--------|-------|-----------------|-----|-----|---------------------|---------------------|----------------------|----------------------|----------------------|----------------------|----------------------|----------------------|---------------------|----------------------|----------------------|----------------------|---------------------|---|---|---|--|
| | U | Pu | Pu III | Pu IV | II ⁺ | HAN | HDZ | 95Nb | 95Zr | 103Ru | 106Ru | 125Sb | 134Cs | 137Cs | 144Ce | 144Pr | 154Eu | 155Eu | Total r | | | | | |
| 5 BP01A - 10 | <0.03 | 11.1 | | | | | | <1 $\times 10^{-3}$ | <1 $\times 10^{-3}$ | <1 $\times 10^{-3}$ | <1 $\times 10^{-3}$ | <1 $\times 10^{-3}$ | <1 $\times 10^{-3}$ | <1 $\times 10^{-3}$ | <1 $\times 10^{-3}$ | <1 $\times 10^{-3}$ | <1 $\times 10^{-3}$ | <1 $\times 10^{-3}$ | <1 $\times 10^{-3}$ | <1 $\times 10^{-3}$ | | | | |
| 5 AW01A - 10 | <0.03 | 2.84 | | | | | | <1 $\times 10^{-3}$ | <1 $\times 10^{-3}$ | <1 $\times 10^{-3}$ | 1.3 $\times 10^{-1}$ | 2.8 $\times 10^{-3}$ | <1 $\times 10^{-3}$ | 5.7 $\times 10^{-3}$ | 6.2 $\times 10^{-3}$ | <1 $\times 10^{-2}$ | 2.9 $\times 10^{-3}$ | 2.7 $\times 10^{-1}$ | | | | | | |
| 5 BW01 φ - 10 | 9.12 | 10.1 m | | | | | | <1 $\times 10^{-3}$ | <1 $\times 10^{-3}$ | <1 $\times 10^{-3}$ | <1 $\times 10^{-3}$ | <1 $\times 10^{-3}$ | <1 $\times 10^{-3}$ | <1 $\times 10^{-3}$ | <1 $\times 10^{-3}$ | <1 $\times 10^{-3}$ | <1 $\times 10^{-3}$ | <1 $\times 10^{-3}$ | <1 $\times 10^{-3}$ | <1 $\times 10^{-3}$ | | | | |
| 5 B 1 A - 10 | <0.03 | 7.88 | | | | | | <1 $\times 10^{-3}$ | <1 $\times 10^{-3}$ | <1 $\times 10^{-3}$ | <1 $\times 10^{-3}$ | <1 $\times 10^{-3}$ | <1 $\times 10^{-3}$ | <1 $\times 10^{-3}$ | <1 $\times 10^{-3}$ | <1 $\times 10^{-3}$ | <1 $\times 10^{-3}$ | <1 $\times 10^{-3}$ | <1 $\times 10^{-3}$ | <1 $\times 10^{-3}$ | | | | |
| 5 AW - 10 | <0.03 | 0.49 m | | | | | | <1 $\times 10^{-3}$ | <1 $\times 10^{-3}$ | <1 $\times 10^{-3}$ | 8.3 $\times 10^{-2}$ | 1.9 $\times 10^{-3}$ | <1 $\times 10^{-3}$ | 3.6 $\times 10^{-3}$ | 4.1 $\times 10^{-2}$ | <1 $\times 10^{-3}$ | <1 $\times 10^{-3}$ | <1 $\times 10^{-3}$ | <1 $\times 10^{-3}$ | <1 $\times 10^{-1}$ | | | | |
| 5 BW - 10 | 7.21 | 2.93 m | | | | | | <1 $\times 10^{-3}$ | <1 $\times 10^{-3}$ | <1 $\times 10^{-3}$ | <1 $\times 10^{-3}$ | <1 $\times 10^{-3}$ | <1 $\times 10^{-3}$ | <1 $\times 10^{-3}$ | <1 $\times 10^{-3}$ | <1 $\times 10^{-3}$ | <1 $\times 10^{-3}$ | <1 $\times 10^{-3}$ | <1 $\times 10^{-3}$ | <1 $\times 10^{-3}$ | | | | |
| 5 SP1 - 10 | 4.27 | 23.3 m | | | | | | <1 $\times 10^{-3}$ | <1 $\times 10^{-3}$ | <1 $\times 10^{-3}$ | <1 $\times 10^{-3}$ | <1 $\times 10^{-3}$ | <1 $\times 10^{-3}$ | <1 $\times 10^{-3}$ | <1 $\times 10^{-3}$ | <1 $\times 10^{-3}$ | <1 $\times 10^{-3}$ | <1 $\times 10^{-3}$ | <1 $\times 10^{-3}$ | <1 $\times 10^{-3}$ | | | | |
| 5 SW1 - 10 | <0.01 | 3.51 m | | | | | | <1 $\times 10^{-3}$ | <1 $\times 10^{-3}$ | <1 $\times 10^{-3}$ | <1 $\times 10^{-3}$ | <1 $\times 10^{-3}$ | <1 $\times 10^{-3}$ | <1 $\times 10^{-3}$ | <1 $\times 10^{-3}$ | <1 $\times 10^{-3}$ | <1 $\times 10^{-3}$ | <1 $\times 10^{-3}$ | <1 $\times 10^{-3}$ | <1 $\times 10^{-3}$ | | | | |
| 5 F 0 1 - 10 | 4.33 | 4.69 | | | | | | <1 $\times 10^{-3}$ | <1 $\times 10^{-3}$ | 1.4 $\times 10^{-1}$ | 1.6 $\times 10^{-3}$ | 1.8 $\times 10^{-3}$ | 6.2 $\times 10^{-2}$ | 2.5 $\times 10^{-2}$ | <1 $\times 10^{-2}$ | <1 $\times 10^{-3}$ | <1 $\times 10^{-3}$ | <1 $\times 10^{-3}$ | 2.0 $\times 10^{-1}$ | | | | | |
| アロット記号 | ● Aq | ▲ Aq | ○ org | △ org | | | | | | | | | | | | | | | ■ | □ | △ | ⊗ | ● | |

表 4.8.1 ウラン転換監視記録
Monitoring records of conversion

マイクロ波発振管印加電圧 0.5 V 塗化ケイ素

| 月 日 | 時 間 | 液 量 (ml) | | 蒸 発 量 (ml) | 蒸 発 速 度 (ml/hr) | Total 蒸 発 量 (ml) | 備 考 (min) |
|------------|------------------|-----------|------|---------------|--------------------|------------------------|--------------|
| | | 加熱前 | 加熱後 | | | | |
| 9月16日 | 10:00 ~ 11:30 | 2400 | 900 | 1500 | 1000 | 1500 | 90 |
| " | 13:30 ~ 14:00 | 900 | 400 | 500 | 1000 | 2000 | 30 |
| " | 14:07 ~ 15:37 | 2100 | 800 | 1300 | 867 | 3300 | 90 |
| 9月17日 | 10:00 ~ 11:50 | 3400 | 1500 | 1900 | 1038 | 5200 | 110 |
| " | 13:32 ~ 15:32 | 3000 | 1000 | 2000 | 1333 | 7200 | 90 |
| 9月18日 | 9:47 ~ 11:37 | 2700 | 800 | 1900 | 1036 | 9100 | 110 |
| " | 13:30 ~ 15:00 | 2200 | 700 | 1500 | 1000 | 10600 | 90 |
| " | 16:00 ~ 16:30 | 2500 | 2250 | 250 | 500 | 10850 | 30 |
| 9月26日 | 9:46 ~ 11:26 | 2600 | 1000 | 1600 | 960 | 12450 | 100 |
| " | 13:35 ~ 14:55 | 2200 | 1000 | 1200 | 900 | 13350 | 80 |
| 9月29日 | 10:13 ~ 11:13 | 1700 | 800 | 900 | 900 | 14250 | 60 |
| " | 13:25 ~ 14:50 | 800 | — | 800 | 645 | 15050 | 85(連続) |
| | | | | | | | |
| TOTAL 運転時間 | | 回収ウラン重量 | | 387.56 g | | | |
| 16 時間 05 分 | | 容器重量 + 粉末 | | 536.78 g | | | |
| | | 容器重量 | | 149.22 g | | | |
| | | 粉末 | | g | | | |

炉内照射位置

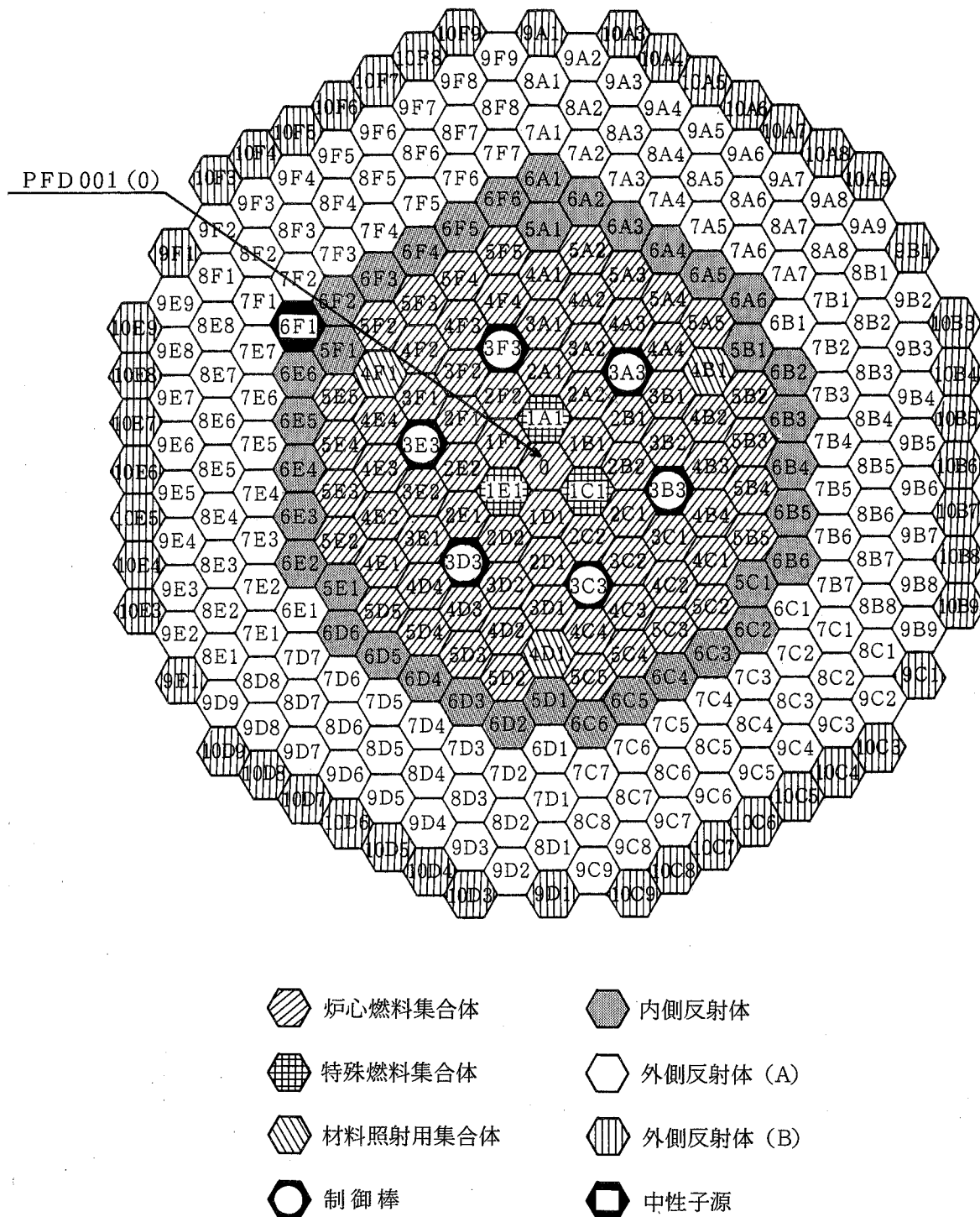


図 3.1 燃料集合体の炉内配置

In-reactor location of subassembly

MK-II 炉心燃料集合体

○ 使用したピン位置

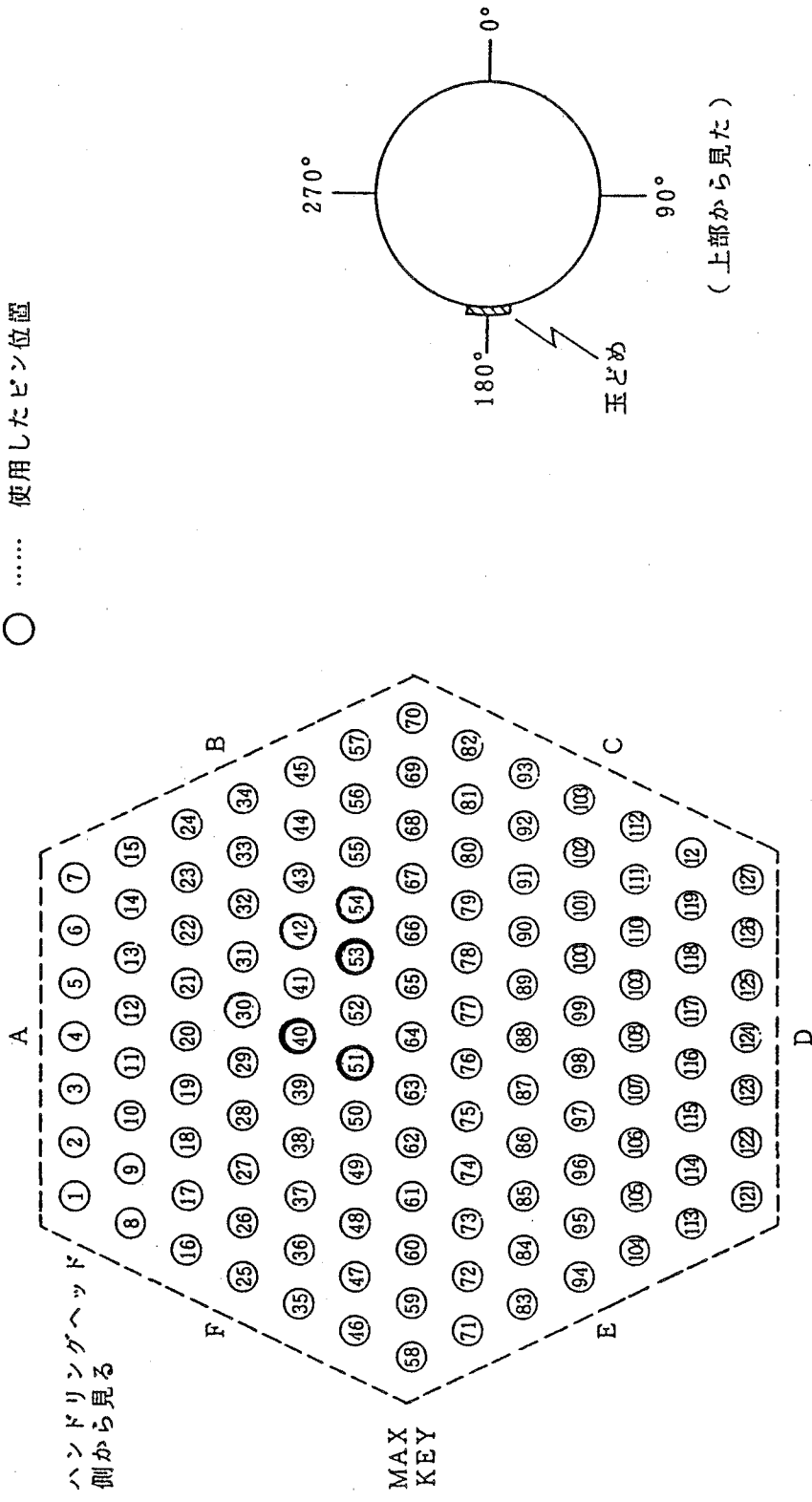
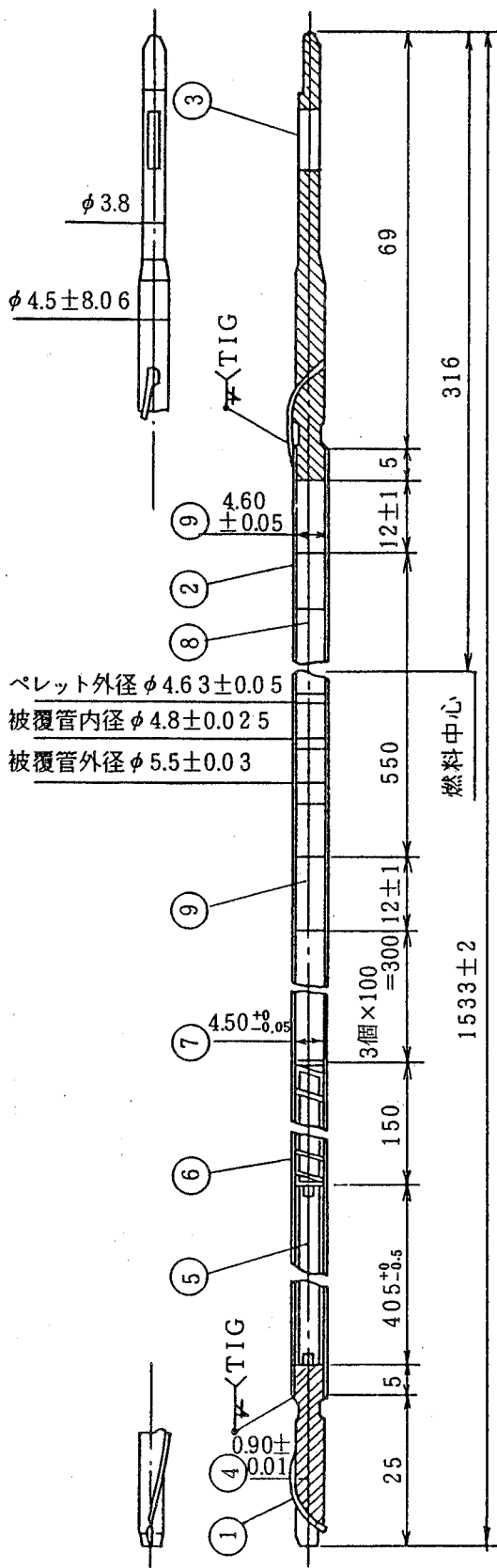


図 3.2 燃料集合体のピン配置
Arrangement of fuel pins in subassembly



| | | | | |
|----|--------------|------------|--------|---|
| 9 | インシュレータペレット | 劣化 | UO_2 | 2 |
| 8 | 燃料ペレット | PuO_2 | UO_2 | |
| 7 | 要素反射体 | SUS316 | 相当 | 3 |
| 6 | プレナムスプリング | SUS304 WPB | | 1 |
| 5 | 抑え板付プレナムスリーブ | SUS316 | | 1 |
| 4 | 上部端栓 | SUS316 | | 1 |
| 3 | 下部端栓 | SUS316 | | 1 |
| 2 | 被覆管 | SUS316 | 相当 | 1 |
| 1 | ラッピングワイヤ | SUS316 | 相当 | 1 |
| 品番 | 品名 | 材質 | 個数 | |

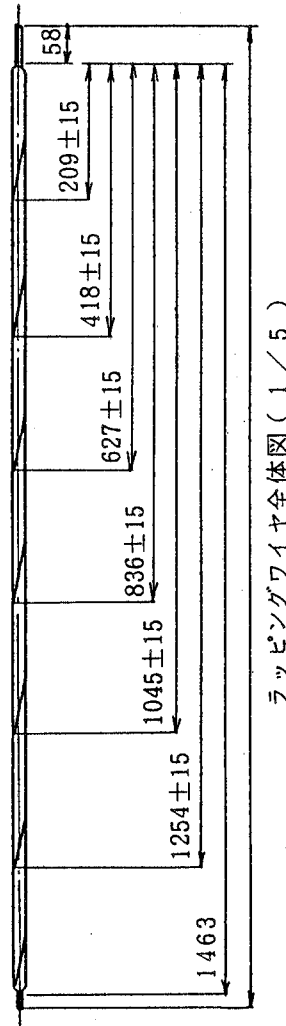


図 4.1.1 燃料ピン
Fuel pin

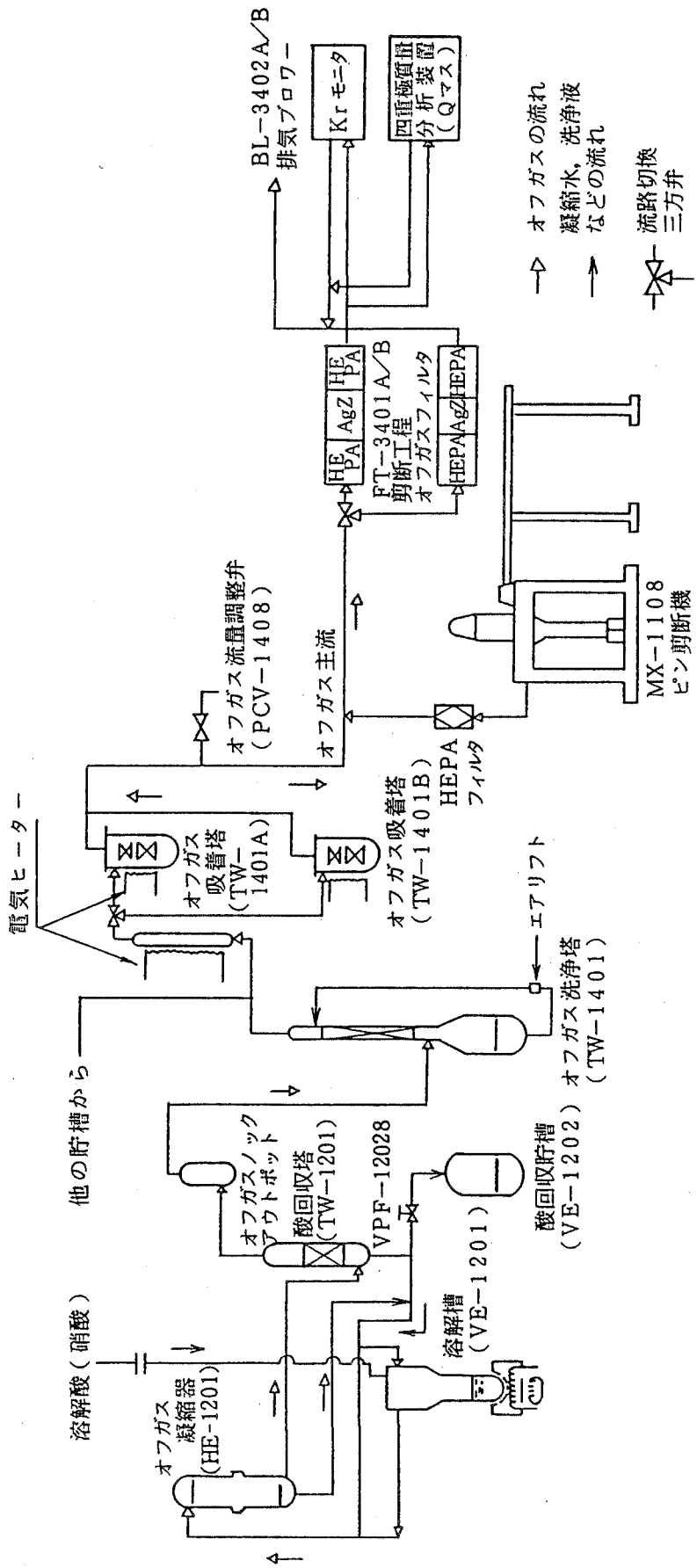


図 4.1.2 剪断溶解オフガス処理系統図
Flow diagram of off gas treatment process
analysis for shearing and dissolving

10 RUN SHEARING
MK-II 00073
310 mCi

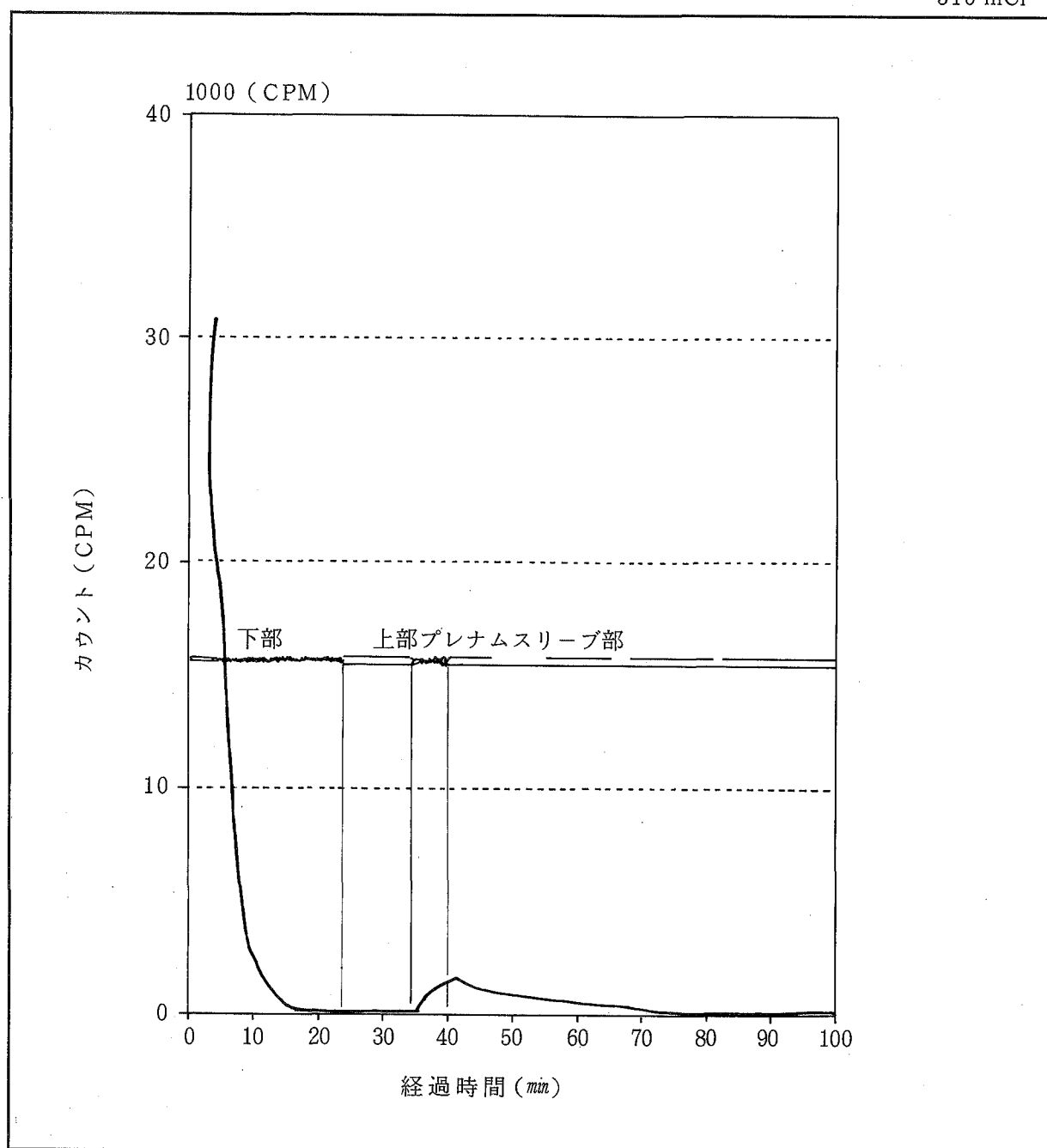


図 4.1.3 剪断時の ^{85}Kr の放出（1本目）
 ^{85}Kr release during shearing (first pin)

10 RUN SHEARING
MK-II 00108
287 mCi

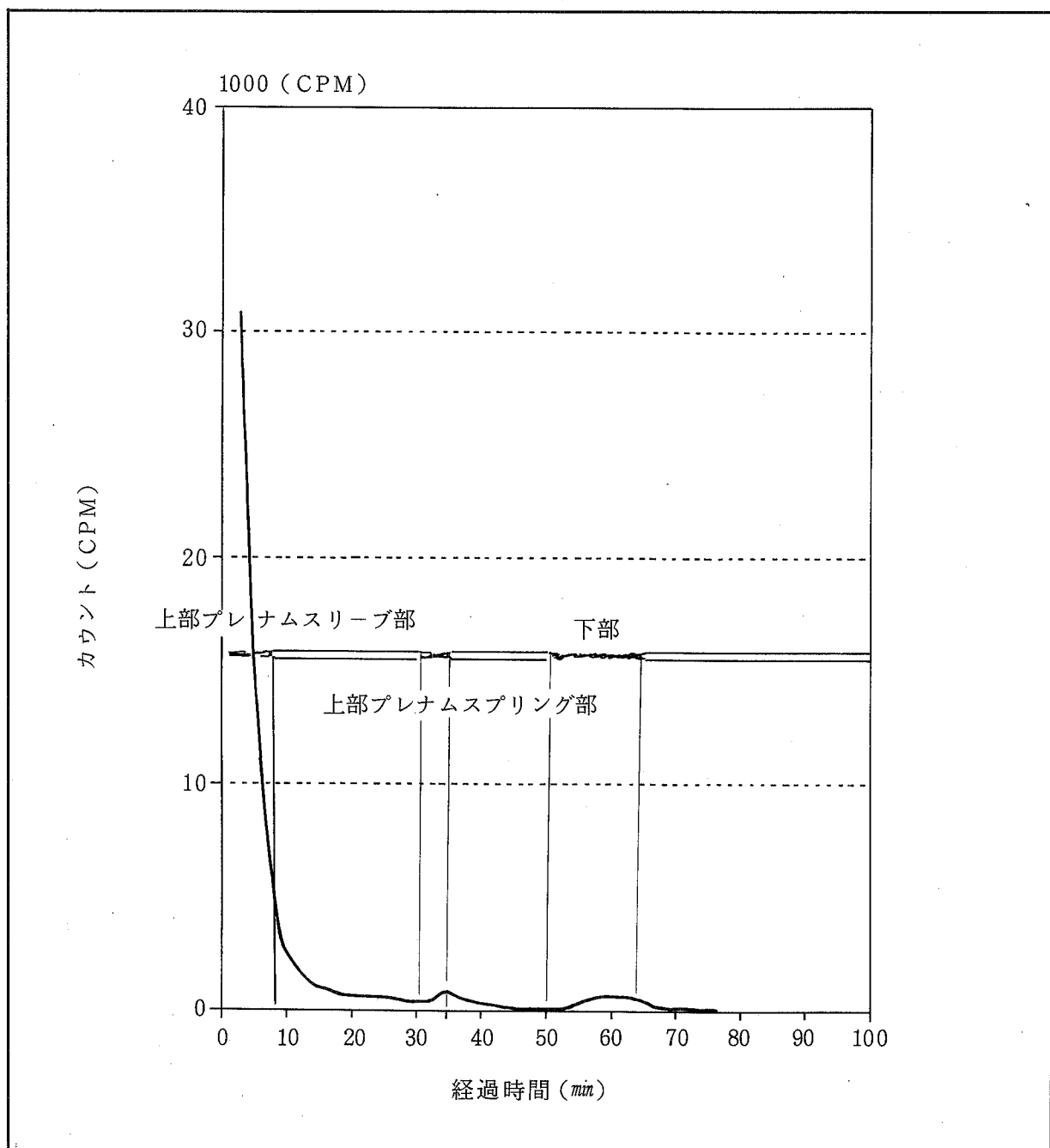


図 4.1.4 剪断時の ^{85}Kr の放出(2本目)

^{85}Kr release during shearing (second pin)

10 RUN SHEARING
MK-II 00057
337 mCi

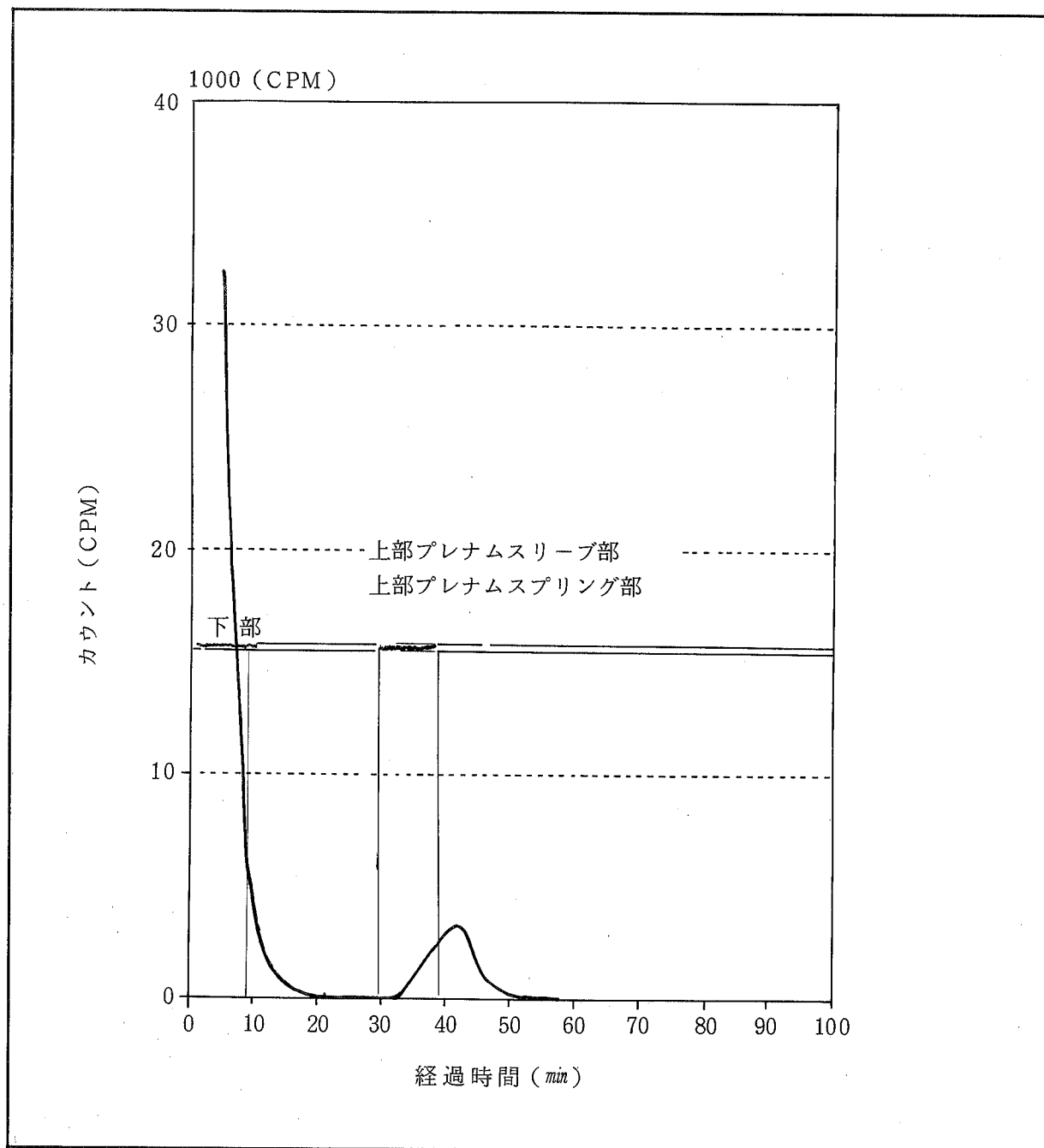


図 4.1.5 剪断時の ^{85}Kr の放出 (3本目)
 ^{85}Kr release during shearing (third pin)

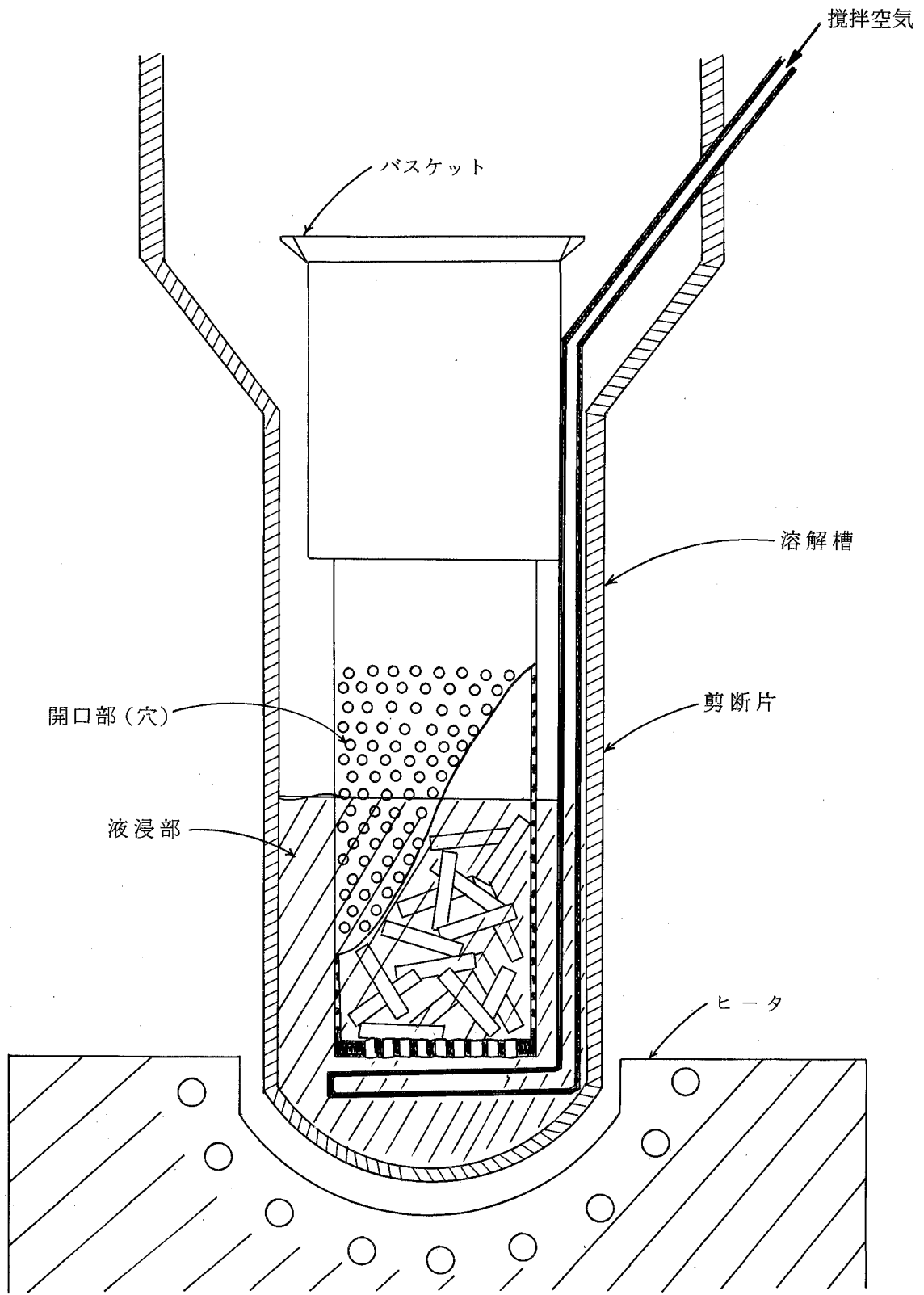


図4.2.1 バスケット充填状態

Fuel loading condition in dissolver basket

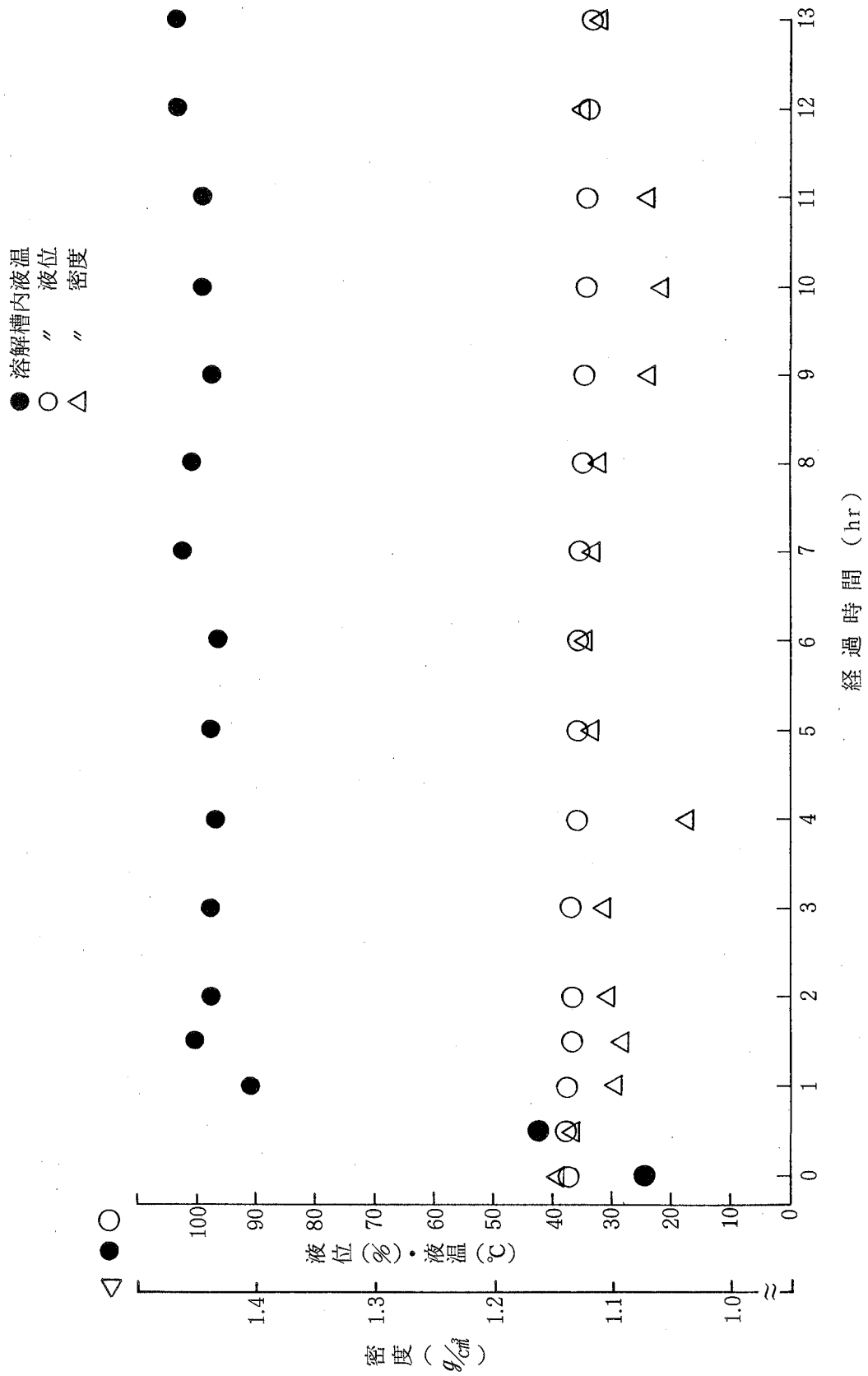


図 4.2.2 溶解槽運転記録
Operating records of dissolver

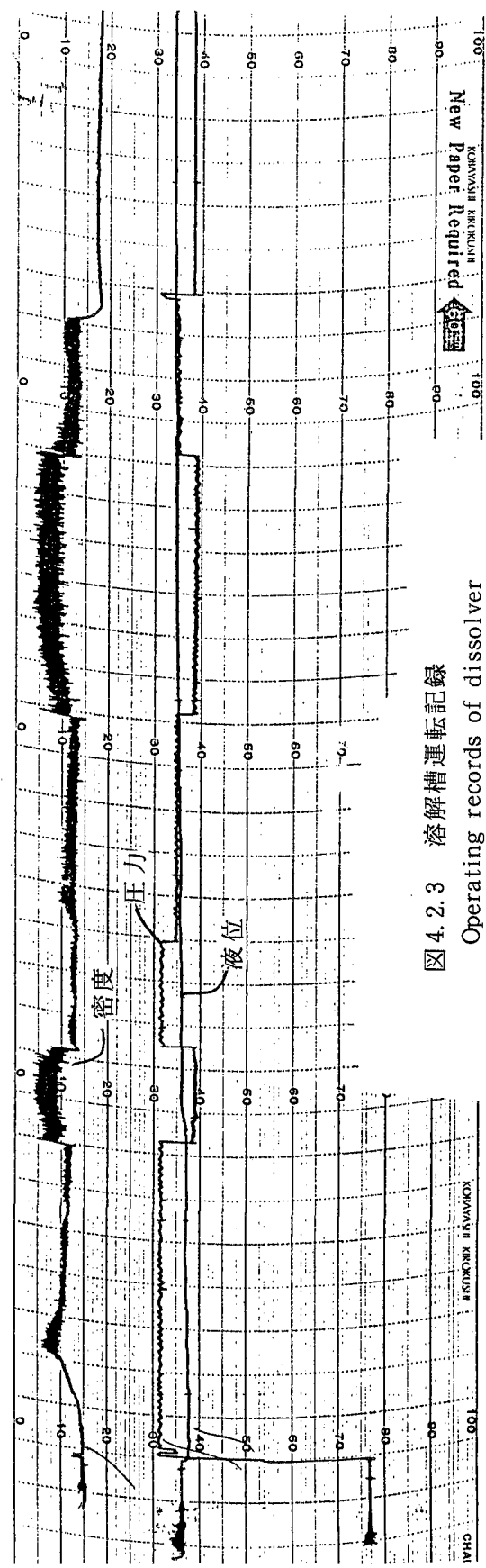
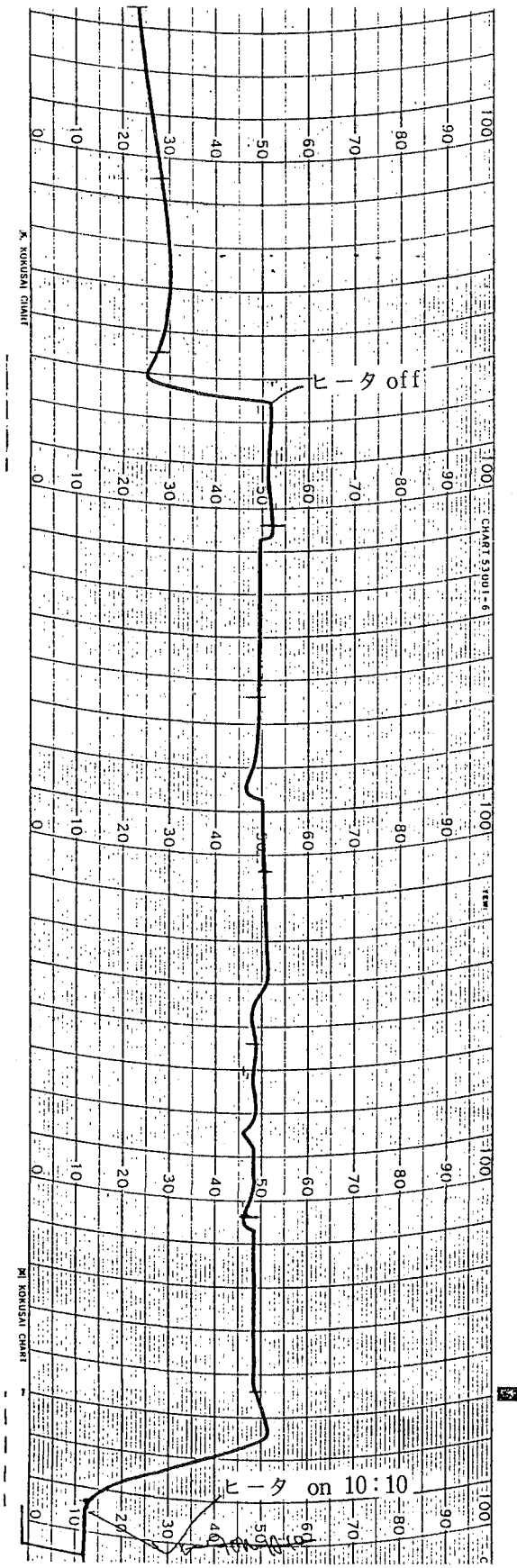


図 4.2.3 溶解槽運転記録
Operating records of dissolver

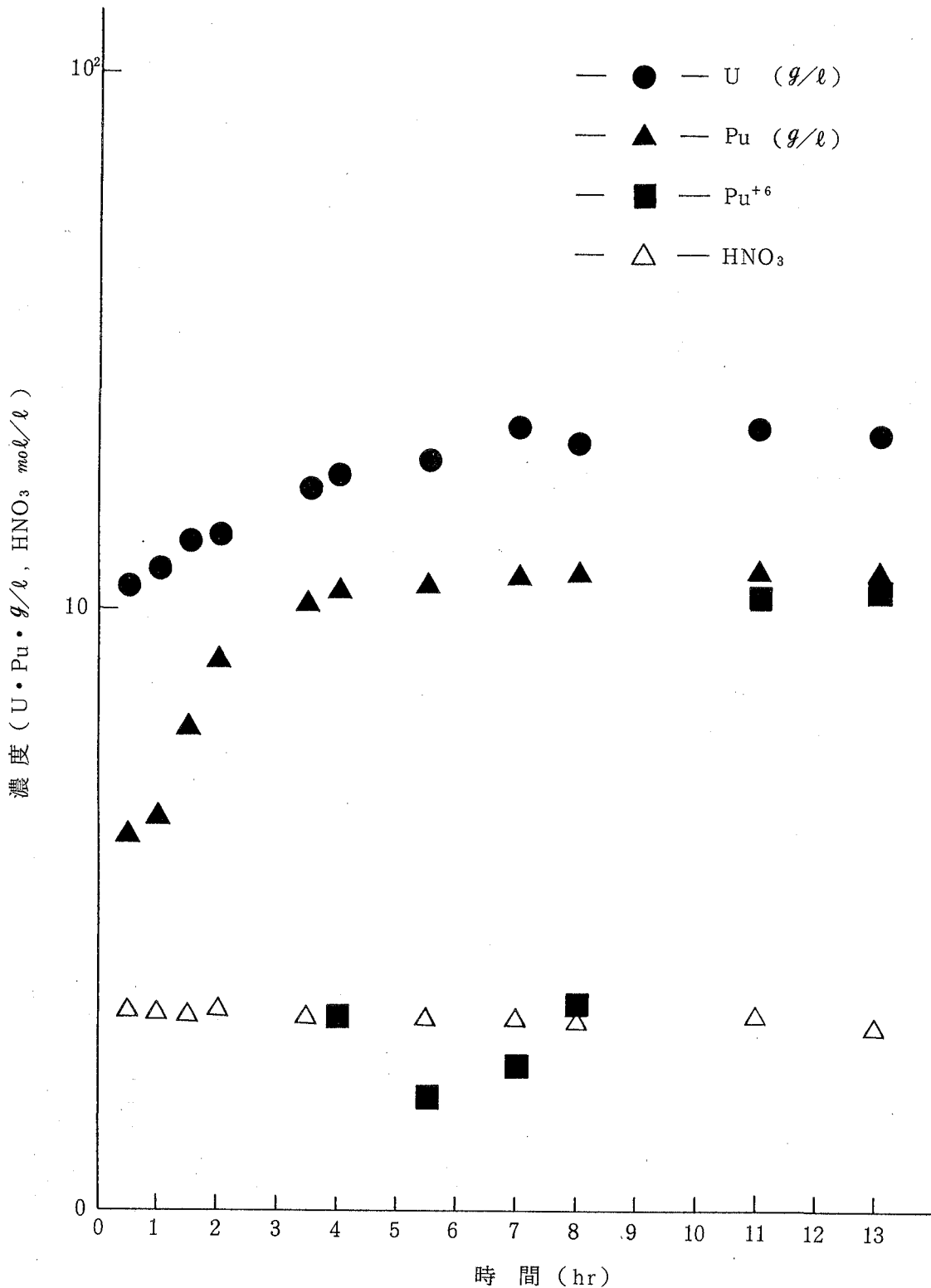


図 4.2.4 溶解液中の U・Pu 及び硝酸濃度
U・Pu and nitric acid concentration in dissolution solution

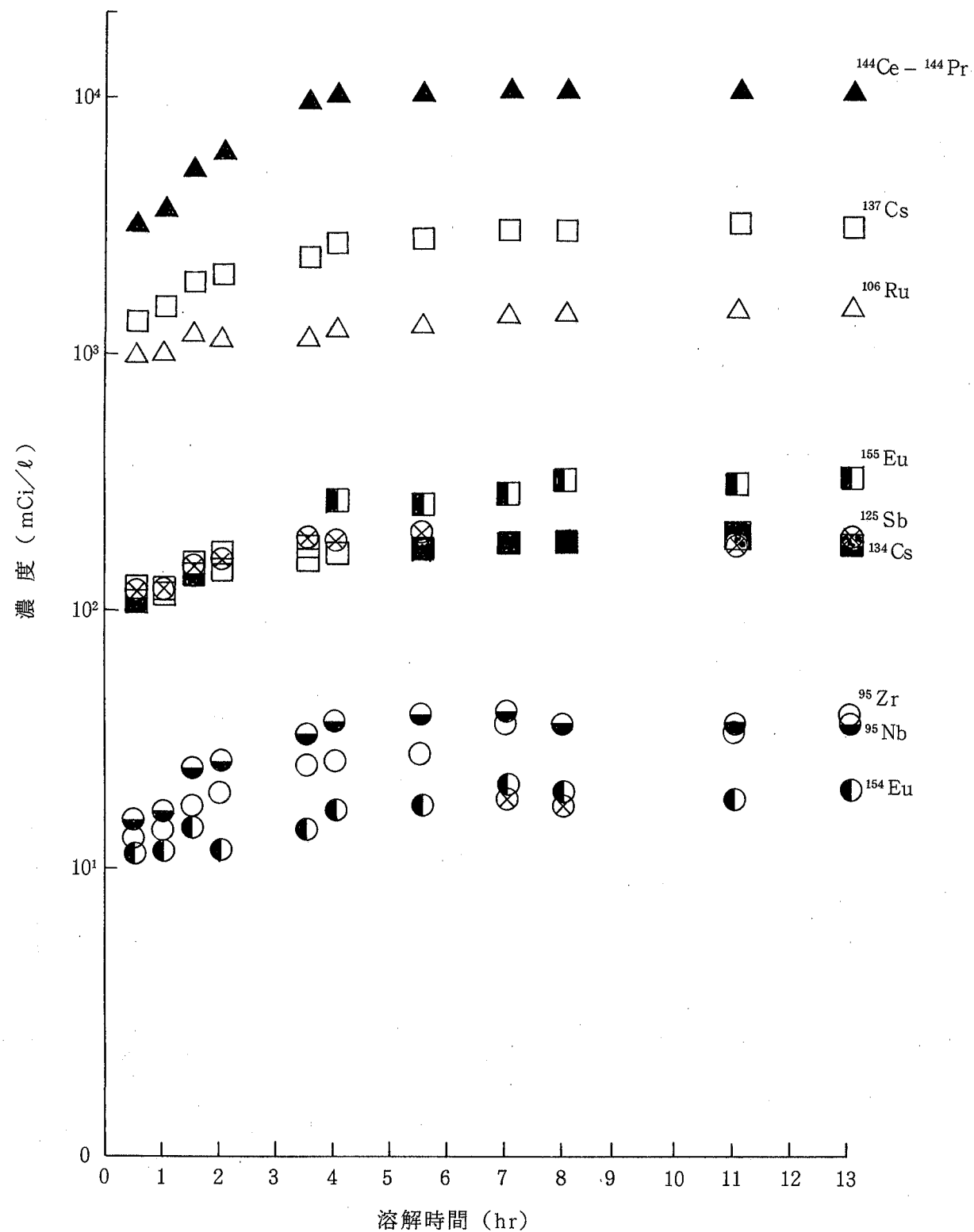


図 4.2.5 溶解液中の γ 放射能
 γ -activity in dissolution solution

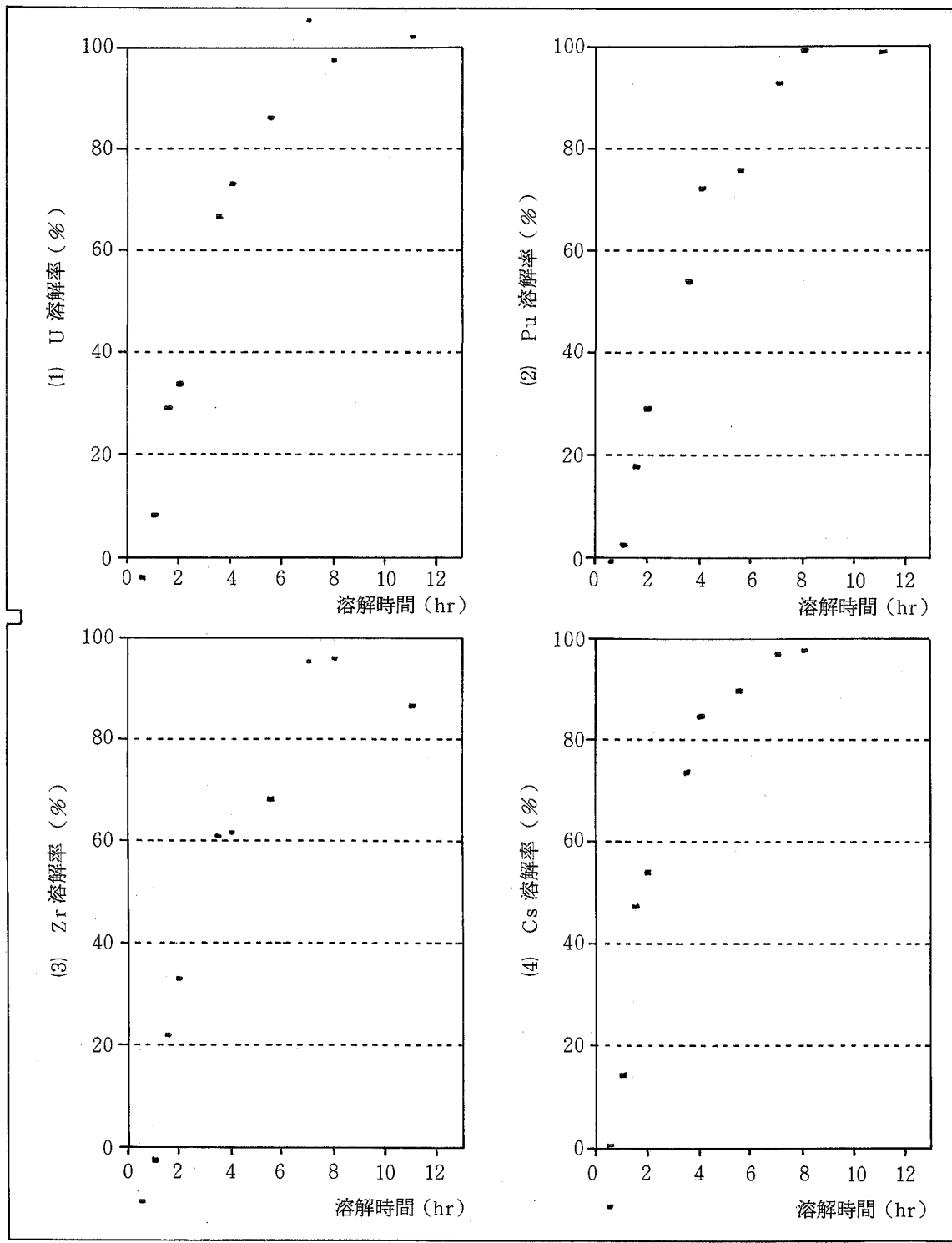


図 4.2.6 U の溶解率 (1)
Dissolution rate of U

Pu の溶解率 (2)
Dissolution rate of Pu

Zr の溶解率 (3)
Dissolution rate of Zr

Cs の溶解率 (4)
Dissolution rate of Cs

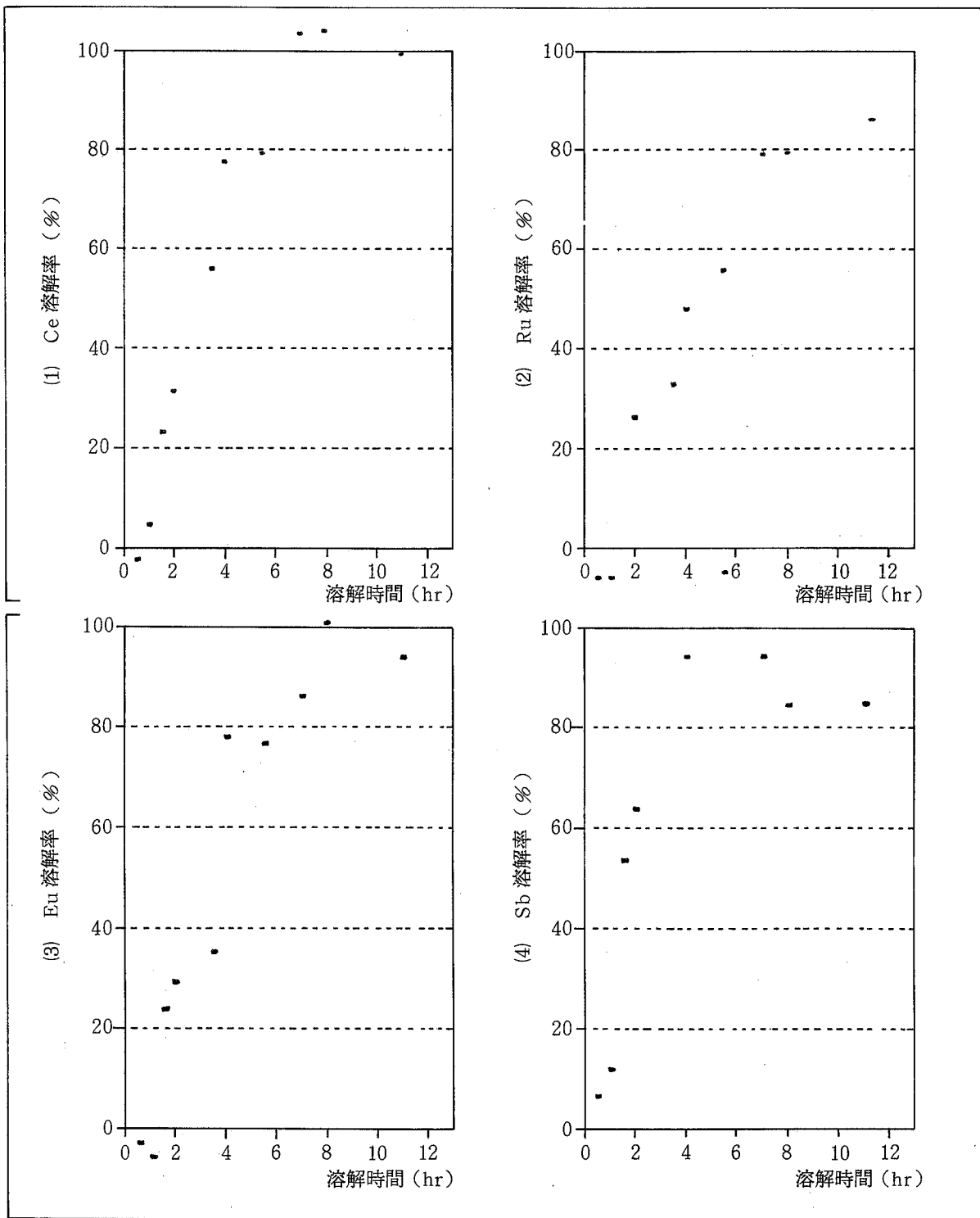


図 4.2.7 Ce の溶解率 (1)
Dissolution rate of Ce
Ru の溶解率 (2)
Dissolution rate of Ru
Eu の溶解率 (3)
Dissolution rate of Eu
Sb の溶解率 (4)
Dissolution rate of Sb

—○— total 硝酸量
 —●— 液中硝酸量
 —□— U溶解消費量
 —△— Pu溶解消費量

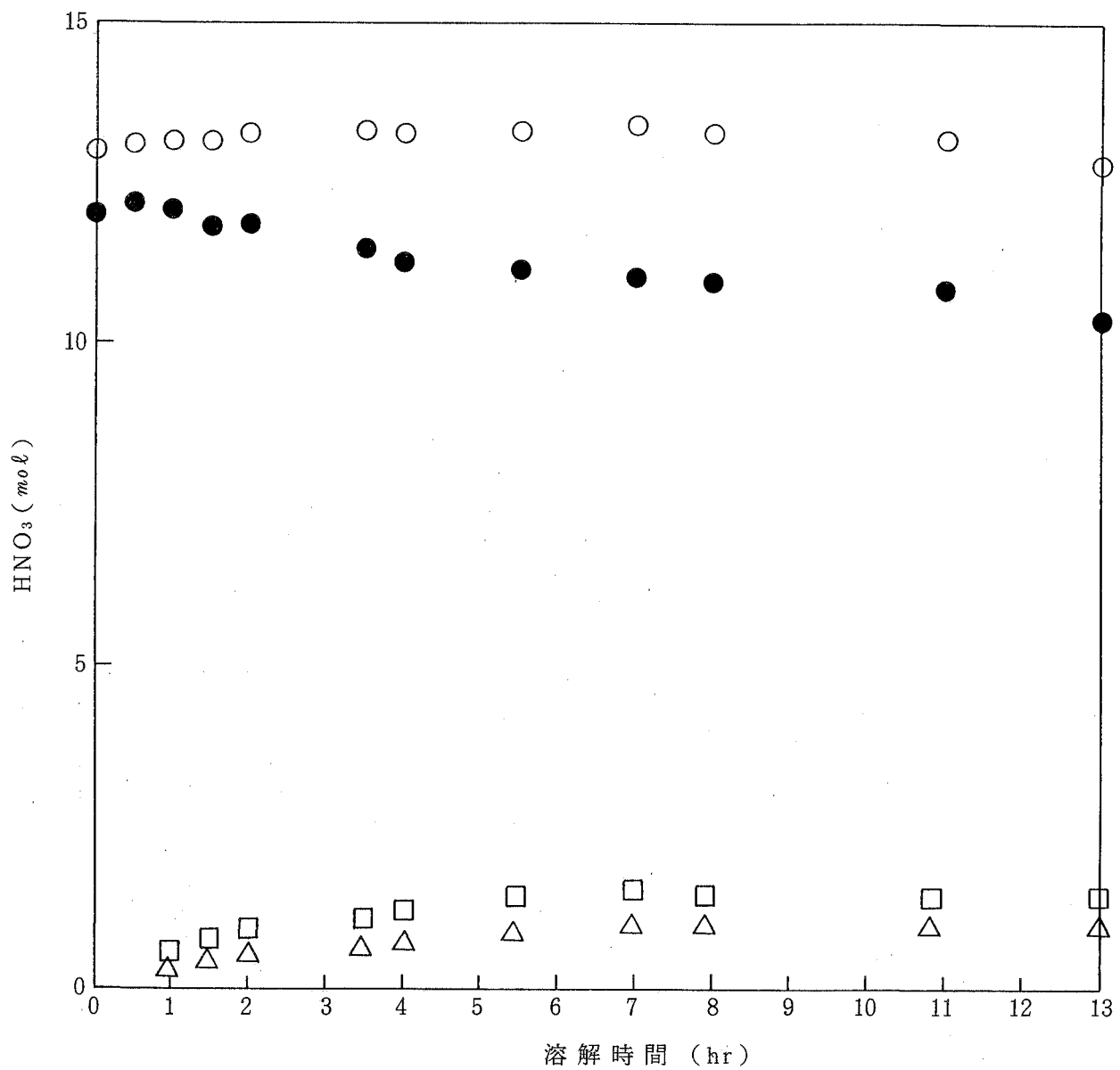


図 4.2.8 硝酸收支
 HNO₃ balance during dissolution

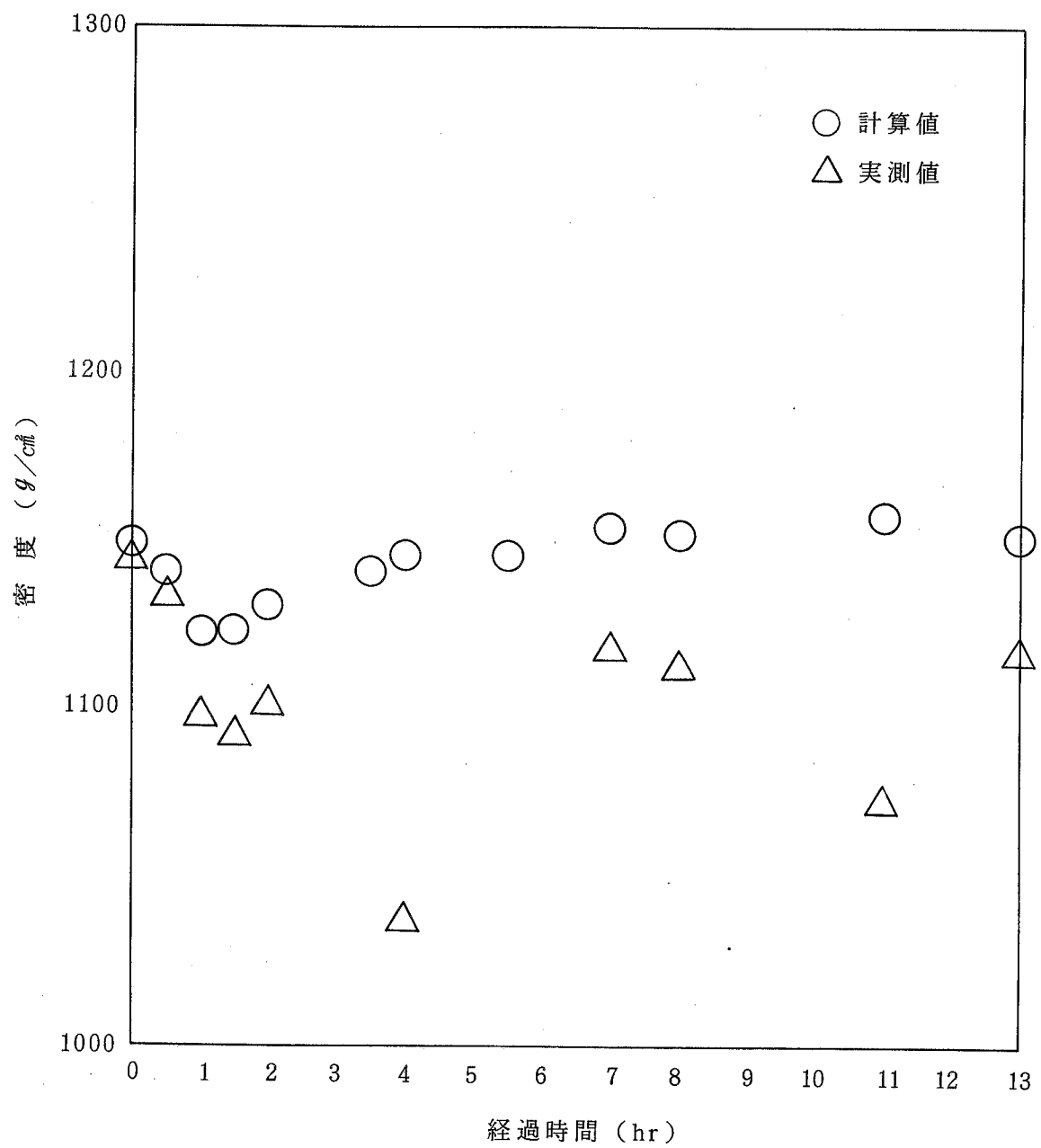


図 4.2.9 溶解液中の密度の変化

Density of dissolution solution
during dissolution

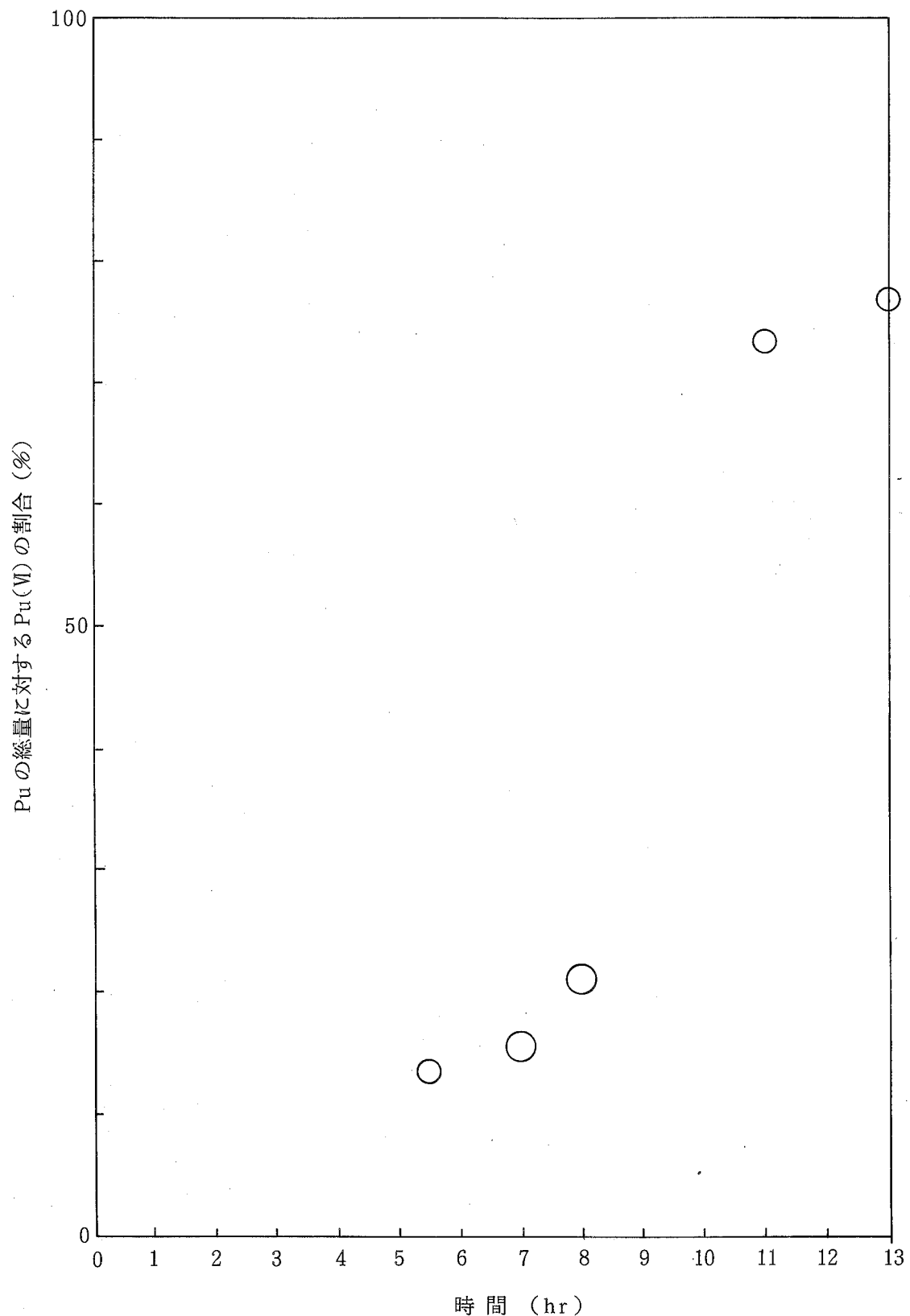


図4.2.10 溶解液中の Pu(VI) の量
Amounts of Pu(VI) in dissolver

相 対 強 度

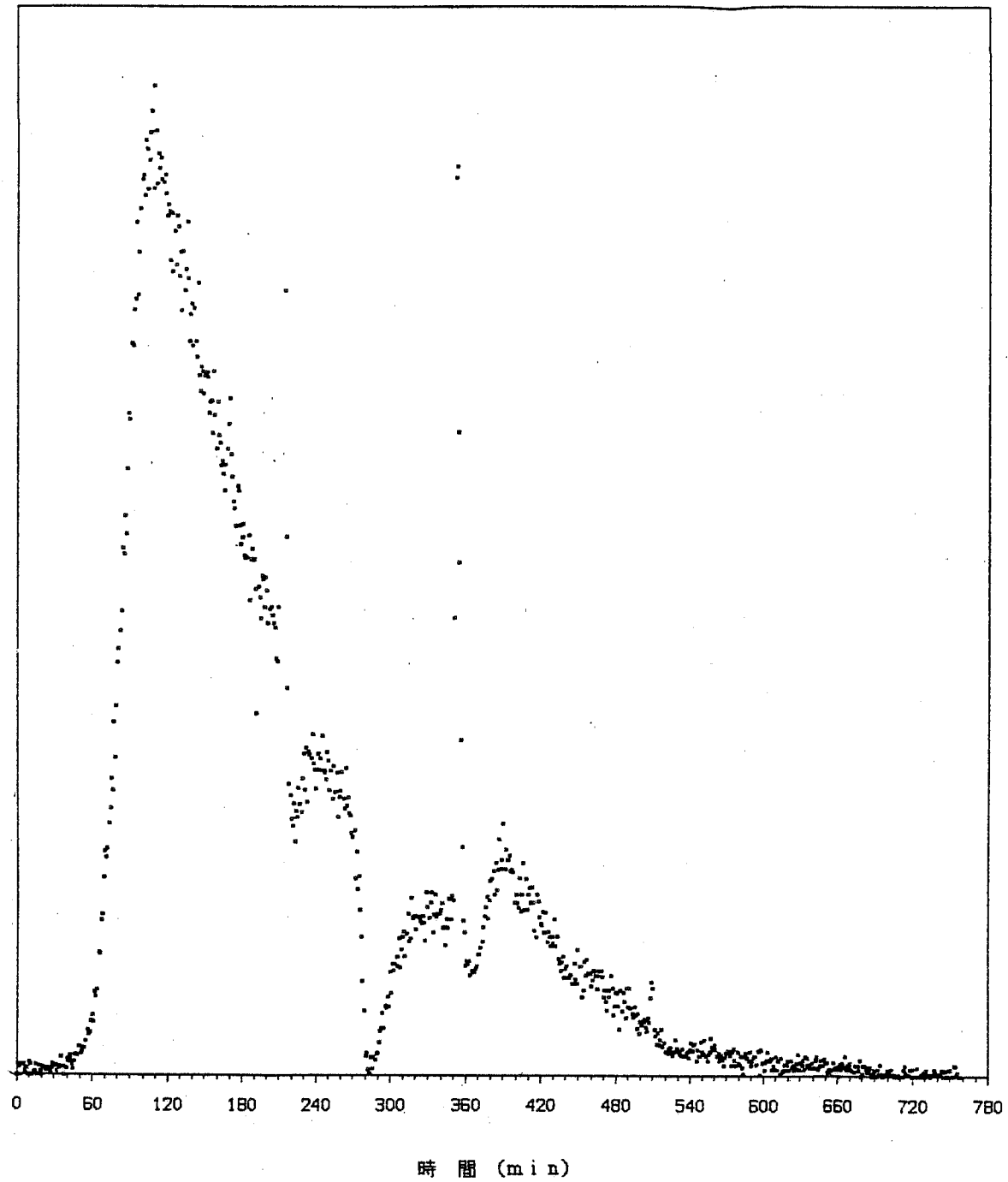


図 4.2.11 溶液中の ^{85}Kr の放出
 ^{85}Kr release during dissolution

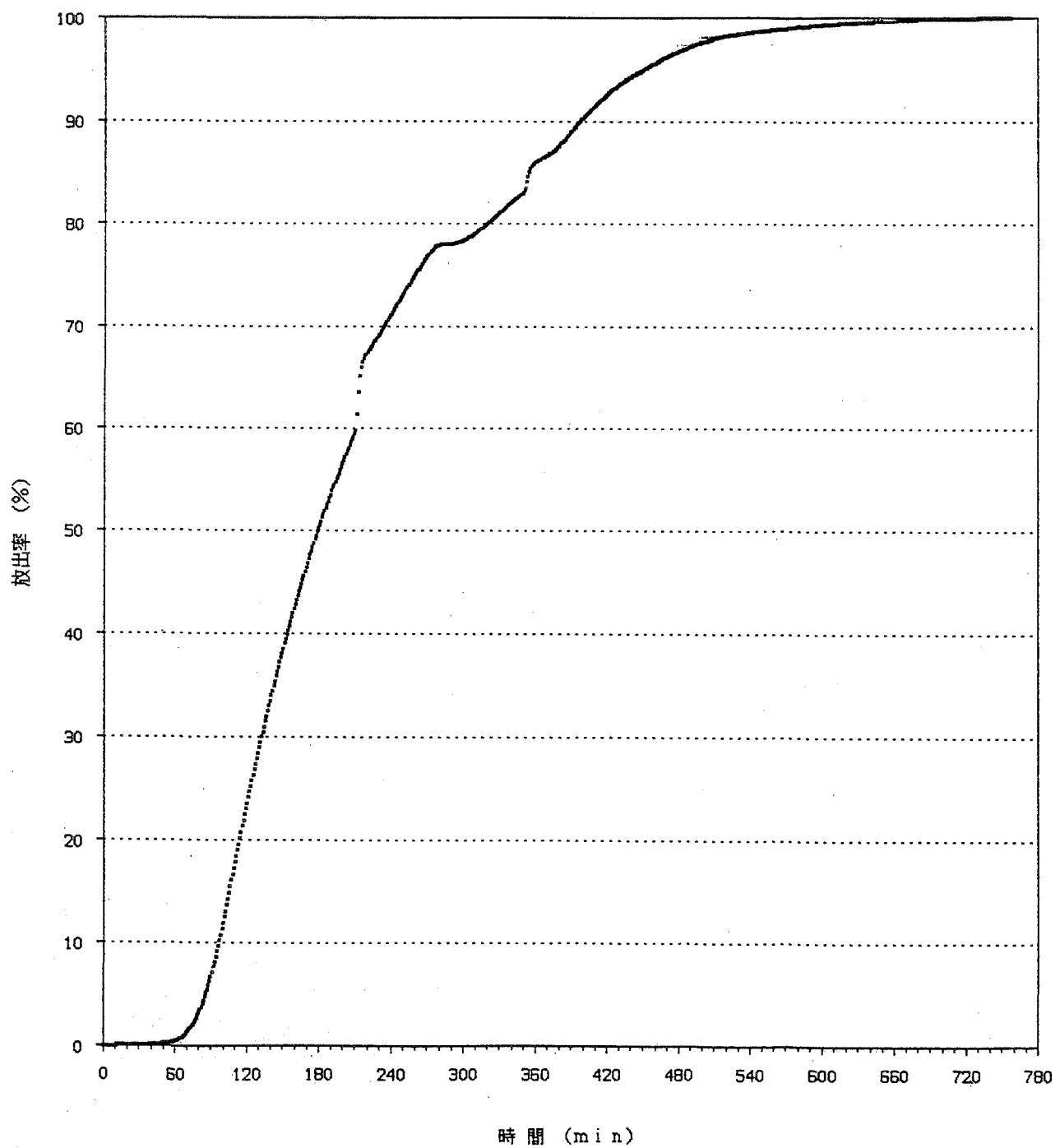


図 4.2.12 ^{85}Kr 放出率
Released rate of ^{85}Kr

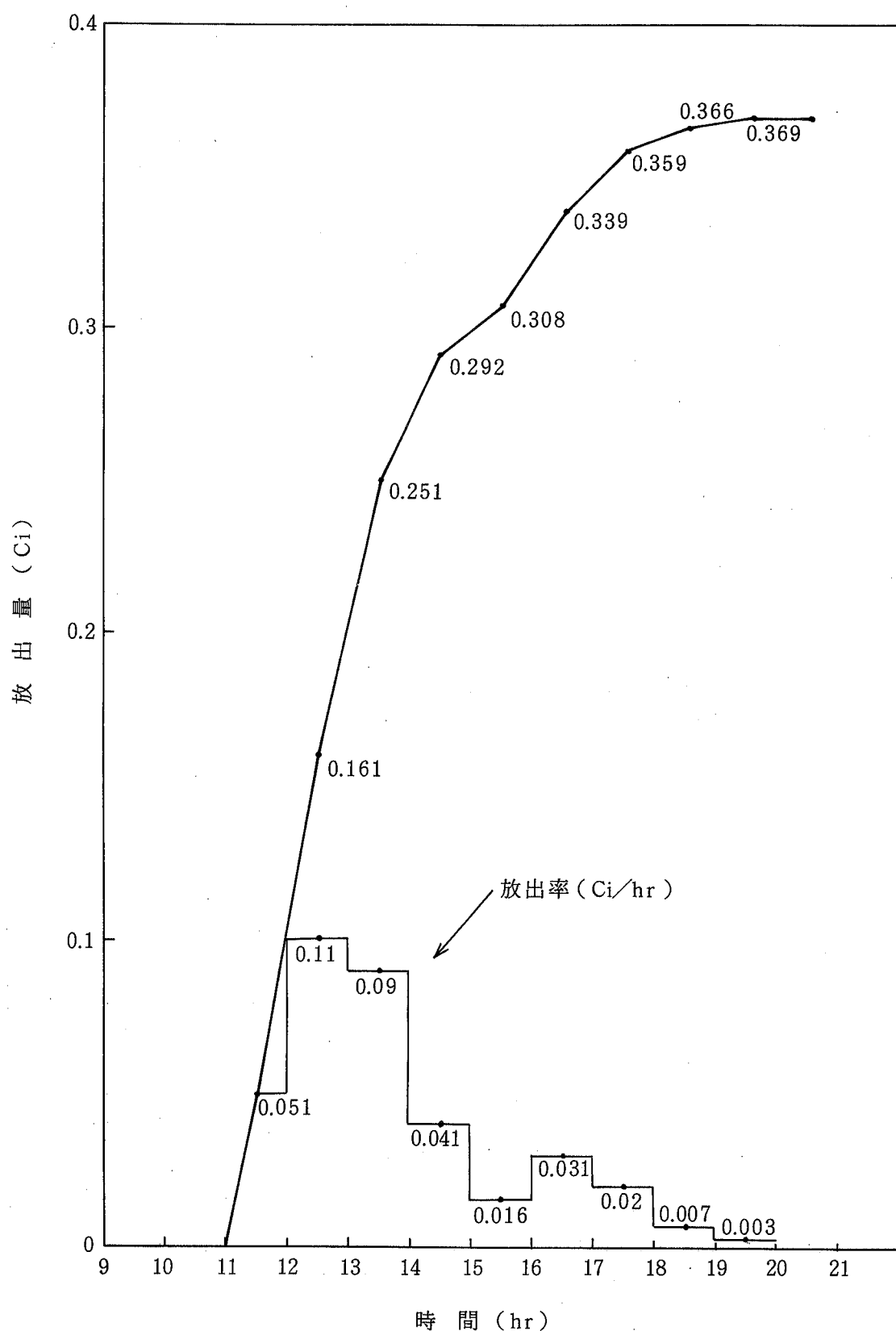


図 4.2.13 CPF 排気筒からの ^{85}Kr 放出
 ^{85}Kr release from CPF stack

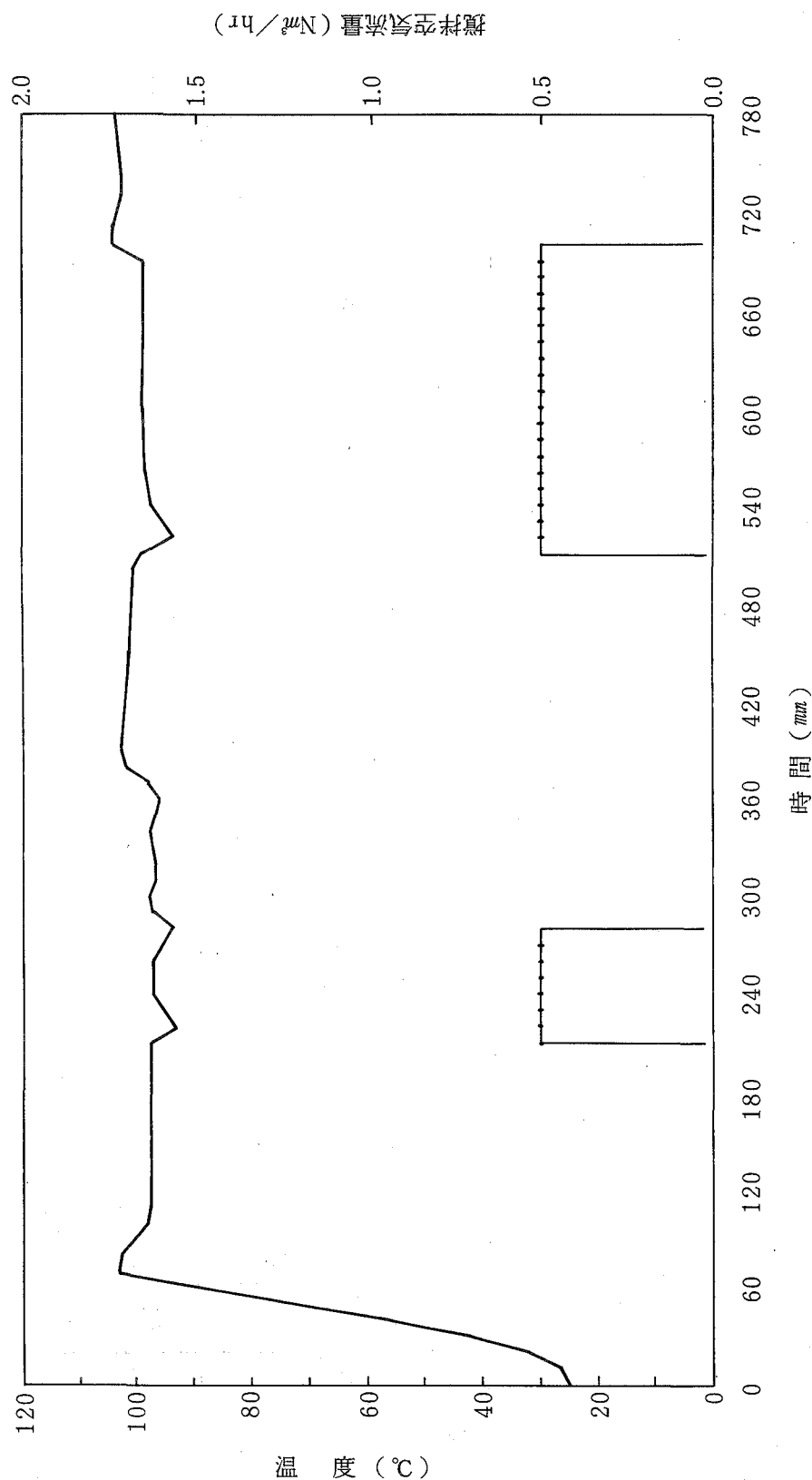


図 4.2.14 搅拌空気量と溶解時間との関係
Dissolving time versus amounts of stirring air

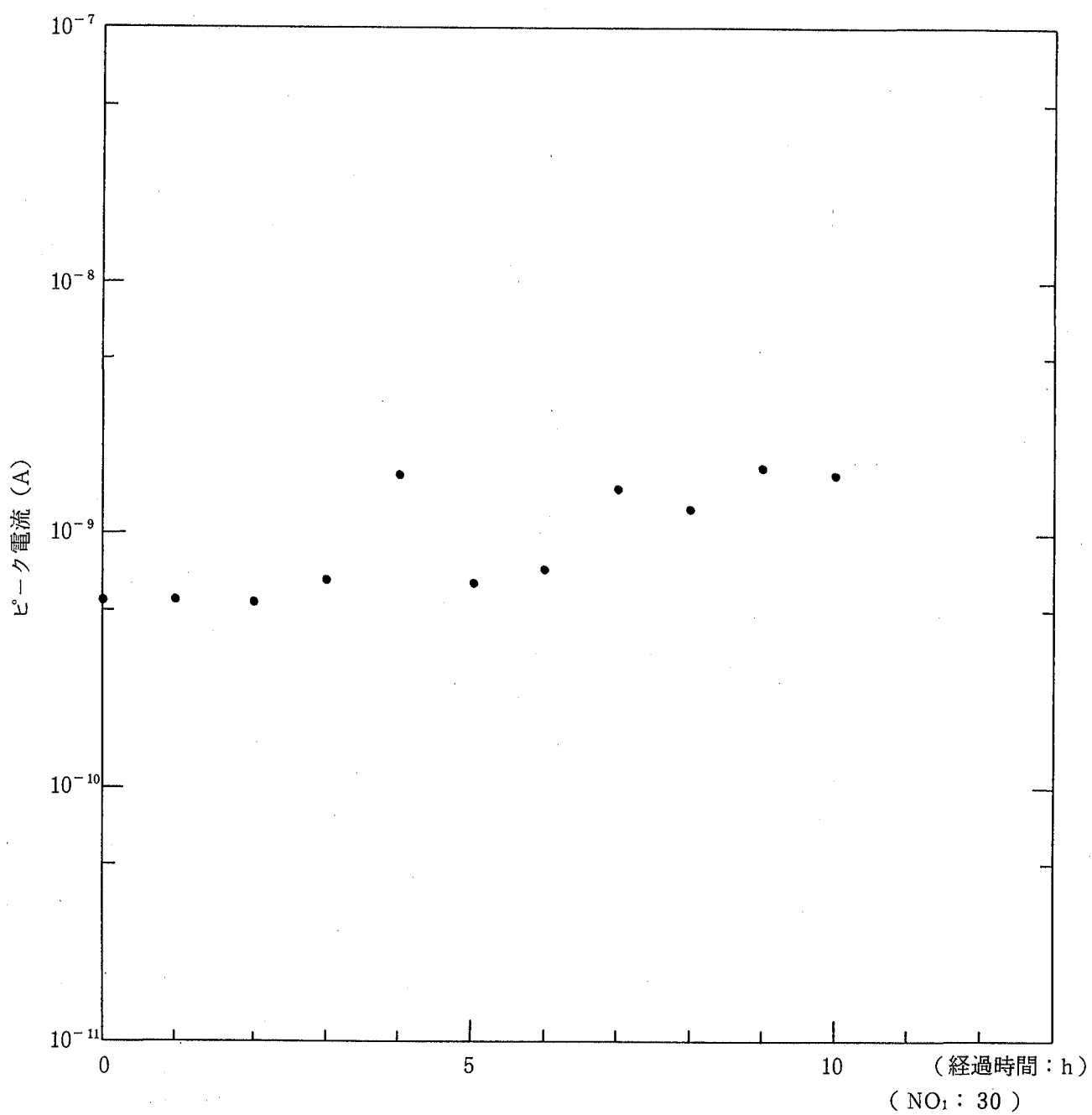


図 4.2.15 溶解中の放出ガス (1)
Released gas during dissolution

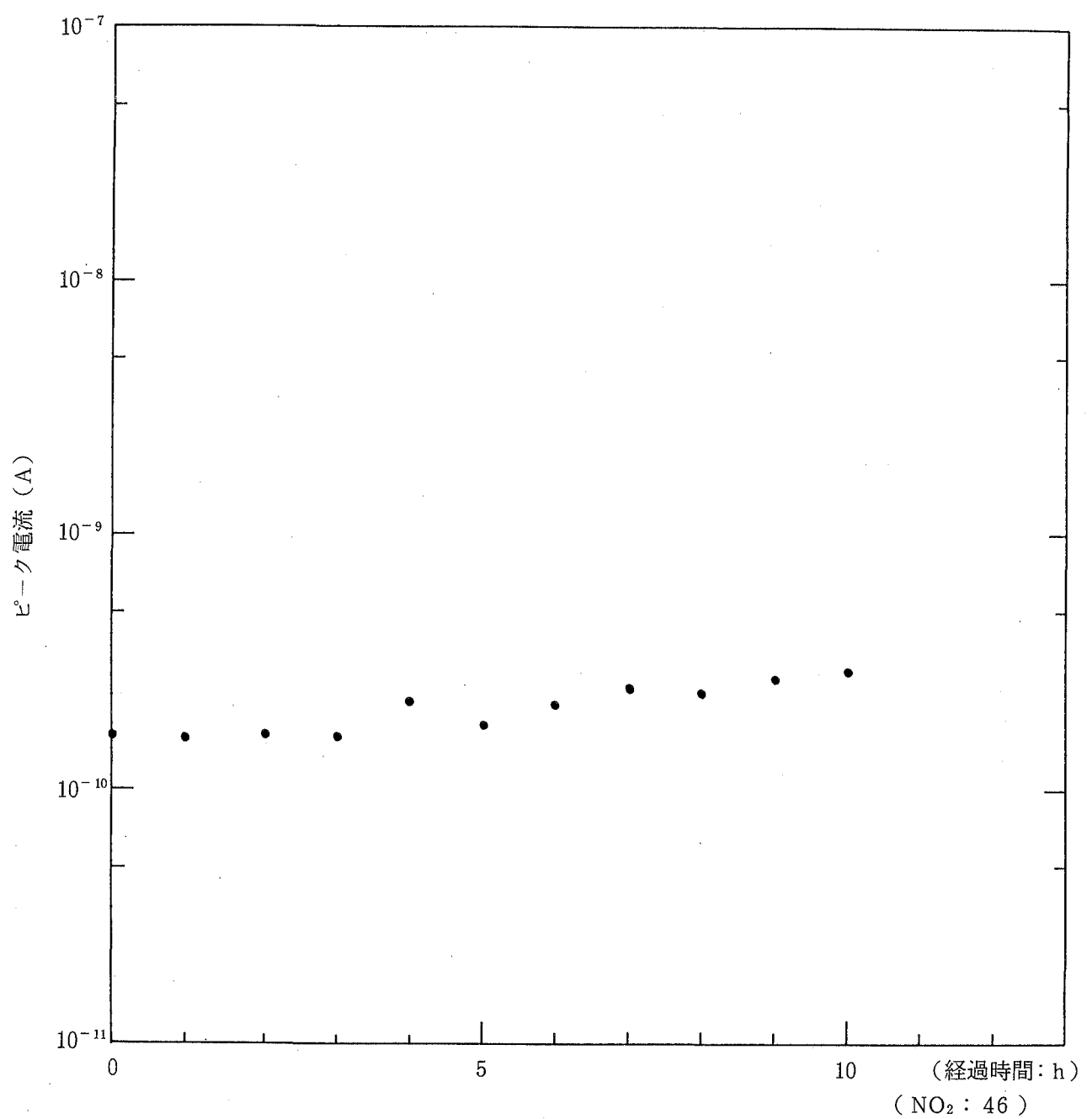


図 4.2.15 溶解中の放出ガス (2)
Released gas during dissolution

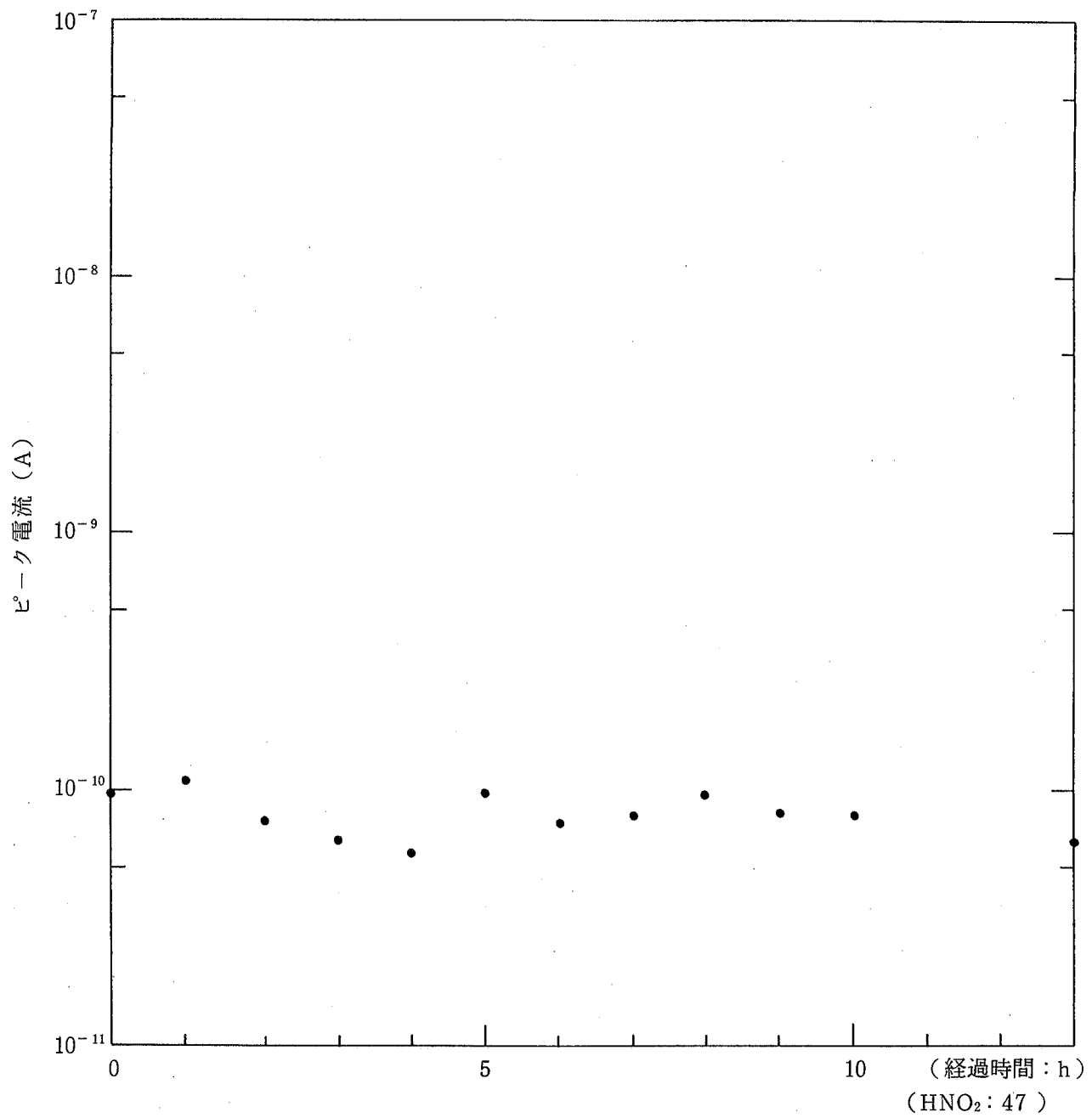


図 4.2.15 溶解中の放出ガス (3)
Released gas during dissolution

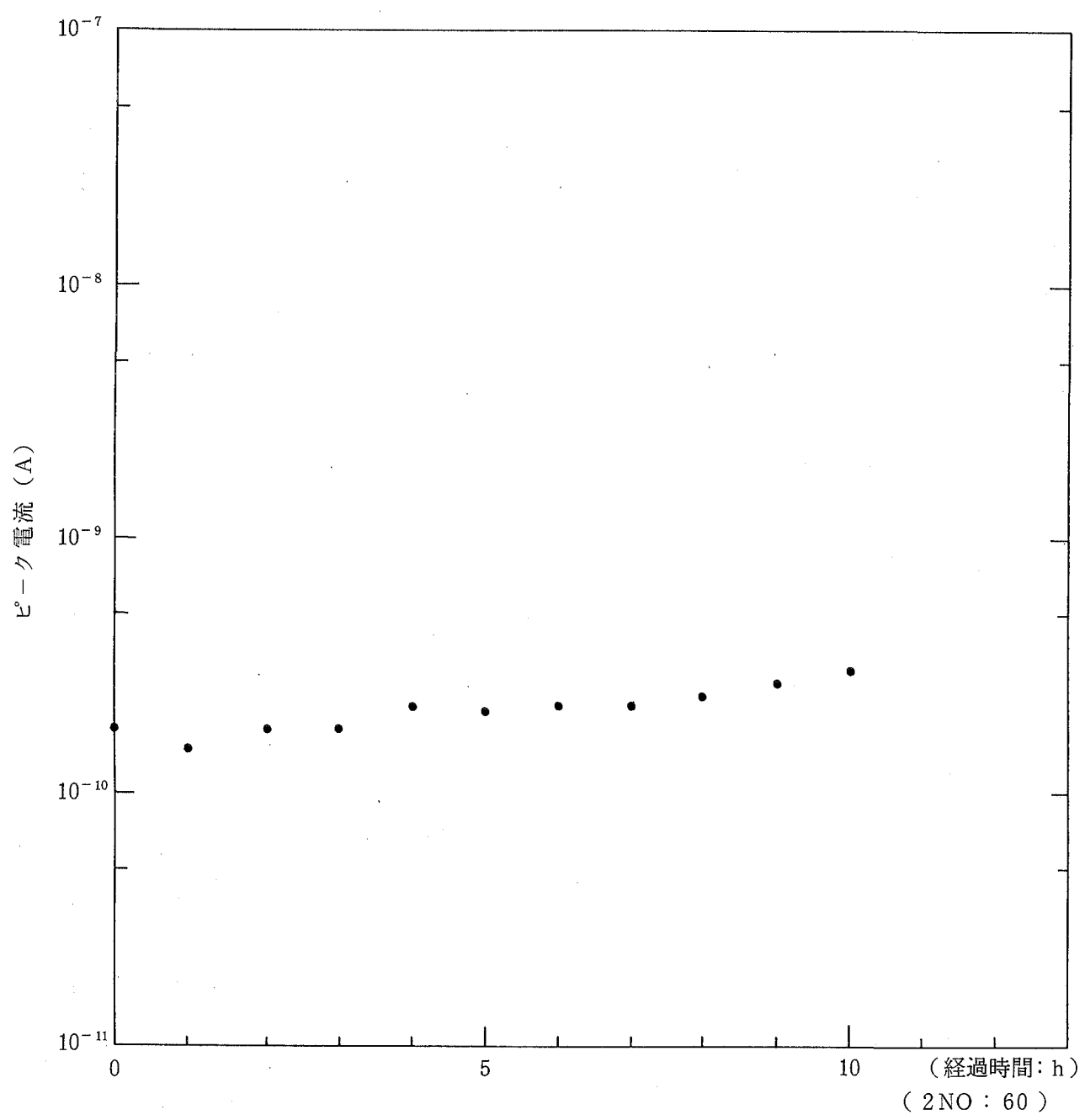


図 4.2.15 溶解中の放出ガス (4)
Released gas during dissolution

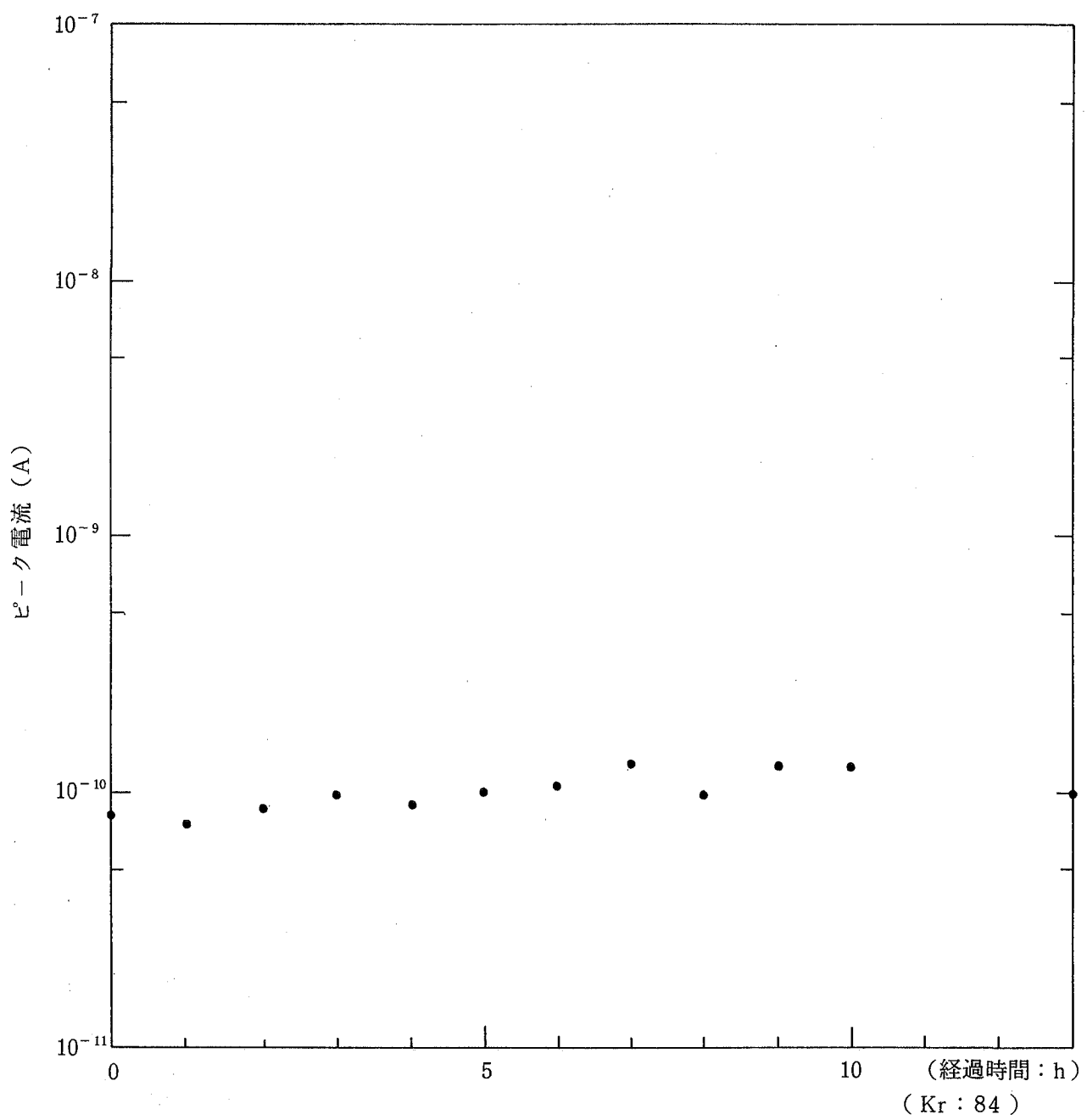


図 4.2.15 溶解中の放出ガス (5)
Released gas during dissolution

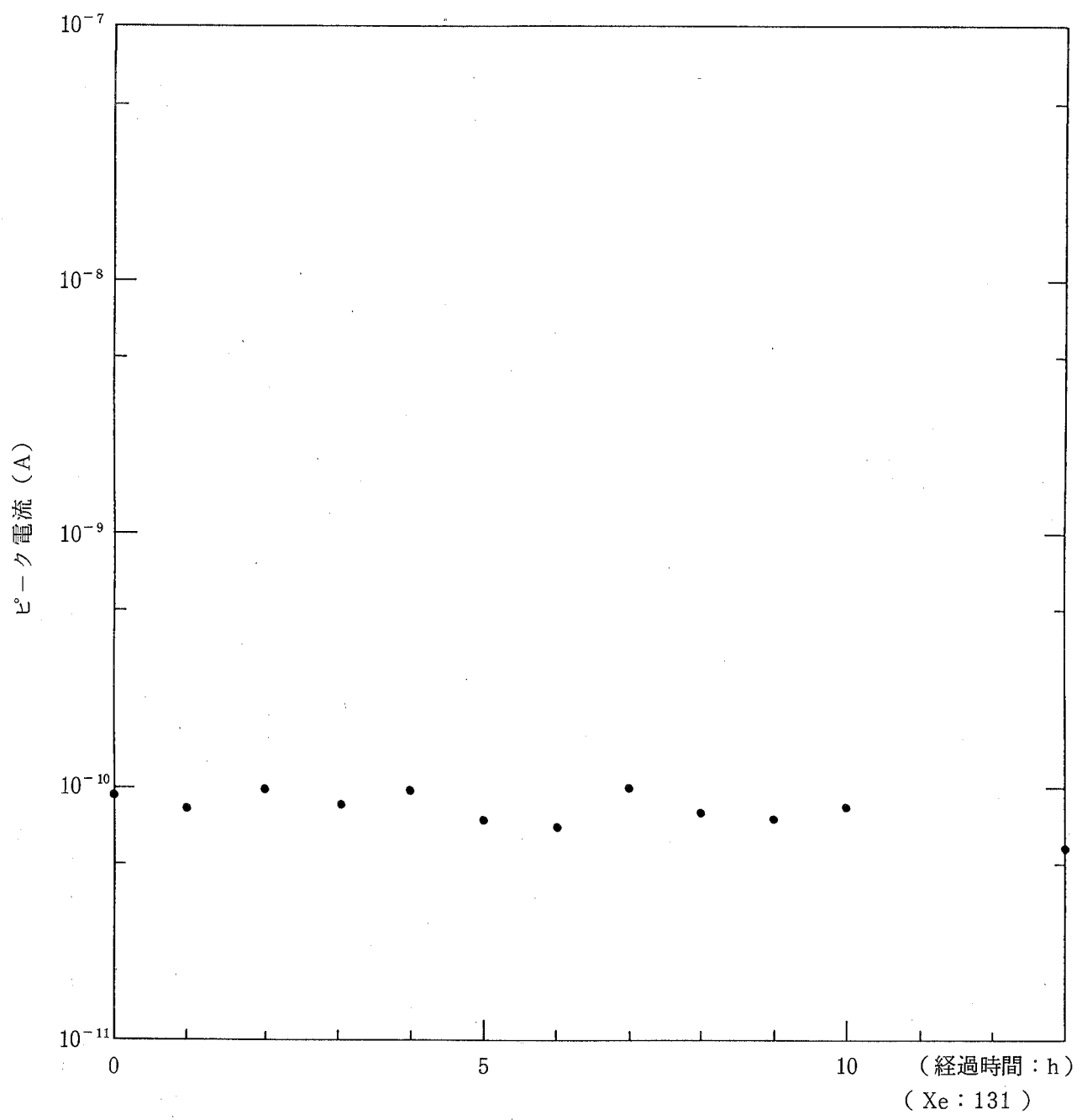


図 4.2.15 溶解中の放出ガス (6)
Released gas during dissolution

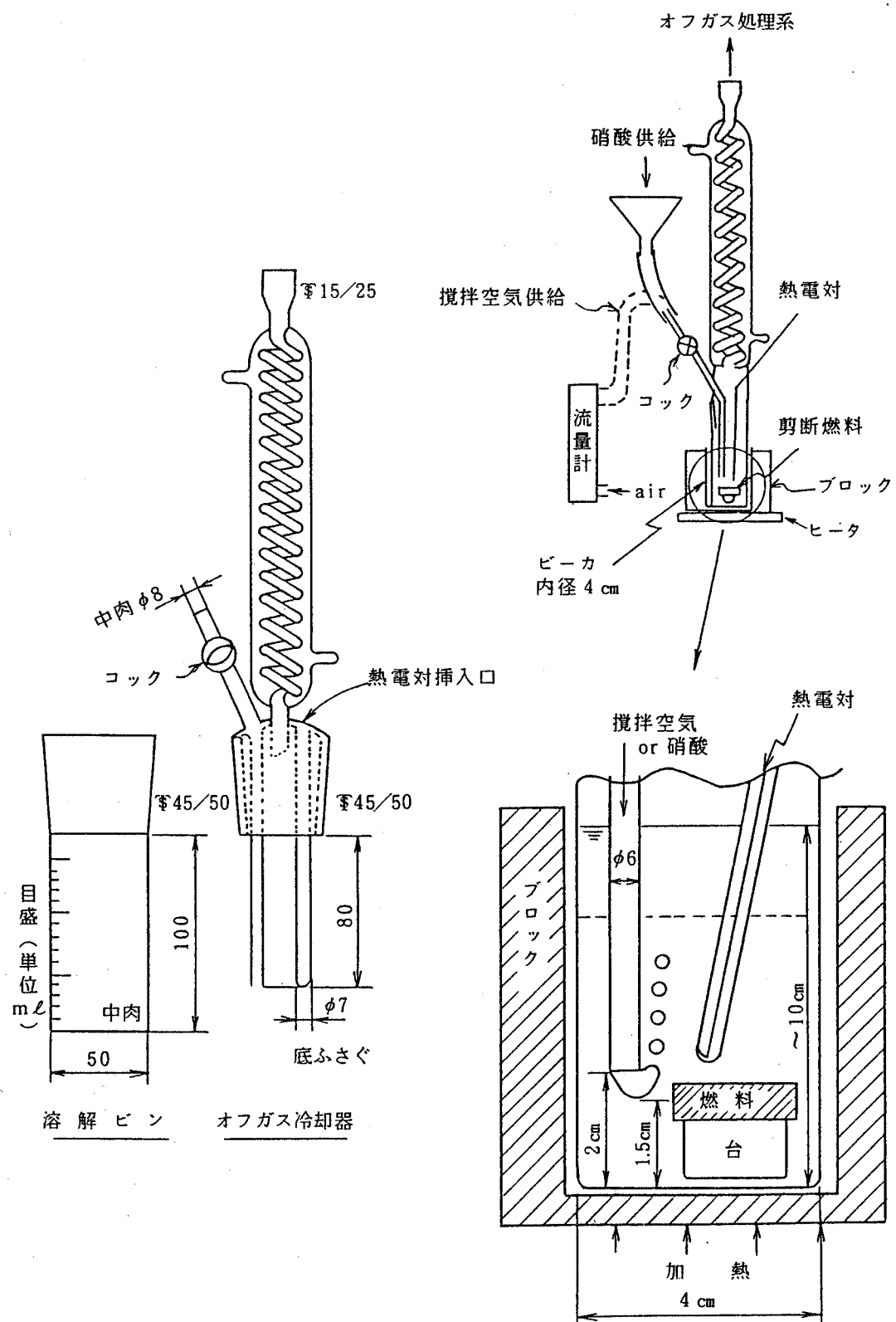


図 4.3.1 小型溶解装置

Miniature dissolving apparatus

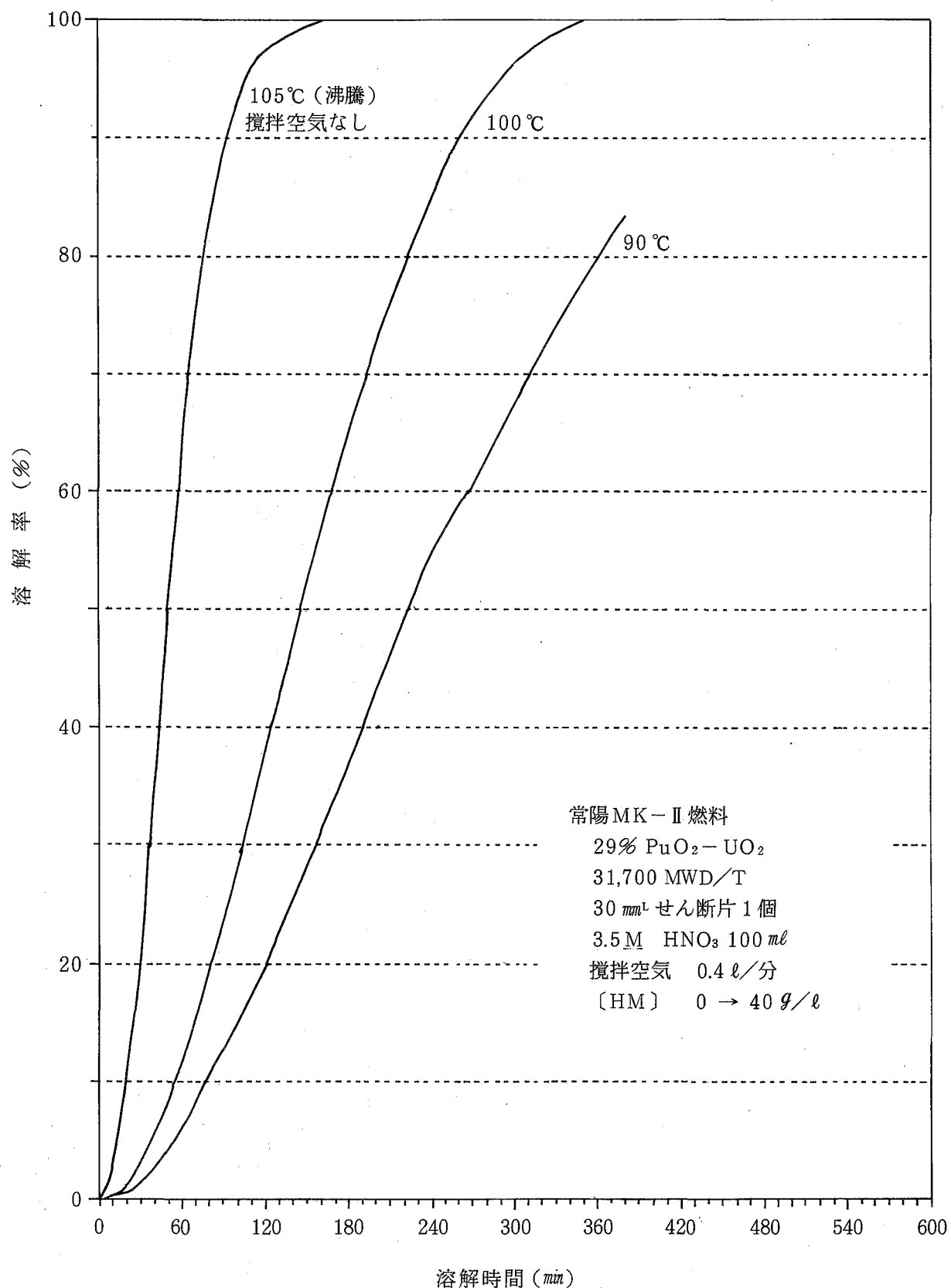


図 4.3.2 小型溶解データ（温度による影響）

Result of dissolution test by miniature
 dissoluer (Temp effect)

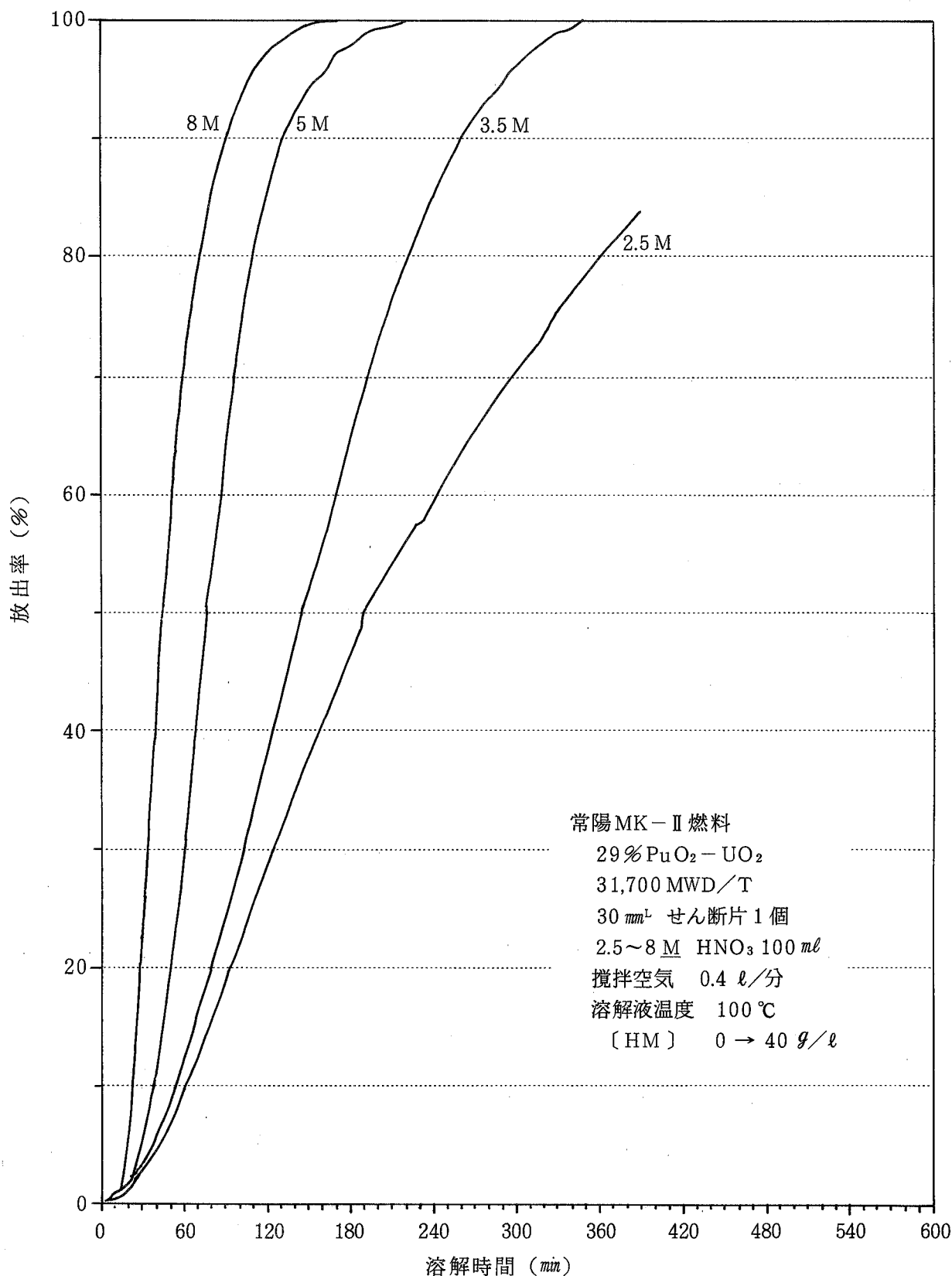


図 4.3.3 小型溶解データ（硝酸濃度による影響）

Result of dissolution test by miniature dissoluer
(effect of HNO_3 conc.)

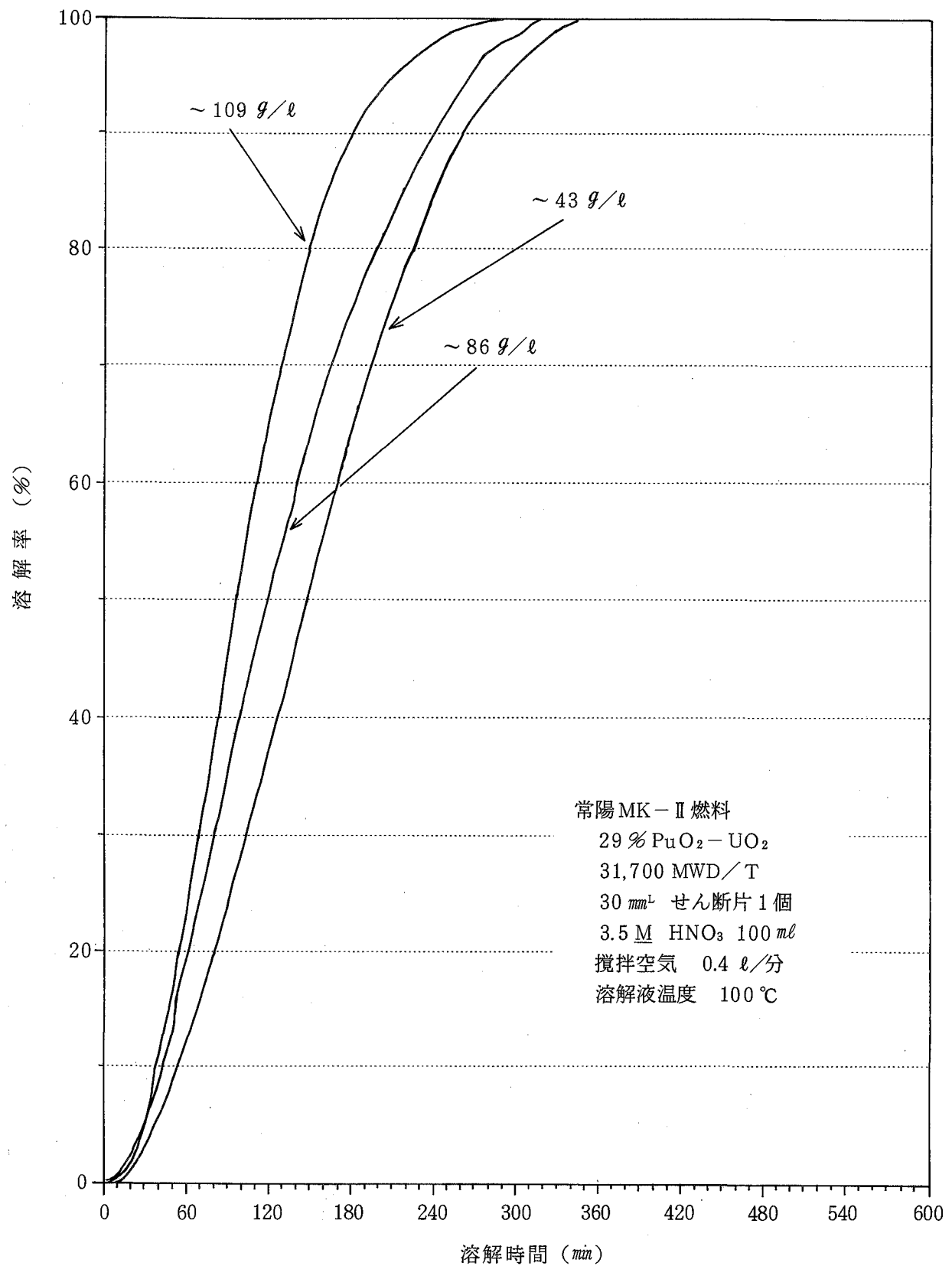


図 4.3.4 小型溶解データ (U・Pu 濃度による影響)

Result of dissolution test by miniature dissoluer
 (effect of U・Pu conc)

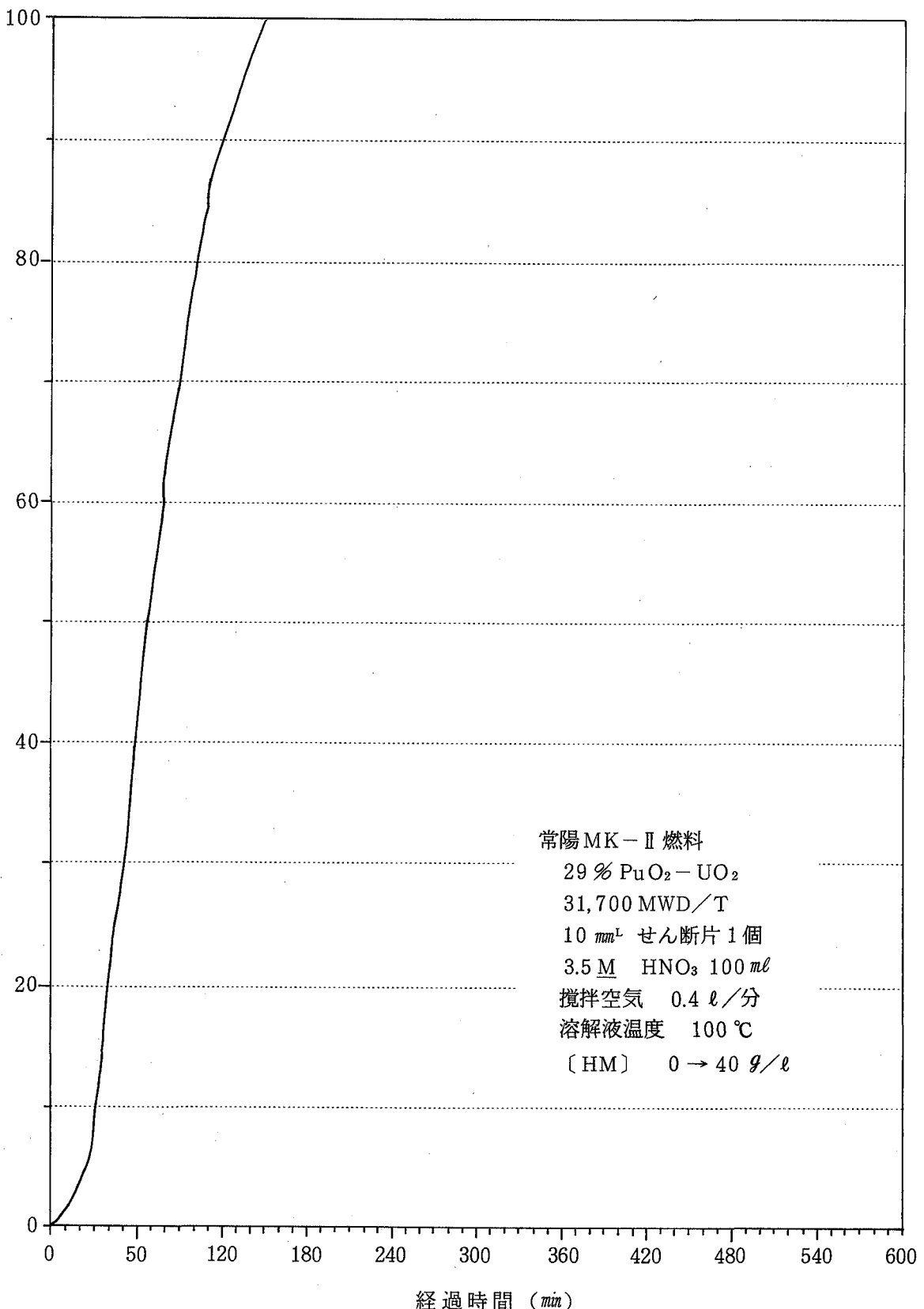


図 4.3.5 小型溶解データ（剪断長 1 cm）

Result of dissolution test by miniature dissoluer
 (shearing length; 1 cm)

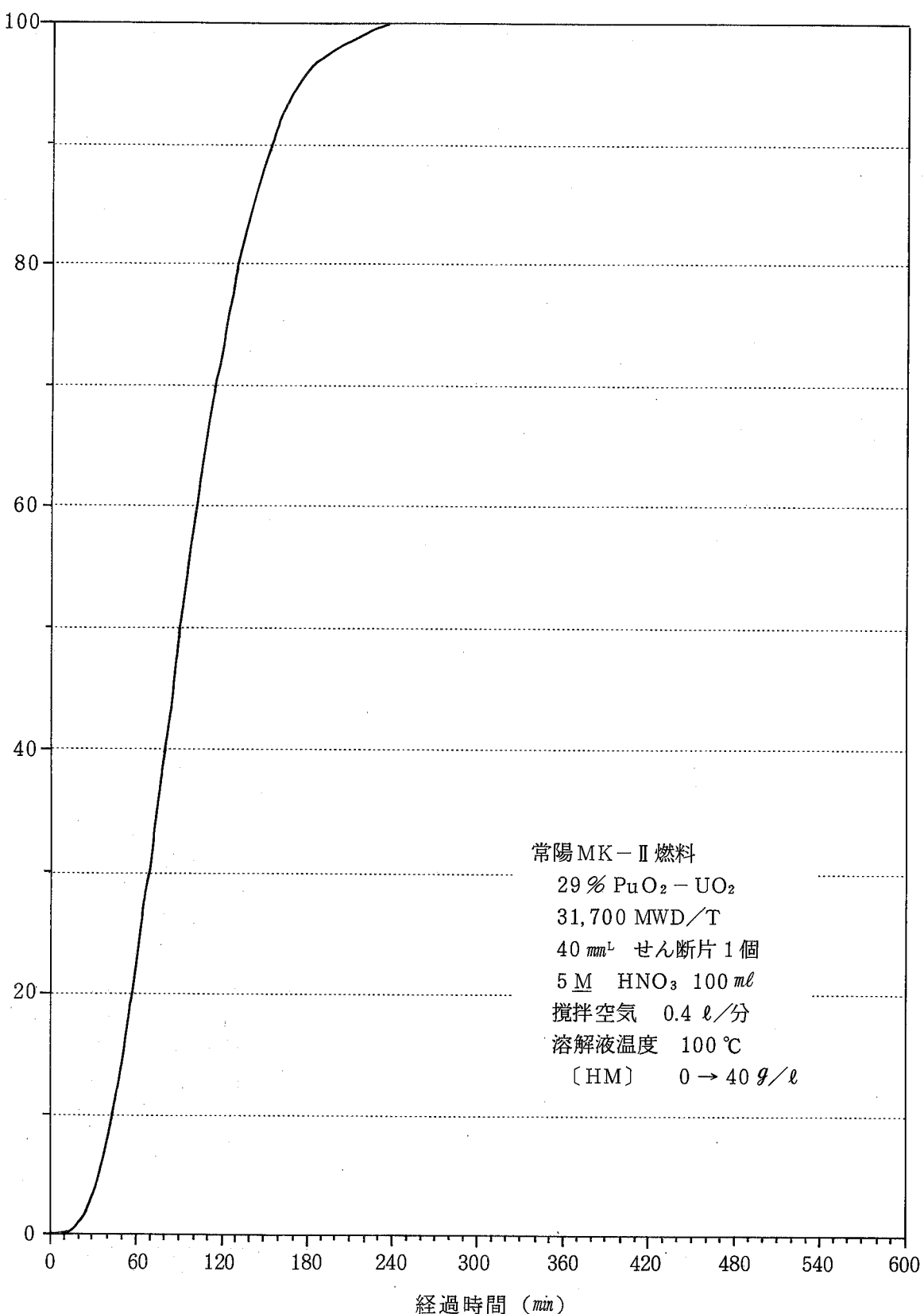


図 4.3.6 小型溶解データ（剪断長 4 cm）

Result of dissolution test by miniature dissoluer
(shearing length; 4 cm)

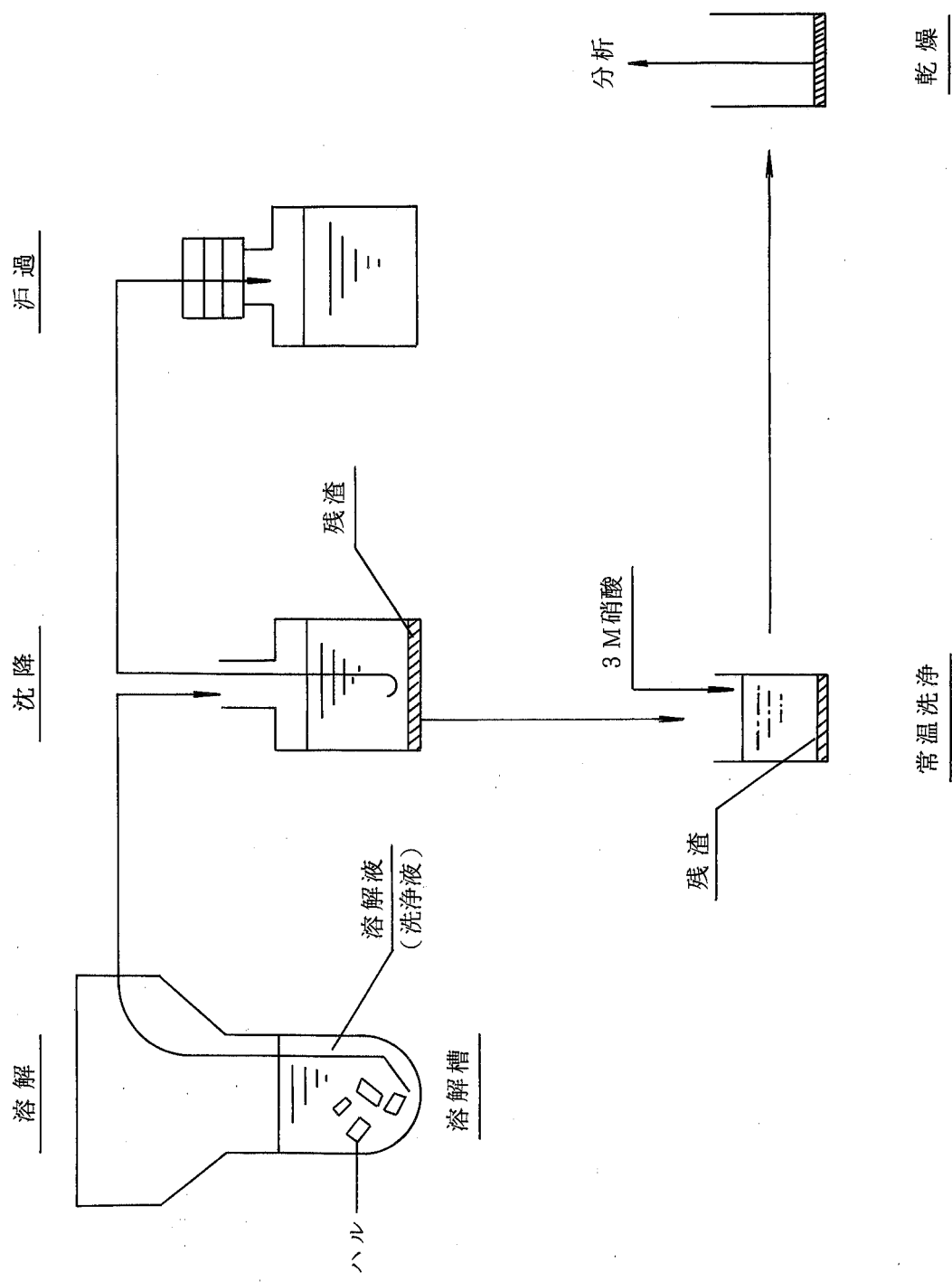


図 4.4.1 不溶解残渣の回収フロー
Flow diagram for recovery of insoluble residue

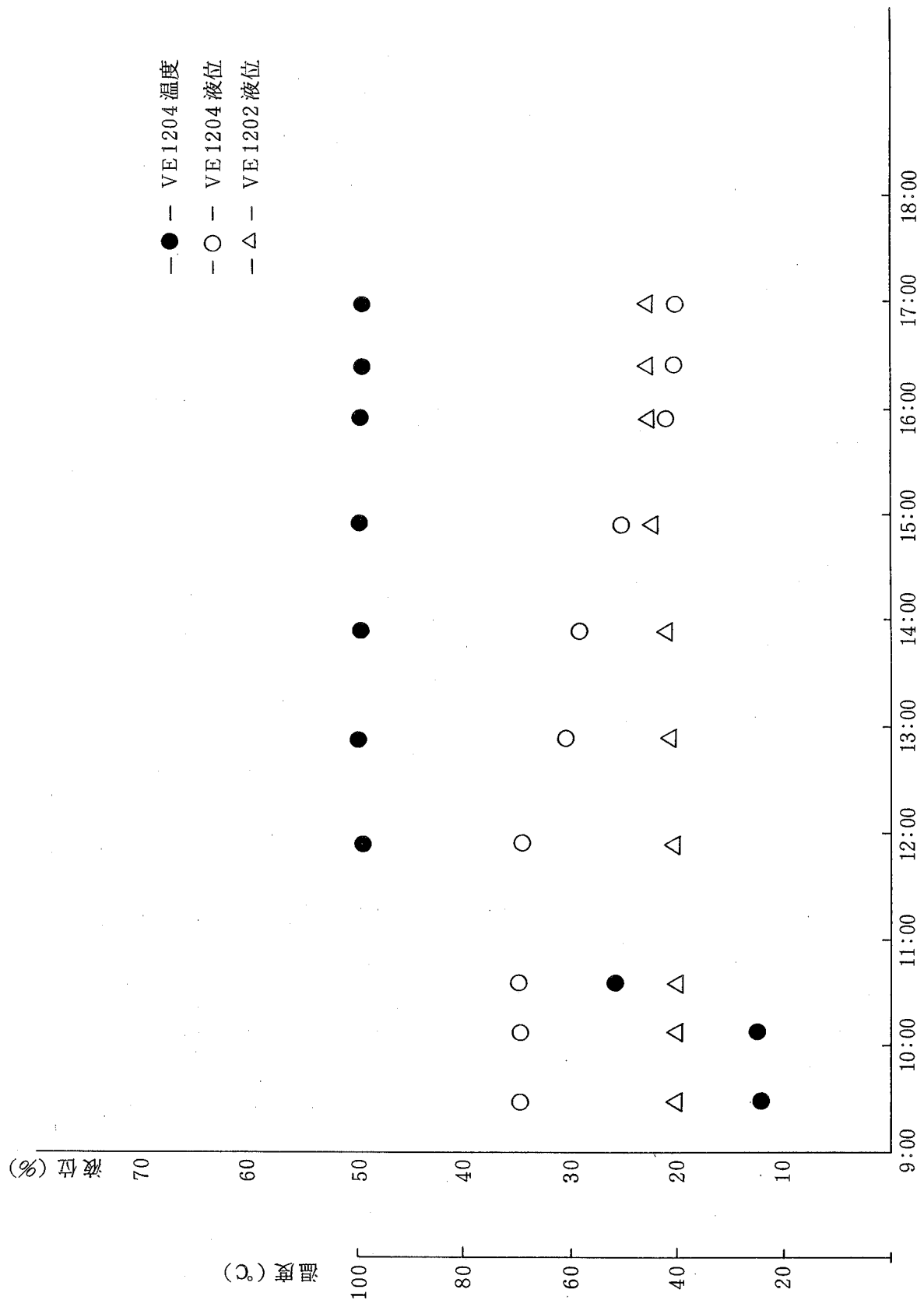
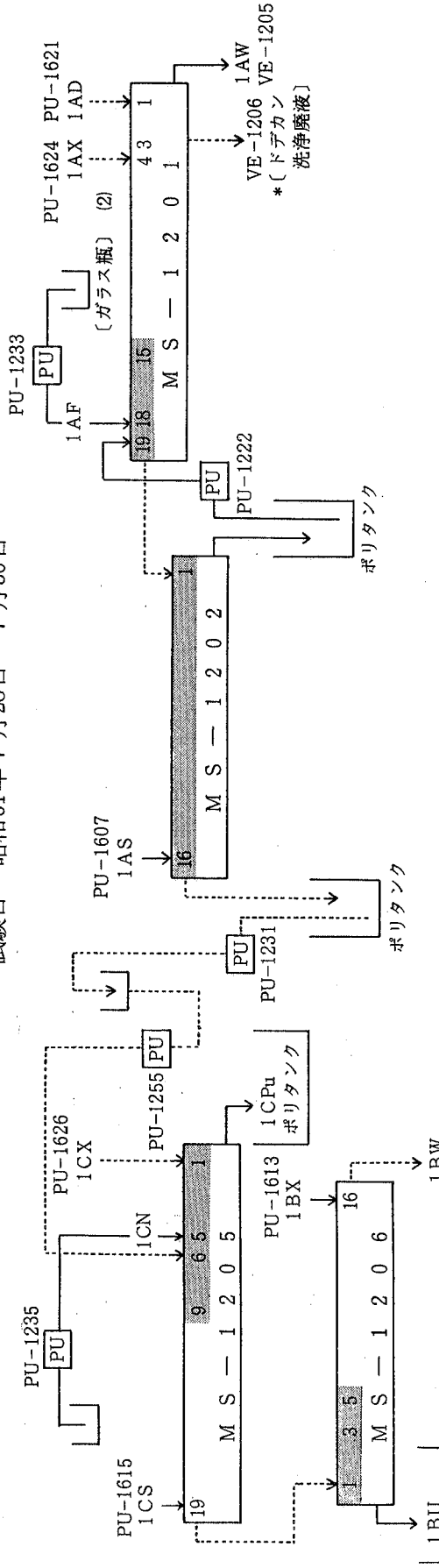


図 4.5.1 調整槽運転記録
Operating records at adjustment process

試験日 昭和61年7月28日～7月30日



供給液

ホットフィード 33.0 hr 追し出し運転 6.0 hr

| 記号 | 組成 | 流量 | ポンプ № | 供給段 | 排出液 | 発生液量 | 貯槽 № | ()内:押出し 備考 |
|-------|--|-----------|---------|-----|--------------|--|------------------|----------------|
| 1 AF | U : 88.15 g/l Pu : 7.29 g/l HNO ₃ : 3.0 M | 120 ml/hr | PU-1233 | 18 | 1 AW 抽残液 | U : <0.03 g/l Pu : <0.05 mg/l HNO ₃ : 2.8 M | 5.8 ℥ (1.1) | VE-1205 |
| 1 AX | 30% TBP-nDodecan | 155 ml/hr | PU-1624 | 4 | 1 CPu 抽出液 | U : <0.03 g/l Pu : <9.0 mg/l HNO ₃ : 1.75 M | 4.22 ℥ (0.8) | ボリタンク (5 ℥) |
| 1 AD | n-Dodecan | 30 ml/hr | PU-1621 | 1 | | | | |
| 1 AS | HNO ₃ : 3.0 M | 55 ml/hr | PU-1607 | 16 | 1 BU 抽出液 | U : 43.9 g/l Pu : <0.05 mg/l HNO ₃ : 0.06 M | 8.91 ℥ (1.62) | ボリタンク (5 ℥) |
| 1 CX | 30% TBP-nDodecan | 65 ml/hr | PU-1626 | 1 | 1 BW 廢溶媒 | U : <0.03 g/l Pu : <0.05 mg/l HNO ₃ : 0.001 M | 7.26 ℥ (1.32) | VE-1215 |
| 1 CN | HNO ₃ : 9.0 M | 18 ml/hr | PU-1235 | 5 | | | | |
| 1 CS | HNO ₃ : 0.15 M | 100 ml/hr | PU-1615 | 19 | | | | |
| 1 HAN | 0.167 mol/l | | | | | | | |
| 1 HDZ | 0.2 mol/l | | | | | | | |
| 1 BX | HNO ₃ : 0.05 M | 270 ml/hr | PU-1613 | 16 | | | | |

図 4.6.1 供除染・分配工程試験条件と結果
Test conditions and results of co-decontamination
and partition process

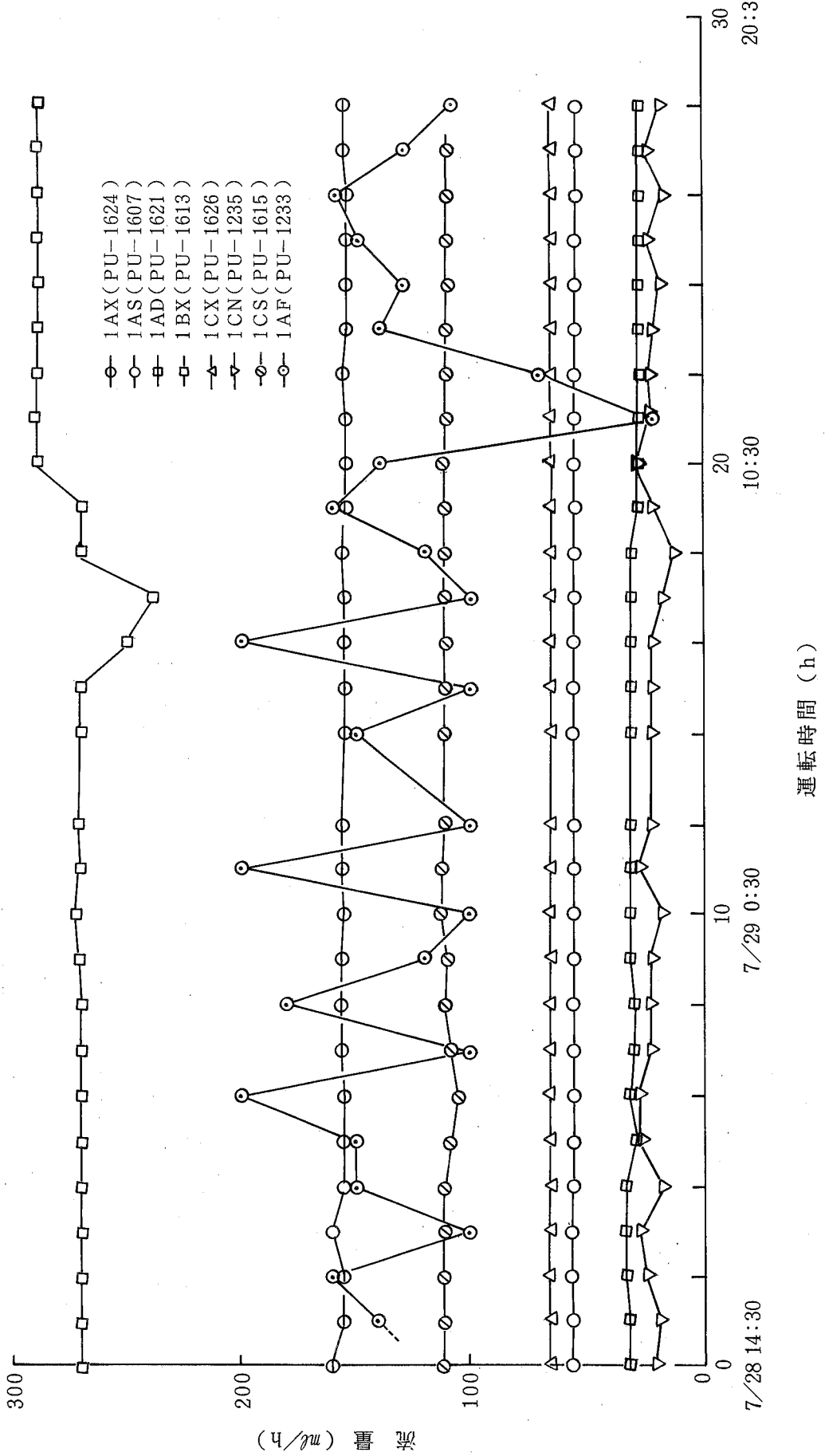


図 4.6.2 ミキサ・セトラ運転記録 (1)
Operating records of mixer-settler

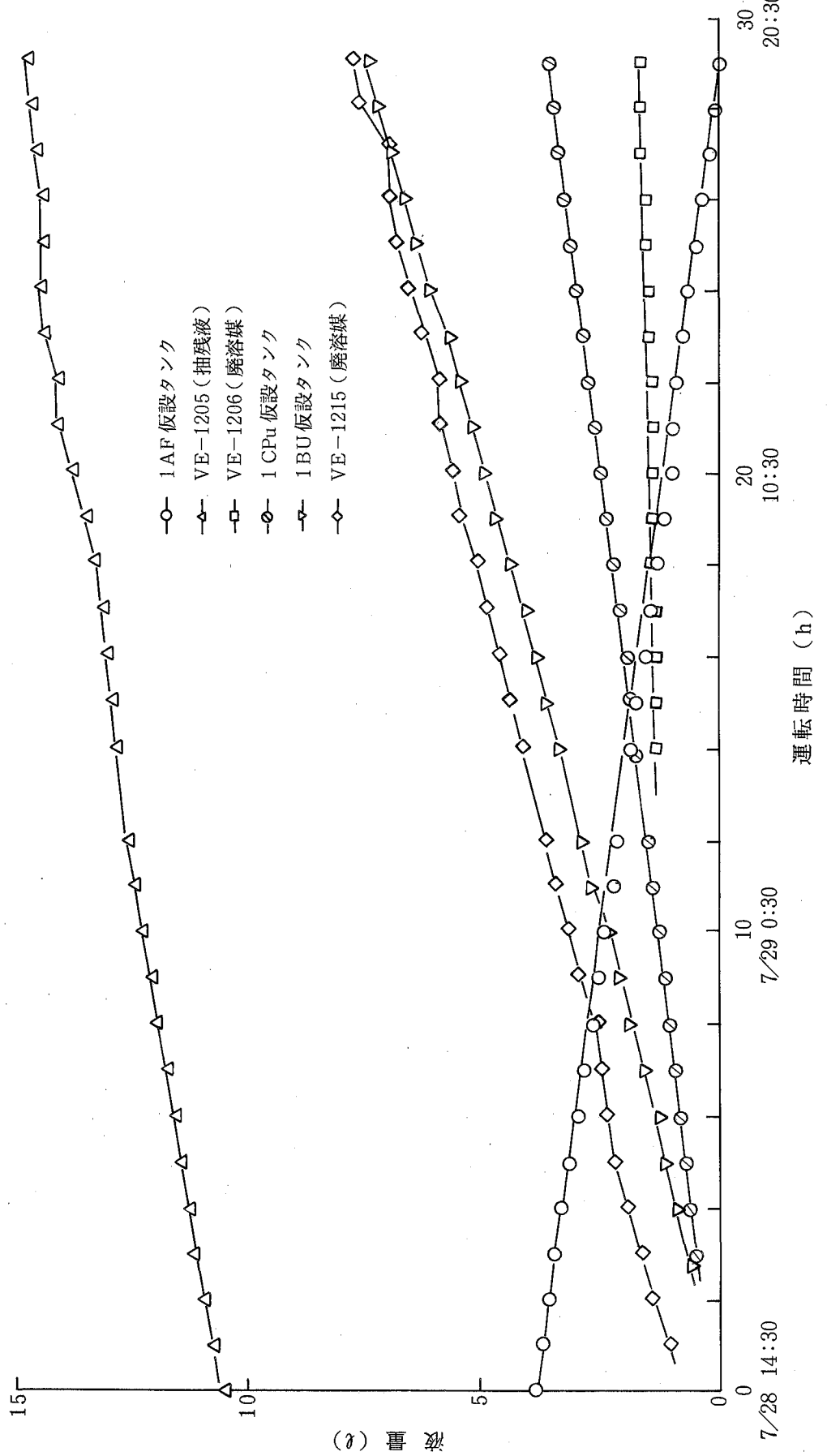
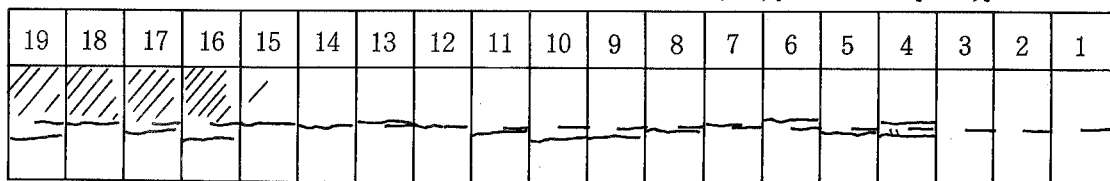


図 4.6.3 ミキサ・セトラ運転記録 (2)
Operating records of mixer-settler

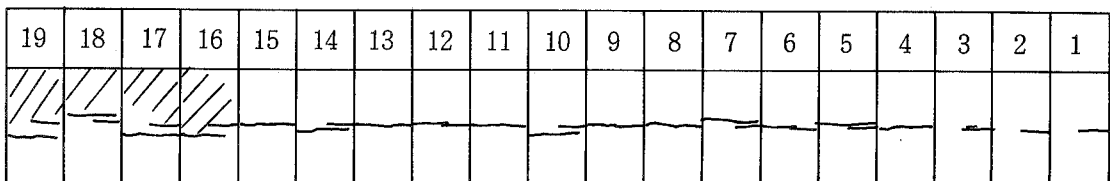
61年7月28日17時40分

備考



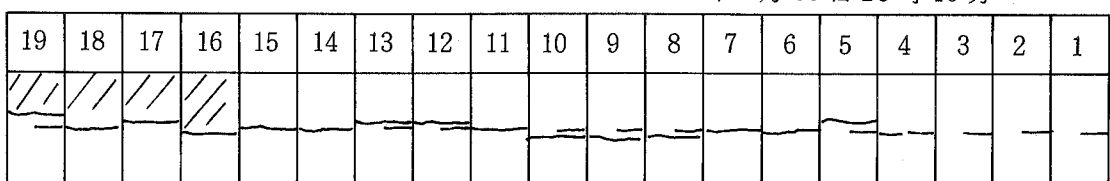
61年7月28日20時30分

備考



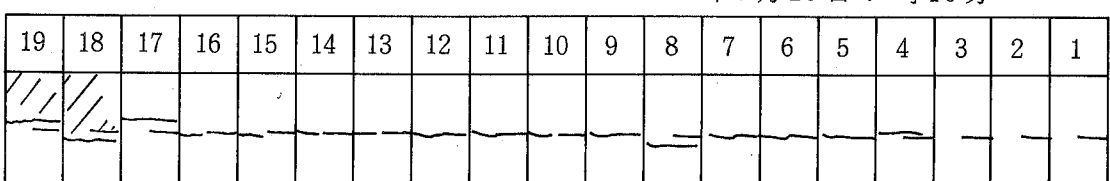
61年7月28日23時40分

備考



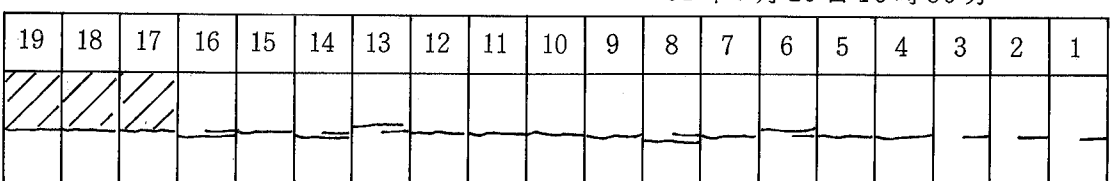
61年7月29日7時10分

備考



61年7月29日13時30分

備考



61年7月29日16時30分

備考

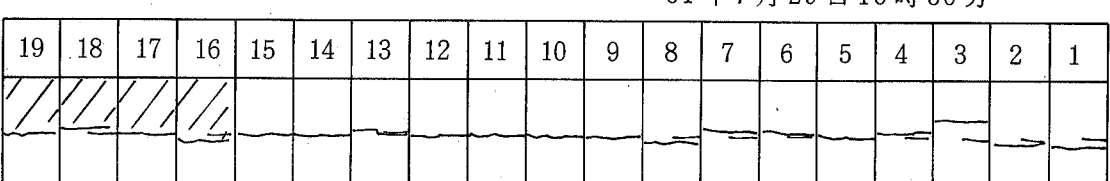


図 4.6.4 ミキサ・セトラ界面監視記録

Monitoring records of interfaces in mixer-settler

(1) MS - 1201

61年7月28日17時45分

備考

| | | | | | | | | | | | | | | | |
|----|----|----|----|----|----|----|---|---|---|---|---|---|---|---|---|
| 16 | 15 | 14 | 13 | 12 | 11 | 10 | 9 | 8 | 7 | 6 | 5 | 4 | 3 | 2 | 1 |
| / | / | / | / | / | / | / | / | / | / | / | / | / | / | / | / |
| - | - | - | - | - | - | - | - | - | - | - | - | - | - | - | - |
| | | | | | | | | | | | | | | | |

61年7月28日20時35分

備考

| | | | | | | | | | | | | | | | |
|----|----|----|----|----|----|----|---|---|---|---|---|---|---|---|---|
| 16 | 15 | 14 | 13 | 12 | 11 | 10 | 9 | 8 | 7 | 6 | 5 | 4 | 3 | 2 | 1 |
| / | / | / | / | / | / | / | / | / | / | / | / | / | / | / | / |
| - | - | - | - | - | - | - | - | - | - | - | - | - | - | - | - |
| | | | | | | | | | | | | | | | |

上りすぎ
上りすぎ

61年7月28日23時43分

備考

| | | | | | | | | | | | | | | | |
|----|----|----|----|----|----|----|---|---|---|---|---|---|---|---|---|
| 16 | 15 | 14 | 13 | 12 | 11 | 10 | 9 | 8 | 7 | 6 | 5 | 4 | 3 | 2 | 1 |
| / | / | / | / | / | / | / | / | / | / | / | / | / | / | / | / |
| - | - | - | - | - | - | - | - | - | - | - | - | - | - | - | - |
| | | | | | | | | | | | | | | | |

61年7月29日7時00分

備考

| | | | | | | | | | | | | | | | |
|----|----|----|----|----|----|----|---|---|---|---|---|---|---|---|---|
| 16 | 15 | 14 | 13 | 12 | 11 | 10 | 9 | 8 | 7 | 6 | 5 | 4 | 3 | 2 | 1 |
| / | / | / | / | / | / | / | / | / | / | / | / | / | / | / | / |
| - | - | - | - | - | - | - | - | - | - | - | - | - | - | - | - |
| | | | | | | | | | | | | | | | |

61年7月29日11時34分

備考

| | | | | | | | | | | | | | | | |
|----|----|----|----|----|----|----|---|---|---|---|---|---|---|---|---|
| 16 | 15 | 14 | 13 | 12 | 11 | 10 | 9 | 8 | 7 | 6 | 5 | 4 | 3 | 2 | 1 |
| / | / | / | / | / | / | / | / | / | / | / | / | / | / | / | / |
| - | - | - | - | - | - | - | - | - | - | - | - | - | - | - | - |
| | | | | | | | | | | | | | | | |

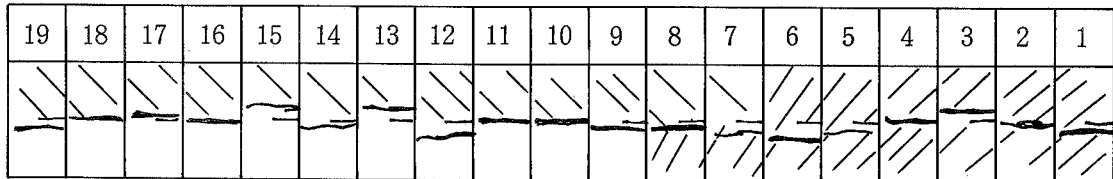
61年7月29日16時39分

備考

| | | | | | | | | | | | | | | | |
|----|----|----|----|----|----|----|---|---|---|---|---|---|---|---|---|
| 16 | 15 | 14 | 13 | 12 | 11 | 10 | 9 | 8 | 7 | 6 | 5 | 4 | 3 | 2 | 1 |
| / | / | / | / | / | / | / | / | / | / | / | / | / | / | / | / |
| - | - | - | - | - | - | - | - | - | - | - | - | - | - | - | - |
| | | | | | | | | | | | | | | | |

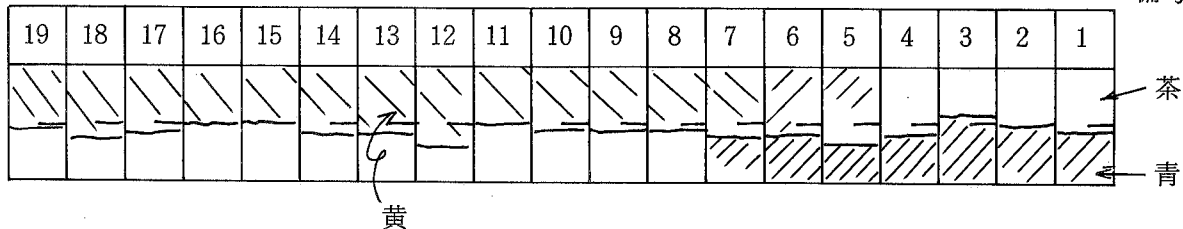
61年7月28日17時45分

備考



61年7月28日20時38分

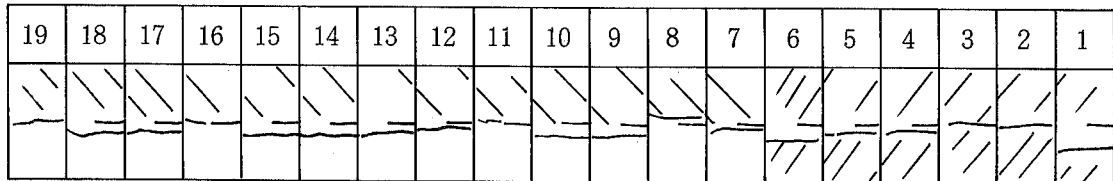
備考



黃

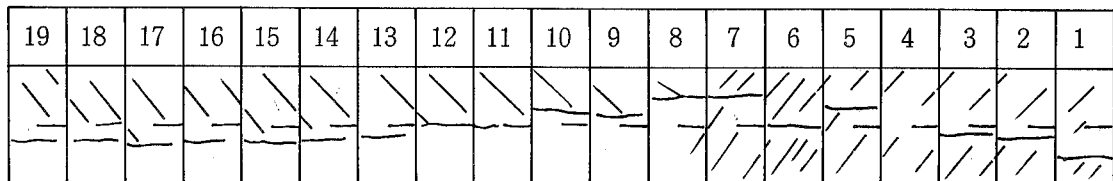
61年7月28日23時40分

備考



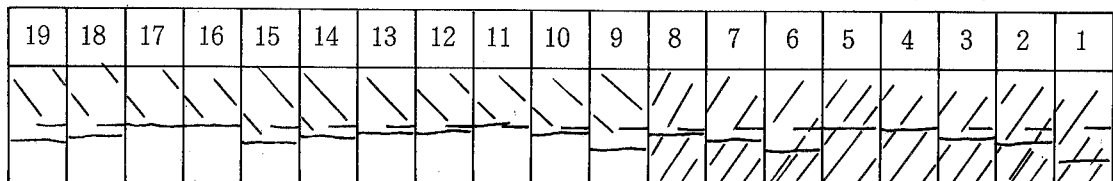
61年7月29日7時10分

備考



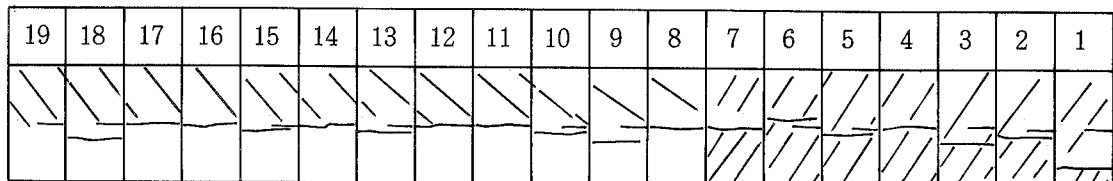
61年7月29日13時36分

備考



61年7月29日16時40分

備考



(3) MS-1205

61年7月28日17時55分

備考

| 1 | 2 | 3 | 4 | 5 | 6 | 7 | 8 | 9 | 10 | 11 | 12 | 13 | 14 | 15 | 16 |
|---|---|---|---|---|---|---|---|---|----|----|----|----|----|----|----|
| | | | | | | | | | | | | | | | |

61年7月28日20時47分

備考

| 1 | 2 | 3 | 4 | 5 | 6 | 7 | 8 | 9 | 10 | 11 | 12 | 13 | 14 | 15 | 16 |
|---|---|---|---|---|---|---|---|---|----|----|----|----|----|----|----|
| / | / | / | / | / | / | / | / | / | / | / | / | / | / | / | / |

↓
黄



61年7月28日23時45分

備考

| 1 | 2 | 3 | 4 | 5 | 6 | 7 | 8 | 9 | 10 | 11 | 12 | 13 | 14 | 15 | 16 |
|---|---|---|---|---|---|---|---|---|----|----|----|----|----|----|----|
| / | / | / | / | / | / | / | / | / | / | / | / | / | / | / | / |

61年7月29日7時00分

備考

| 1 | 2 | 3 | 4 | 5 | 6 | 7 | 8 | 9 | 10 | 11 | 12 | 13 | 14 | 15 | 16 |
|---|---|---|---|---|---|---|---|---|----|----|----|----|----|----|----|
| / | / | / | / | / | / | / | / | / | / | / | / | / | / | / | / |

61年7月29日13時39分

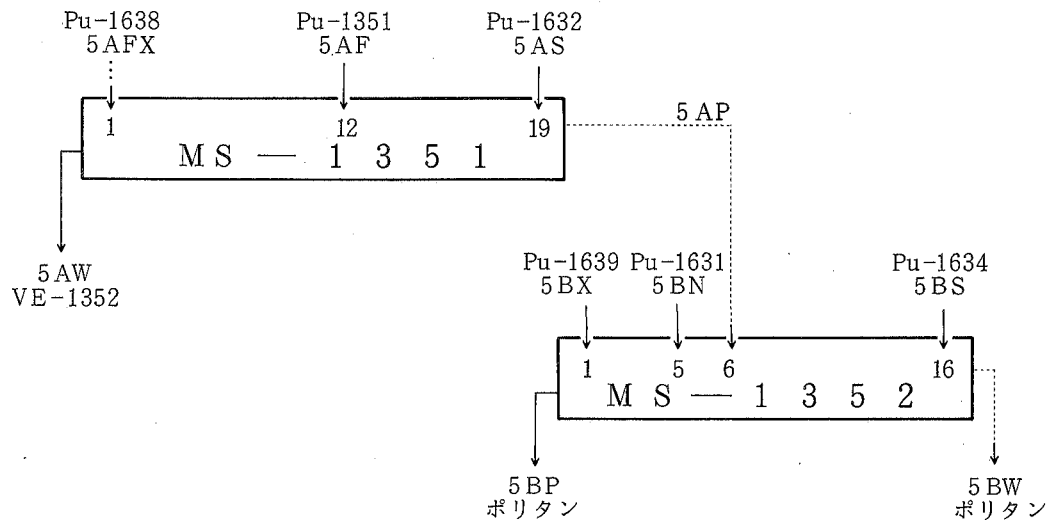
備考

| 1 | 2 | 3 | 4 | 5 | 6 | 7 | 8 | 9 | 10 | 11 | 12 | 13 | 14 | 15 | 16 |
|---|---|---|---|---|---|---|---|---|----|----|----|----|----|----|----|
| / | / | / | / | / | / | / | / | / | / | / | / | / | / | / | / |

61年7月29日16時41分

備考

| 1 | 2 | 3 | 4 | 5 | 6 | 7 | 8 | 9 | 10 | 11 | 12 | 13 | 14 | 15 | 16 |
|---|---|---|-----|---|---|---|---|---|----|----|----|----|----|----|----|
| / | / | / | 000 | / | / | / | / | / | / | / | / | / | / | / | / |



供給液

| 記号 | 組成 | 流量 | ポンプNo | 供給段 |
|-------|------------------------------------|-----------|---------|-----|
| 5 A F | U : 4.33 g/ℓ | 320 ml/hr | PU-1351 | 12 |
| | Pu : 4.69 g/ℓ | | | |
| | HNO ₃ : 3.1 M | | | |
| 5 A X | T - r : 2.0×10^{-1} mCi/ℓ | 110 ml/hr | PU-1638 | 1 |
| | 30% TBP-nDodecan | | | |
| 5 A S | HNO ₃ : 3 M | 30 ml/hr | PU-1632 | 19 |
| 5 B X | 30% TBP-nDodecan | 60 ml/hr | PU-1639 | 1 |
| 5 B N | HNO ₃ : 7 M | 18 ml/hr | PU-1631 | 5 |
| 5 B S | HAN : 0.13 M | 120 ml/hr | PU-1634 | 16 |
| | HDZ : 0.2 M | | | |
| | HNO ₃ : 0.15 M | | | |

排出液

| 記号 | 組成 | 液量 | 貯槽No | 備考 |
|--------------|------------------------------------|--------|---------|----|
| 5 A W 抽残液 | U : <0.03 g/ℓ | 8.23 ℓ | VE-1352 | |
| | Pu : 0.49 mg/ℓ | | | |
| | HNO ₃ : 2.77 M | | | |
| | T - r : 1.7×10^{-1} mCi/ℓ | | | |
| 5 B W 廃溶媒 | U : 7.21 g/ℓ | 2.98 ℓ | ポリタンク | |
| | Pu : 2.93 mg/ℓ | | | |
| | HNO ₃ : 0.02 M | | | |
| | T - r : < 1×10^{-3} mCi/ℓ | | | |
| 5 B P 抽出液 | U : <0.03 g/ℓ | 2.60 ℓ | ポリタンク | |
| | Pu : 7.68 g/ℓ | | | |
| | HNO ₃ : 1.41 M | | | |
| | T - r : < 1×10^{-3} mCi/ℓ | | | |

図 4.7.1 プルトニウム精製工程試験条件と結果

Test conditions and results of Pu purification process

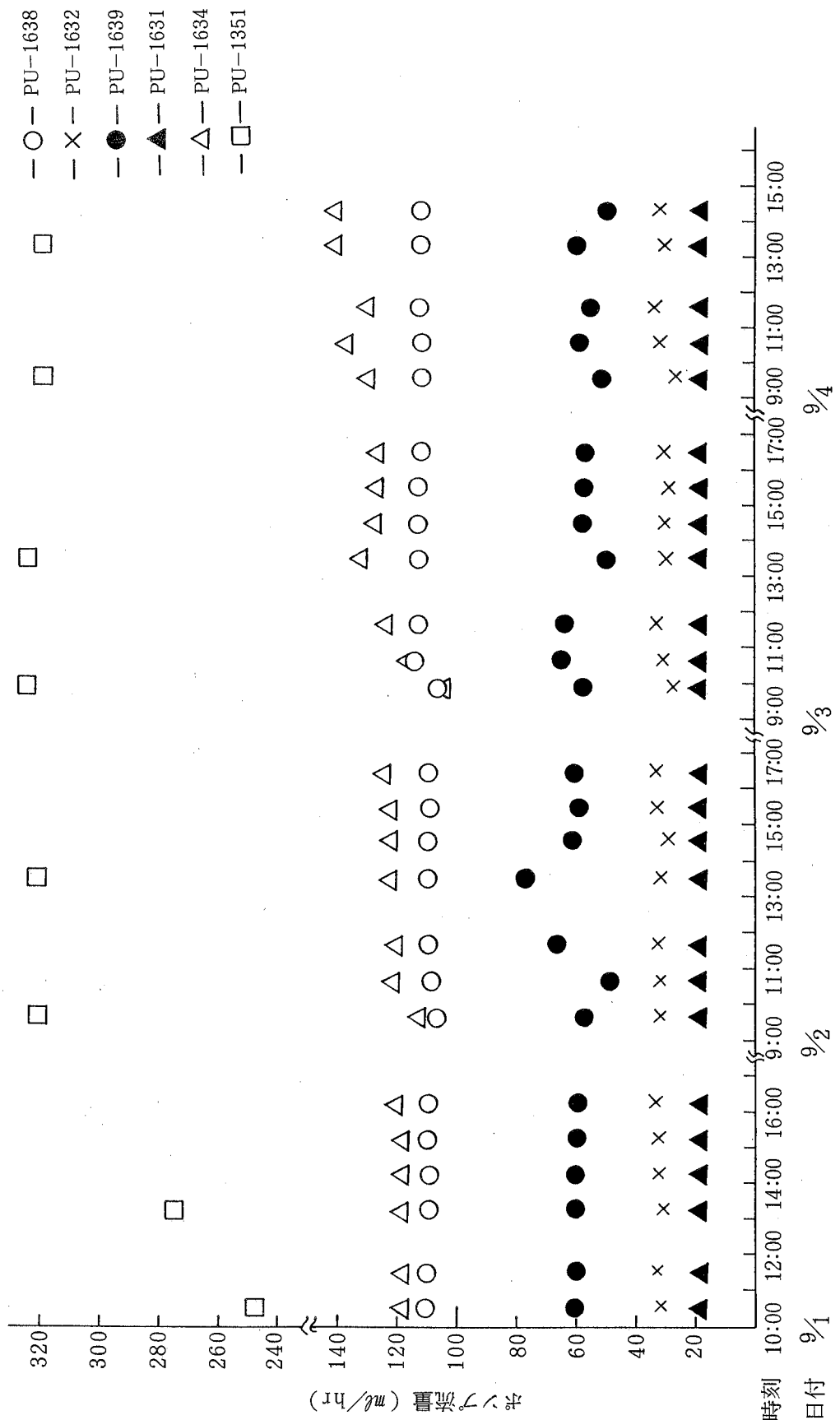


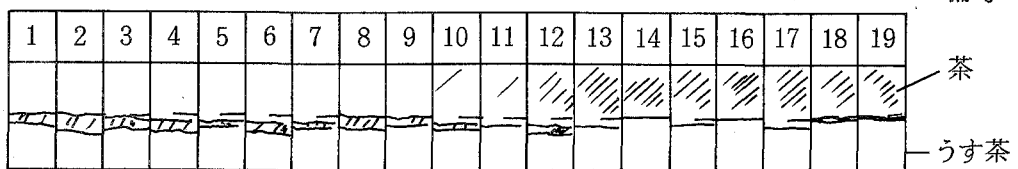
図 4.7.2 ミキサ・セトトラ運転記録
Operating records of mixer-settler

データ

(Pu 精製工程 MS-1351 の監視)

61年9月2日 14時30分

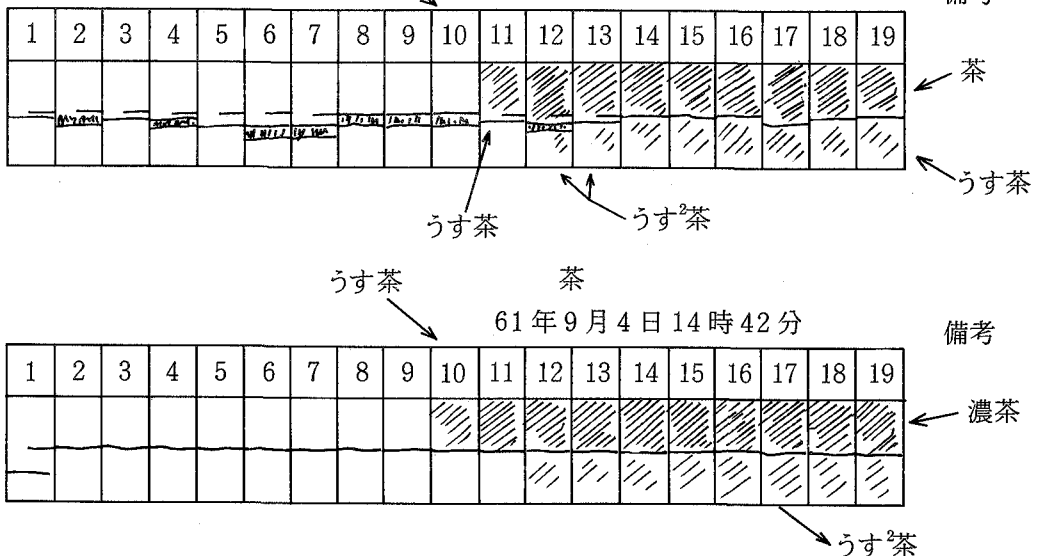
備考



うす²茶

61年9月3日 14時39分

備考

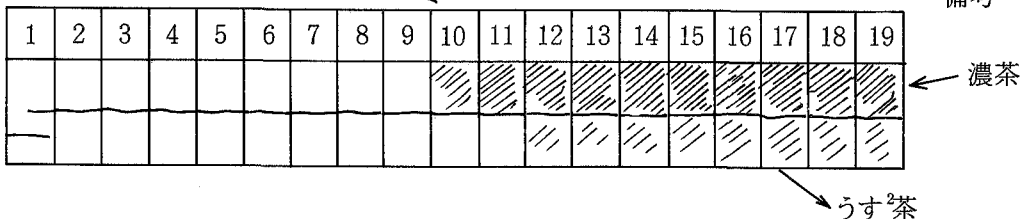


うす茶

茶

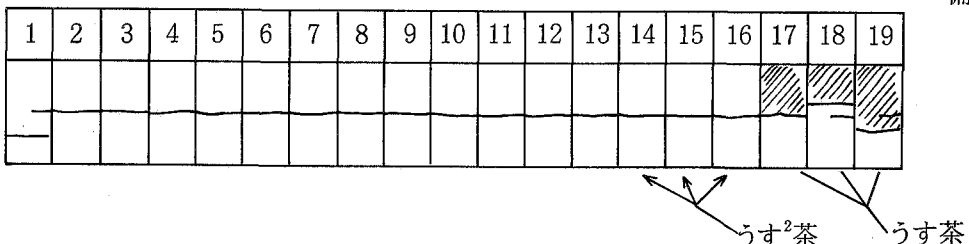
61年9月4日 14時42分

備考



61年9月5日 14時36分

備考



年 月 日 時 分

備考

| | | | | | | | | | | | | | | | | | | |
|---|---|---|---|---|---|---|---|---|----|----|----|----|----|----|----|----|----|----|
| 1 | 2 | 3 | 4 | 5 | 6 | 7 | 8 | 9 | 10 | 11 | 12 | 13 | 14 | 15 | 16 | 17 | 18 | 19 |
| - | - | - | - | - | - | - | - | - | - | - | - | - | - | - | - | - | - | - |

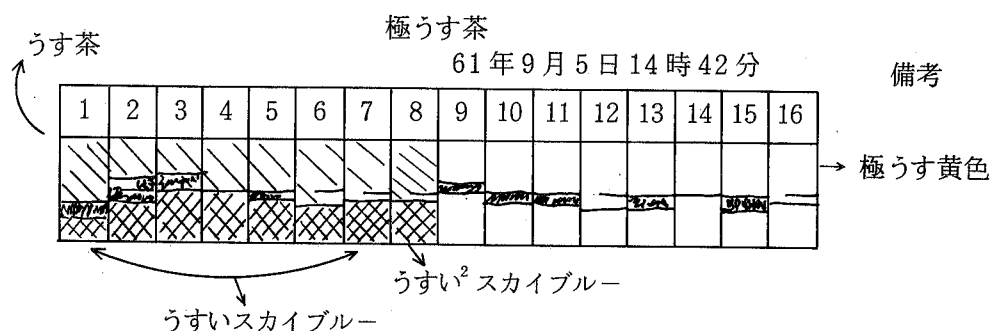
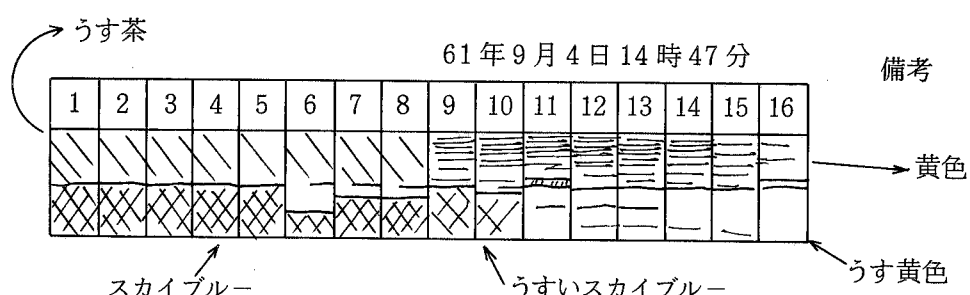
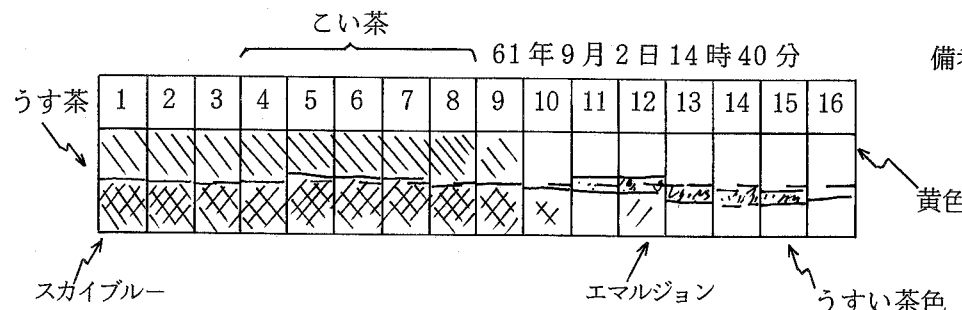
図 4.7.3 ミキサ・セトラ界面監視記録

Monitoring records of interfaces in mixer-settler

(1) MS-1351

データ

[Pu 精製工程 MS-1352 の監視]



(2) MS - 1352

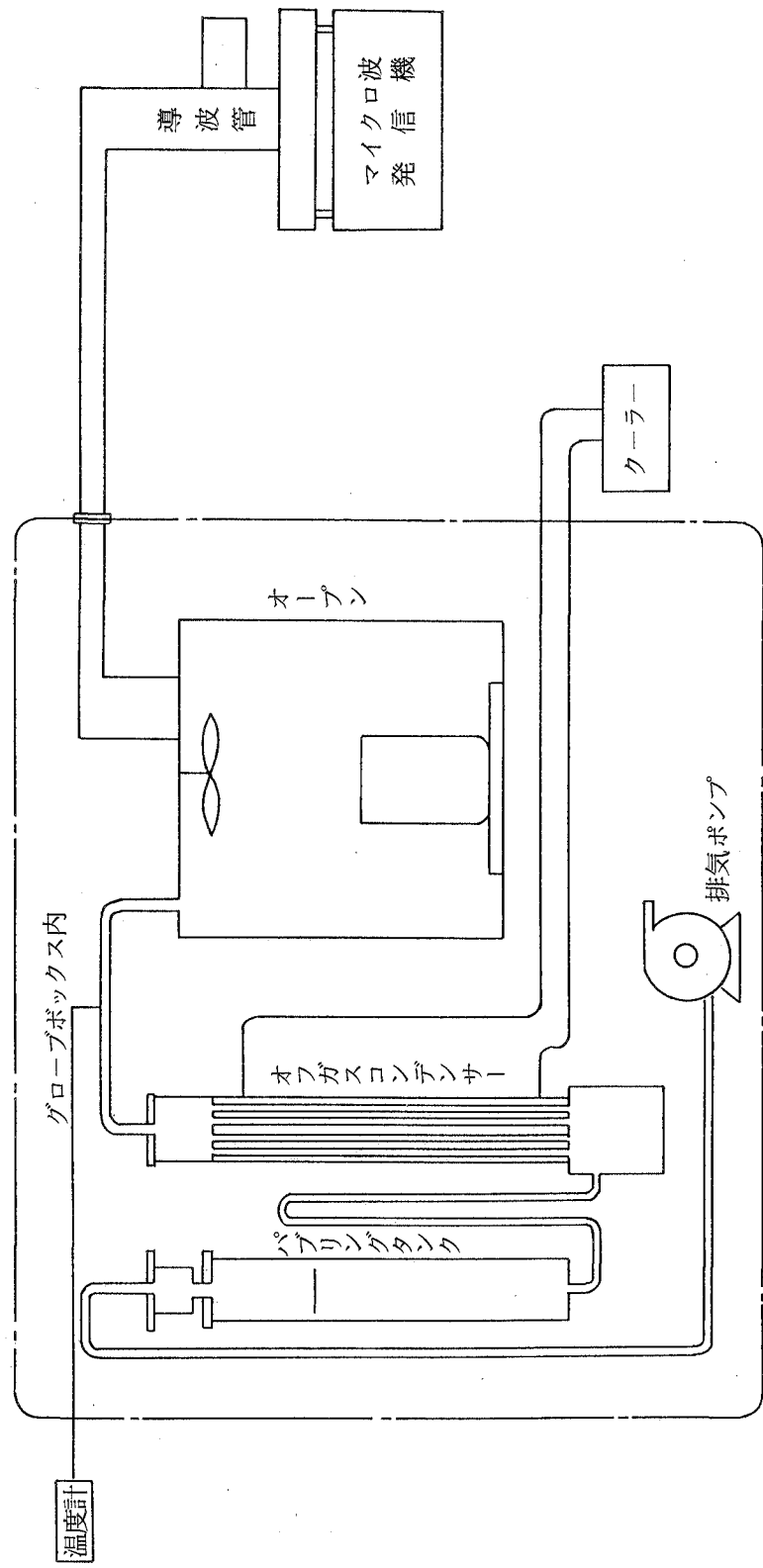


図 4.8.1 転換工程マイクロ波加熱システム
Microwave heating system for conversion

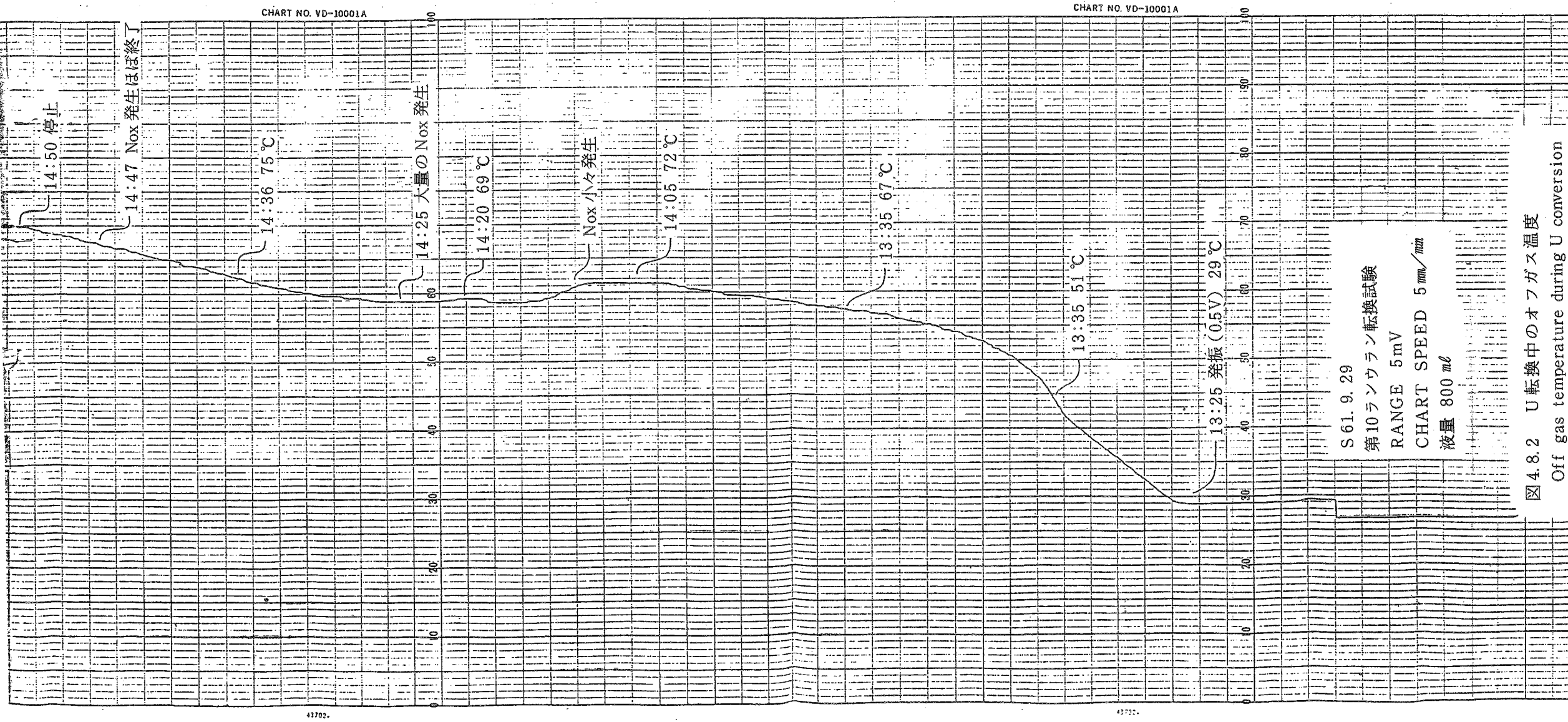


図 4.8.2 U 転換中のオフガス温度
Off gas temperature during U conversion

高速炉燃料リサイクル試験（15）
—第10回ホット試験—

補正表

| | |
|-------------|---|
| | 6 ページ |
| 補 正 前 | <p>前半略</p> <p>4. 6 共除染及び分配試験 本工程は第1サイクル分配として行った。2台のミキサ・セトラをつないで洗浄段数を多くとっている。</p> <p>4.6.1 方法 共除染、分配試験のフローを図4.6.1に示す。抽出段として15段、洗浄段として17段、Pu逆抽出段に14段、Pu洗浄段に5段、U逆抽出段に16段とした。共除染フィード液組成を表4.6.1に示す。運転時間は約29時間であった。</p> <p>4.6.2 結果 ポンプ流量記録を・・・・・・・・</p> <p>以降略</p> |
| 補 正 後 | <p>前半略</p> <p>4. 6 共除染及び分配試験 本工程は第1サイクル分配として行った。2台のミキサ・セトラをつないで洗浄段数を多くとっている。</p> <p>4.6.1 方法 共除染、分配試験のフローを図4.6.1に示す。抽出段として15段、洗浄段として17段、Pu逆抽出段に14段、Pu洗浄段に5段、U逆抽出段に16段とした。</p> <p>なお、今回の共除染フィード液は、核物質濃度を100g/l程度に高めるために第8ランで回収したウラン約250gを調整液に混合、添加したものを用いた。</p> <p>共除染フィード液組成を表4.6.1に示す。運転時間は約29時間であった。</p> <p>4.6.2 結果 ポンプ流量記録を・・・・・・・・</p> <p>以降略</p> |